

T. C. KÜLTÜR VE TURİZM BAKANLIĞI
ESKİ ESERLER VE MUZELER GENEL MÜDÜRLÜĞÜ

II.
**ARKEOMETRİ
SONUÇLARI TOPLANTISI**

ANKARA — 26-30 MAYIS 1986

Not: Bildiriler bildiri sahiplerinden geldiği şekliyle yayınlanmıştır.

İÇİNDEKİLER

Sayfa

1- Ay Melek ÖZER, Oktay ÇETİN	
Arkeolojik ve Jeolojik Çakmaktaşlarının Karşılaştırmalı Olarak Elektron Spin Rezonans (E.S.R) Yontemi ile İncelenmesi	1
2- Berna ALPAGUT	
(Malatya) Arslantepe Geç Roma Dönemi Yiiz İskeletlerinin Biyometrik Değerlendirilmesinin Arkeometrideki Yeri	7
3- Metin ÖZBEK	
Çayönü Yerleşmesindeki Kosik İnsan Başları	19
4- Peter Ian KONIHLOM, Cecil L. STRIKER	
Schematic Introduction To Problem-Focus and Research Strategy 1977 - 1986	41
5- Şahinde DEMİRÇİ	
Değirmenltepe ve Çayönü'nden Alınan Bazı Orneklerin Analizi	49
6- Olcay BİRGÜL	
İkirtepe Keramik ve Killerinin Eser Element Analizi	55
7- Şeref KUNÇ, Aytül EKER, Selim KAPUR, V. ÇAVUŞOĞLU	
Değirmenltepe Curuf Analizleri III	61
8- Ufuk ESİN	
Tepecik ve Tülintepe'ye (Altınova - Elazığ) Ait Bazı Metal ve Curuf Analizleri	69
9- Beril TUĞRUL, Filiz SUNGUR, Şeniz ATİK	
Istanbul Arkeoloji Muzelerindeki Bazı Opak Cam Eserlerin X - İşini Radyografi Tekniği ile İncelenmesi	81
10- Beril TUĞRUL, Filiz SUNGUR, Yıldız MERİÇBOYU, Fatma YILDIZ	
Istanbul Arkeoloji Muzelerindeki Bazı Metal ve Kil Eserlerin Radyografi Tekniği ile Değerlendirilmesi	91

11	Beril TUĞRUL, Filiz SUNGUR, Ayla GÖRKEM, Nazan ÖLÇER Cure-Mardin Ulu Cemi Kapışının Restorasyonunda Radyografi Tekniklerinin Kullanımı	105
12	Eşref DENİZ Kazılardan Eldc Edilen Yanmış Kemikler Üzerinde Arkeobilolojik İncelemeler	119
13	Halef ÇAMBEL Çayönü Kan Analizleri İle İlgili İlk Buluntular	129
14	Gerd ALBRECHT, Hubert BERKE, HansJürgen MÜLLER-BECK Karain 1985/1986 Naturwissenschaftliche und Technologische Untersuchungen	131

ARKEOLOJİK VE JEOLOJİK ÇAKMAKTAŞLARININ KARŞILAŞTIRMALI OLARAK ELEKTRON SPIN REZONANS (E. S. R.) YÖNTEMİ İLE İNCELENMESİ

Ay **Melek ÖZER***
Oktay **ÇETİN**

ÖZET

Değirmentepe-Malatya ve Tepecik-Elazığ kazılarında ele geçen 43 adet kalkolitik çakmataşları ile çoğunu ODTÜ yerleşkesinden toplanan çakmataşlarının oluşturduğu 51 adet jeolojik çakmataşları ESR yöntemi ile incelendi. Bu örnekler ESR spektrumlarına, renklerine, saydamlıklarına ve yiizey farklılaşmalarına göre gruplandırdı ve bir tablo hazırlandı. Bu tabloyu kullanarak ele geçen herhangi bir örnek hakkında yorum yapma yöntemleri araştırıldı ve iki senedir devam etmekte olan çalışmaya (Ozer, 1985) peni bir boyut getirildi.

GİRİŞ

ESR yönteminin arkeolojik maddelerde bulunabilen radyoaktif elementlerden uranyum, toryum ve potasyum'un bozunması ile ortaya çıkan doğal ışınların maddede oluşturduğu tuzaklanmış elektron ve hollerin incelenmesinde başarılı olduğu görülmüş ve ilk defa fkeya (İkeya, 1975) bu yöntemi sarkit ve dikitlerin yaş tayininde kullanmıştır. Robins ve Ark. (1978) ise ESR yöntemi çakmataşlarına ilk uygulayanlardır. Bu çalışmalar çakmataşlarında doğal radyasyonla oluşan ESR sinyallerinden E'-sinyali (Robins ve Ark., 1978) ile birlikte çakmataşlarının renkleri, saydamlıklar ve yüzey farklılaşmaları incelenerek bir gruplandırma olasılığı araştırıldı. Ornekler ESR spektrumları alınmadan önce temizlendi (Özer, 1985) ve ESR spektrumlarını almak için Varian Model E-12 tipi ESR spektrometresi, radyasyon işlemleri için dc 60 co (Kobalt 60) kaynağı kullanıldı.

(*) Doç. Dr. Ay **Melek ÖZER**, Orta Doğu Teknik Üniversitesi Fen - Edebiyat Fakültesi Öğretim Üyesi ODTÜ/ANKARA
Oktay **ÇETİN**, Orta Doğu Teknik Üniversitesi Fen - Edebiyat Fakültesi Öğretim görevlisi ODTÜ/ANKARA

SONUÇLAR VE TARTIŞMA

Temizlenen orneklerin ESR spektrumları alınıp spektrumlarda görülen piklerin g (spektroskopik yanılma faktorii) değerlerine göre gruplandırıma yapıldığında beş grup ortaya çıktı ve her grubun temsilcisi olan ESR spektrumları Resim I'de gösterildi. Her grubda düşen örnek sayısı bir liste halinde kaydedildiği gibi (Tablo I) aynca her bir grubun temizlenmeden önceki renklerini, saydamlıklarını ve dış görünüşleri ile spektrumları arasında bir bağlantı olduğu görüldüğü için gruplandırıma buna göre yapıldı, bu gruptara uyum göstermeyen örnek sayısının oldukça az olduğu ve uyumsuzluğun, birbirlerine yakın spektrum veren gruptarda ortaya çıktıği kaydedilmekle beraber bunlar şimdilik geçiş grubu olarak kabul edildiler. Bu duruma göre herhangi bir örneğin temizlenmeden önceki rengine, saydamlığına ve dış görünüşüne bakarak vereceği spektrumu Tablo II'den tahmin etmek mümkün olacaktır. Bu tahminin özellikle dördüncü grup örneklerinde % 95 veya üzeri olduğu saptandı.

Beş ayrı gruptan alınan birer temsilci oينek 100-600°C arası ısıtıldı, ESR spektrumlarında görülen piklerin sıcaklıkla değişim grafikleri çizildiğinde, genellikle pik şiddetlerinin 350°C de maksimum oldukları gözleendi. 500°C ve üzerinde ise tüm piklerin yok olduğu gözleendi. Karbon radikalının pikinin olduğu goruldii. Karbon radikalının g değeri 2,0035 ve ΔH_{pp} (Gauss cinsinden tepeden tepeye genişlik) değeri 3,5G. olarak bilinmektedir. Buna göre incelenen herhangi bir örneğin temizlendikten sonra spektrumuna bakarak hatta spektrum almadan bile sadece örneğin renk, saydamlık ve dış görünüşüne bakılarak ısnip ısmadığı eğer ısmındı ise kaç derecede ısmadığı hakkında bir yorum yapılabilecektir.

Sıcaklık çalışması tamamlanan örnekler gama radyasyonuna tutuldu ve piklerin radyasyonla değişimi incelendi. Örneklerde belirli dozlarla radyasyon verildiğinde sadece E'-pikinin radyasyonla düzenli bir şekilde arttığı buna karşın diğer piklerde bir değişiklik olmadığı gözleendi. Buradan da sadece E'-pikinin Grup-1 ve (1-5) geçiş grubundaki arkeolojik örneklerin yaş tayininde en iyi bir şekilde kullanılabileceği sonucu ortaya çıkmaktadır.

Isıtma işlemleri 500°C de ısıtılan örneklerin ESR spektrumlarında genellikle sadece Karbon radikalı sinyalini verdiklerini gösterdi. 500°C

de ısıtılan bu örnekler belirli dozlarda radyasyona tutulduğunda ısıtılmadan önceki spektrumlarından çok farklı ESR spektrumları verirken, hepsinde E'-pikinin tekrar olduğu gözlandı. Spektrumdaki E'-piki düşük radyasyon dozlannda artarken (10-35 Krad), diğer piklerin bazılarının çok uzun süreli radyasyon sonucunda tekrar ortaya çıktıları görüldü. Isıtılan örneklerde radyasyonla oluşturulan spektrum bilindiğine göre incelenen temizlenmiş orneğin ısıtılmış olup olmadığı anlaşılabileceği gibi, eğer ısıtılmışsa, ısıtıldıktan sonra ne kadarlık bir geçmişe sahip olduğu E'-pikine ve R_{CH} piklerine bakarak kolayhyla söylenebilecektir. Bu düşüncenin kanıtlanabilmesi için Grup-1 örneklerinden 3 tanesinin ESR spektrumunda görülen E'-pikine bakılarak yaş tesbiti yapıldı ve hata oranının % 20'yi geçmediği görüldü.

GENEL SONUÇ

Elimize geçen herhangi bir örneğin, rengine, saydamlığına ve dış görünüşüne bakarak örneğin ısınıp ısınmadığını bilmek olasılığı % 75 iken spektrum alındığında bu olasılık % 95 üzerine çıkmaktadır. % 75 lik tahminlerin örnek toplama işlemesinde çok yararlı olacağına inanılmaktadır. Çünkü, kazı bölgesinde toplanacak örneklerin yanmış plup olmadığı ve işe yarayıp yaramiyacağı konusunda bize yardımcı olacaktır.

TABLO : I — ÖRNEK SAYILARIN GRUPLARA DAĞILIMI

Grup - 1	Grup - 2	Grup - 3	Grup - 4	Grup - 5
15	26	2	10	12
(1-4) geçiş grubu	(2-4) geçiş grubu	Yanmış numune sayısı (Karbon Kadikali veren)		
19	3	7		

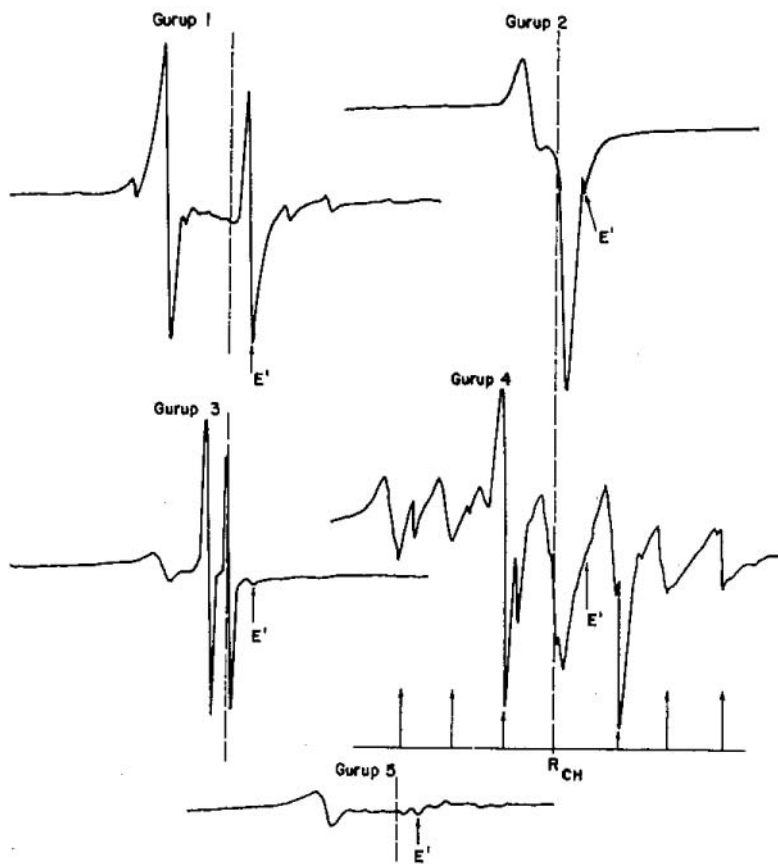
NOT : 1 — Grup - 1, Grup - 2, Grup (1-5) ve Grup (2-4) de eşit sayıda arkeolojik ve jeolojik örnekler var.

2 — Grup - 3 Brnekleri jeolojik örneklerdir.

3 — Grup - 4 örnekleri arkeolojik örneklerdir.

**TABLO : II — ÖRNEK GRUPLARIN RENK, SAYDAMLIK VE
DİŞ GÖRÜNÜŞ TABLOSU**

Grup	R e n k	Saydamlık	Dış Görünüş
Grup1	Kirli sanya dönük kahve rengi	Yok. Taş tiiriine yakın	Pütürsüz
Grup-2	Az saydam açık kahve rengi	Yok. Az camsı	Putiirsiiz
	Kiremit rengi	Yok. Az camsı	Az Pütürlü
	Kahve-Yeşil karışımı (Kahve ağırlıklı)	Çok az. Az camsı	Pütürsüz
	Mor	Yok. Camsı özellik var	Az Piitiirlu
	Pembe	Yok. Taş Tiiriine yakın	Pütürsüz
	Az saydam siit renginde mavi benekli	Çok az. Az camsı	Az Puturlu
	Az saydam, hafif griye dönük siit rengi	Yok. Az camsı	Putursiiz
	Mat beyaz, taşlısı	Yok. Taş tiiriinde	Az Putiirlu
	Mat gri, taşlısı	Yok. Taş tiiriinde	Çok Puturlii
Grup-3	Açık gri ve gri-siyah arası taşlısı örnekler	Yok. Taş tiiriinde	Pütürsüz
Grup-4	Homojen, koyu kahve	Az. Az camsı	Pütürsüz
Grup-5	Kirli Sarı	Yok. Tas türüne yakın	Pütürsüz
	Beyaza kaçan { Kirmizi içeren	Az. Az camsı	Putiirsiiz
	süt rengi Gri içeren	Az. Camsı ozellik var	Az Piitiirlii
		Az. Camsı ozellik var	Çok Puturlu
		San-kahve içeren	
Grup-(1-5)	Az saydam açık kahve rengi	Yok. Az camsı	Az Pütürlü
	Sanya dönük kahve rengi	Yok. Taş tiiriine yakın	Az Pütürlü
	Az saydam sut rengi, griye ve sanya dönük	Az. Camsı ozellik var	Pütürsüz
Yanmış	Mat ve koyu kahve	Yok. Taş türüne yakın .	Az Piitiirlii
Örnekler	Griye dönüşümekte olan kahve	Az. Az camsı	Az Piitiirlii
	Koyu gri-Mat	Yok. Taş tiiriinde	Çok Piitiirlii
	Koyu bordo, bordo-gri ve bordo-siyah arası	Yok. Taş türünde	Çok Pütürlü



Resim 1 — Beş ayrı gruba ait ESR spektromları

(MALATYA) ARSLANTEPE GEÇ ROMA DÖNEMİ YÜZ İSKELETLERİNİN BİYOMETRİK DEĞERLENDİRİLMESİİNİN ARKEOMETRİ'DEKİ YERİ

Berna ALPAGUT*

GİRİŞ

Bu bildirinin esas amacı; arkeometri eskiyi ölçmek olarak alındığında; biyometri metodunun, arkeometri içersindeki önemini vurgulamaktadır.

Buna araç olarak Arslantepe iskelet popülasyonundan birkaç örnek verilecektir.

Bilindiği gibi eski toplumların birbirine biyolojik uzaklıklarını ya da akrabalık derecelerini araştıran, toplumların genetik yapısını ortaya çıkarmaya çalışan paleo-genetik (ya da paleo-popülasyon genetiği) disiplininde, kullanılan yöntemlerden birisi de biyometrik metottur.

İskelet popülasyonlarının fenotip yapılan (morphologilerini), biyometrik ölçütlerle ortaya konabilmektedir. Bu arada; ölçülemeyen bazı karakterlerinde (epi-genetik), genetik benzerliklerin tanımlanmasında kullanıldığını biliyoruz.

Genler, morfolojinin ya da fenotipin oluşumundan sorumlu birimler olduğuna göre: biyometrik ölçüm metoduyla elde edeceğimiz morfolojik özelliklerin toplumlar arawndaki benzerliklerini ya da farklılıklarını ortaya koyabiliriz.

Dolayısıyle evrimsel çerçeveyi kurarken de kronolojik sıralamada sağlam dayanaklılara sahip olmaktayız.

Burada kısaca konu edilecek olan: Arslantepe insanların sadece -seçilmiş birkaç ölçüm karakteriyle- kafa ve yüz iskelet morfolojisinin eski Anadolu toplumlari arasındaki yeridir.

-
- (*) Doç. Dr. Berna ALPAGUT, A Ü Dil ve Tarih Coğrafya Fakültesi Paleoantropoloji Anabilim Dalı, ANKARA
 - (1) Arslantepe iskelet popülasyonu üzerinde bana çalışma fırsatı veren merhum Prof. Dr. S. M. Puglisi ve Dr. A Palmieri'ye sonsuz teşekkürlerimi sunarım.
 - (2) Yayınlar için bkz. Palmieri, A 1969. 1973. 1974; Puglisi, M. S. 1961, 1964 a - 1964 b; Publisi, M.S.- Palmieri, A. 1966

MATERYAL ve METOD

Arslantepe iskelet popülasyonunun tüm biyometrik, demografik, morfolojik ve patolojik etidleri tamamlanmış ve yayına hazırlanmıştır. Bu araştırmaya yönelik olarak ölçülebilir durumda olan 15 erkek ve 16 dişi ergin iskeletin kafatasında Martin - Saller (1957-59) tekniği ile 29 ölçü alınmış ve bunlardan 20 endis hesaplanmıştır. Hesap işlemleri sonucu, seriler halinde düzenlenen ölçüm ve endisler bilgi-iglernde istatistiksel olarak değerlendirilmiştir. Şöyledi:

Sonuçlar arasındaki ili-kileri saptayabilmek için; aritmetik ortalama, standart sapma, varyasyon katsayısı, ortalamanın standart hataları, ortalamanın (t) önem kontrölli yapılmıştır³ (Tablo : II - IV - VI).

CRANIAL ENDİS

Arslantepe Geç Roma iskeletlerinde Cranial endis dağılımı (kafa formu dağılımı); 16 dişi ferdde 1 ultrabrachycrane, 8 hyperbrachyrane, 4 brachycrane ve 3 mesocrane'dir. Erkeklerde ultrabrachycrane yoktur; 4 hyperbrachycrane, 10 brachycrane ve 1 mesocrane bulunmuştur.

Toplam 31 kişilik seride ise 1 ultrabrachycrane, 12 hyperbrachycrane, 14 brachycrane ve 4 mesocrane kafa tipi saptanmıştır (Tablo : 1-2).

Goruldugu gibi hiç Dolikosefal (uzun) tipe rastlanmamıştır. Arslantepe Geç Roma devri insanları tamamen Brakisefal'leşmiş (yuvarlak kafatası şekli) bir toplumdur.

Eski Anadolu popülasyonlarında cranial endis'in sentezlenmiş dağılım tablosuna⁴ baktığımızda; ilk yuvarlak kafali insanların zamanımızdan 15.000 yıl eski Mezolitik dönemde goriilmeye başladığını⁵; Neolitik (Çatalhöyük) toplumunda ise yuvarlak kafa tipinin % 24'e ulaştığını⁶ ve Anadolu'da bunu takibeden Kalkolitik, Bronz Çağları, Klasik Devirler, Selçuk ve Osmanlı devirlerinde brakisefalizasyon olgusunun giderek yaygınlaştığını, iskelet aragtırmalanndan izlemekteyiz.

Arkeolojik istasyonların sayica artması, eski toplumların kafatası yapıları hakkında çok değerli bilgilere ulaşımı sağlayacaktır. Bu bilgiler ışığında, gen-çevre faktörleri ili-kileri aydınlatacak ve çoklu-kalitim modelinin evrimdeki rolü anlaşılmacaktır.

(3) Alpagut, B. 1981.

(4) Alpagut, B. 1979.

(5) Bostancı, E. 1973.

(6) Ferembach, D. 1970 - 72.

TRANSVERS - FRONTO - PARIETAL ENDİS

Bu endis dağılımına göre tablodan da anlaşılacağı gibi (Tablo : 3-4) 16 divide 4 adet stenometop (dar alın), 6 metriometop (orta) ve 6 eurymetop (geniş alın); 15 erkekte ise 5 stenometop, 3 metriometop, 7 eurymetop dağılımı görülmektedir.

Erkeklerin ortalamasına göre endis sınıflaması metriometop, diş-
ler eurymetop ve dişi + erkek serinin ortalaması metriometop'dur. Diş-
lerde geniş alın kemiğine karşı erkeklerde ve toplam seride orta dere-
cede sınıflanabilen bir frontal kemik yapısı görülmektedir.

Anadolu'nun historik çağlarına ait endis değerlerinden anlaşılacağı gibi, Geç Hitit (Karahüyük) no. 2 dişi⁷; Sardis Roma devrine ait bir dişi⁸ ve Bizans (Tefenni)⁹ devrine ait bir erkeğin stenometop olan endisi dışında tüm Anadolu kafatasları metriometop ve eurymetop kategorije girmektedir. Bu da doğrudan kafa formuna bağlı bir sonuqtur.

YUZ ENDİSİ

Arslantepe Geç Roma insanlarında yiiz endisi sınıflamasına göre; 10 dişide çok geniş yiiz (2 kişide), geniş yüz (1 kişide), orta yiiz (5 kişide) ve uzun yüz (2 kişide) mevcuttur. 10 erkekte ise; 2 geniş yiiz, 4 orta yiiz, 2 uzun yüz ve 2 çok uzun yiiz tipi bulunmuştur (Tablo : 5-6).

Arslantepe Geç Roma iskeletlerinde hesaplanan yiiz endisi değeri ise; 10 erkekte ortalama 89.25, 10 dişide ortalama 87.04 ve 20 kişilik dişi + erkek seride ortalama 88.14'dür (Tablo : II-IV-VI).

Anadolu'nun eski toplumlarında yüz endisinin dağılımı literatürde oldukça azdır. Çünkü, bu endis iğin gereken total yüz yüksekliğinin alınabilmesi ancak altgenesi de mevcut olan kafataslarında mümkün değildir. Bu nedenle araştırmalarda hesaplanan yiiz endisi sayısı oldukça sınırlıdır. Neolitik¹⁰ ve Kalkolitik¹¹ örneklerde, bir orta hariç, uzun yiiz tipi saptanmıştır.

UST YÜZ ENDİSİ

Bu endisin sınıflamasına göre Arslantepe insanları çoğunlukla Mese (orta yüzlü) tiplerdir (Tablo : 7-8).

(7) Şenyürek, M. S. 1949.

(8) Bostancı, E. 1969.

(9) Çiner, R. - Kansu, Ş. A. 1968.

(10) Şenyürek, M. S. 1958.

(11) Şenyürek, M. S. - Tunakan, S. 1951.

Dişiler ve erkekler arasında (Arslantepe Geç Roma) Hypereuryene (çok geniş yuzlu) ve Hyperleptene (çok uzun yüzlü) tiplere hiç rastlamamıştır. Euryene ve Leptene tiplerin sayısı birbirine yakındır (Tablo : 7-8).

Anadolu toplumlarına bakıldığından; Neolitik'ten Roma Çağına kadar lepten (uzun) ve mesen (orta) yüz tipinin hakim olduğunu, Bizans (Sardis) döneminde geniş yiiz tipinin goriilmeye başladığını görmekteyiz.

Osmanlı dönemine ait çeşitli yörelerden toplanmış iskeletlerde 100 dişi ve 100 erkek serilerde görülen dağılımda orta ve uzun yüz tipleri % olarak geniş yuzlerden daha fazladır¹².

Arslantepe insanları bu sonuçlara göre; Anadolu'nun eski toplumları arasında yaygın olan orta yiizlu (mesene) tiplere girmektedir.

NASAL ENDİS

Anadolu'da Neolitik'ten Selçuk Devrine kadar oluşturulan seride dar, orta ve geniş burun tiplerinin tüm devirlerde dağıtık sayı verdiğini görmekteyiz.

Arslantepe insanlarında da sayisal olarak tipler birbirine yakındır. Çok geniş tipe yalnız 1 erkekte rastlanmıştır (Tablo : 9-10).

Yakın dönem Osmanlı iskeletlerinde ise dar burunlu tiplerin %'si yiíksektir. % 58 erkek - % 59 dişi¹³.

ORBİTAL ENDİS

Arslantepe Geç Roma toplumunda Orbital endisin sayisal dağılımına göre; 16 dışında (9) Chamaeconch, (4) Mesoconch, (3) Hypsiconch kategori saptanmıştır (Tablo : 11).

15 Erkek kafatasında (9) Chamaeconch, (6) Mesoconch, tip tespit edilmig olup, erkeklerde hiç hypsiconch tip yoktur (Tablo : 12).

Anadolu'nun eski insanlarında Orbital endis değerleri ve sınıflamaları şöyle sıralanabilir : Neolitik'ten buyana 42 endis hesaplanmış olup, (13) Hypsiconch, (13) Mesoconch, (12) Chamaeconch tespit edilmiştir.

Arslantepe insanlarından 31 kişide (3) Hypsiconch, (10) Mesoconch, (18) Chamaeconch kategori saptanmış olup bu toplumda basık ve orta göz çukuru tipi yaygındır.

(12) Korkmaz, T. 1973.

(13) Korkmaz, T. 1973.

SONUÇ

Varılan biyometrik sonuçlara göre; Arslantepe Geç Roma Devri insanları, Brakisefal kafa tipinde olup, hiçbir Dolikosefal örneğe rastlanmamıştır. 31 kişilik dişi + erkek seride genellikle; yiiksek kafa tipi, geniş alın, orta derecede yuvarlak yiiz tipi, alçak ve orta derecede gözevi tipleri, geniş damak şekli, küçük dişler, firlak olmayan yüz profili ve birbirine yakın oranlarda dar ve geniş burun tipleri gibi ozellikler, bu dönemde insanlannın karakteristik kafa ve yüz tiplerini belirlemiştir.

Böylelikle kraniyometrik ölçme ve biyometrik değerlendirme metodu; eski toplumlann genetik yapısında binlerce yıldan beri saklı bulunan morfolojik ozellikleri saptayarak, insan kronolojisinin aydınlatmasına ilk elden yardımcı olmaktadır. Ote yandan, eskiyi ölçen arkeometri disiplini içerisinde; kraniyometri (kafatası metrik ölçüm metodu) ve osteometri (vucut kemikleri metrik ölçüm metodu) sonuçlarını değerlendiren biyometri metodunun uygulanması, paleo-popülasyon genetigi çalışmalarında " kimyasal analizlerin sonuçlarına güvenilir bir boyut daha ekleyecektir.

KAYNAKÇA

- Alpagut, B.** 1979. Distribution of the cranial index in the ancient Anatolia. Abreages des communications et des co-rapports, 1. Quatrième Congrès Internationale des études du Sud-Est European, Ankara 13 - 18 Août, 1979. Türk Tarih Kurumu Basımevi, Ankara.
- Alpagut, B.** 1981. İnsan Yüzünün Evrimi Açısından Arslantepe (Geç Roma Dönemi) Yiiz İskeletlerinin Biyometrik İncelenmesi. Ankara. 1981. Doçentlik Tezi; 1 - 156 sayfa; Taflolar 1 - 28, I - VI; Data A - B - C - D, Resimler 1 - 7.
- Alpagut, B.** 1983. Paleo - popülasyon Genetigi Açısından Arkeometri'nin Önemi. TUBİTAK Arkeometri Ünitesi Bilimsel Toplantı Bildirileri IV., 26 - 30 Mayıs 1983 İstanbul Üniversitesi. 31 - 37.
- Alpagut, B. 1984. İskeletlerde Kan Grupları Tanımlanması. TUBİTAK Arkeometri Ünitesi, Bilimsel Toplantı Bildirileri V; 4 - 7 Temmuz/1984 Orta Doğu Teknik Üniversitesi Ankara, 28 - 33.
- Bostancı, E.** 1869. Sardis Kazlarında Çıkan Kafataslarının İncelenmesi ve Eski Anadolu Halkları ile olan Münasebeti. D T C F yayınları no 185, Paleoantropoloji Kürsüsü Seri III.
- Bostancı, E.** 1973. Anadolu'da insan kronoloisi ve genus homo için yeni bir sınıflandırma. Cumhuriyetin 50. yıldönümü Kitabı 539-591. A. Ü. DTCF Yayımları no : 239 ANKARA.
- Ciner, R. ve Kansu, Ş. A.** 1968. Korkuteli - Tefenni İskeletlerinin Tetkiki. Belleten XXXII: 127: 301 - 315.
- Ferembach, D.** 1970-72. Les Hommes du gisement néolithique de Çatal Höyük. VII TTK Kongresi s. 15 - 21 Ankara.
- Korkmaz, T.** 1973. Kadın ve Erkek Kafa İskeletlerinde Yiiz Uzunluğu ile Burun Uzunlukları Yiiz Genişliği ile Burun Genişlikleri Arasındaki Korelasyonlar. Diyarbakır Tıp Fak. Dergisi. Cilt 2 : 2: s. 259 - 263.

- Palmieri, A. 1969. Excavations at Arslantepe (Malatya) 1968. *Turk Arkeoloji Dergisi*. XVIII - I. pp. 99 - 101.
- Palmieri, A. 1973. «Scavi nell'area sud-occidentale di Arslantepe», *Origini* VII, pp. 60 - 62.
- Palmieri, A. 1974. Arslantepe (Malatya) Report on the excavations 1871-72. *Türk Arkeoloji Dergisi* XXI - 1 pp. 137 - 140.
- Puglisi, S. M. 1961. Excavations of the Italian Mission at Arslantepe (Malatya) Season 1961. *Türk Arkeoloji Dergisi* sayı XI - 2, pp. 53 - 55.
- Puglisi, M. S. 1964a. Second Report on the excavations at Arslantepe (Malatya) *Türk Arkeoloji Dergisi* XIII - 1: pp. 123 - 124.
- Puglisi, S. M. 1964b. Third Report on the Excavations at Arslantepo (Malatya) *Türk Arkeoloji Dergisi*, XIII - 2, pp. 41 - 44.
- Puglisi, M. ve Palmieri, A. 1966. Researches in Malatya District. (1965 - 66). *Türk Arkeoloji Dergisi* XV - II: pp. 81 - 91.
- Şenyürek, M. 1949. T. T. K. adına Yapılan Karahüyük Kazısından Çıkarılan Kafataslarının Tetkiki. *Belleten* XIII - 49: 1 - 10.
- Şenyürek, M. 1958. Antalya Vilâyetinde Öküzininde Bulunan Bir İnsan İskeletinin Tetkiki. *Belleten* XXII, sayı: 88, s. 465 - 490.
- Şenyürek, M. ve Tunakan, S. 1951. Şeyhöyük İskeletleri. *Belleten* XV: 60: 431 - 446.

CRANIAL ENDİS (Q)			CRANIAL ENDİS (O)		
Kafa	No.	Endis	Kafa	No.	Endis
		T İ P			T İ P
60	91.61	Ultra brachycrane	44	87.27	Hyperbrachycrane
23	85.29	Hyperbrachycrane	54	05.97	
24	85.83	,	83	86.39	
30	88.23	,	94	87.00	
41	89.02		13	82.65	Brachycrane
57	88.33		15	81.59	,
61	85.35		19	80.66	
95	88.41		25	80.83	
96	85.18	,	32	83.33	,
28	83.33	Brachycrane	43	80.82	
31	83.73		59	83.73	
37	82.20		62	84.27	
42	83.33		92	81.87	
39	76.87	Mesocrane	103	83.70	,
46	78.75		39	79.53	Mesocrane
59	76.47	,			
N (16)		Ultrabrachycrane .. 1	N (15)		Hyperbrachycrane 4
		Hyperbrachycrane 8			Brachycrane 10
		Brachycrane 4			Mesocrane 1
		Mesocrane 3			

TABLO : 1

TABLO : 2

**TRANSVERS FRONTO-PARIETAL
ENDİS (Q)**

Kafa No.	Endis	T İ P
28	62.14	Stenometop (d m d m)
41	65.75	
61	64.82	
31	63.30	
23	68.20	Metriometop (orta alın)
24	67.11	
30	68.14	
80	68.62	
95	67.58	
96	68.84	
37	69.40	Eurymetopia (geniş alın)
42	72.59	
46	76.15	
57	70.50	
58	76.92	
38	75.83	
N (16)	Stenometop	4
	Metriometop	6
	Eurymetop	6

TABLO : 3

**TRANSVERS FRONTO - PARIETAL
ENDİS (Ö)**

Kafa No.	Endis	T İ P
38	62.5	Stenometop (dar alın)
43	61.42	
44	61.80	
94	64.28	
103	65.10	
25	66.42	Metriometop (orta alın)
32	66.42	
54	68.66	
13	69.93	Eurymetopia (gen. alın)
15	72.18	
19	71.12	
58	70.50	
62	72.38	
92	70.71	
93	68.17	
N (15)	Stenometop	5
	Metriometop	3
	Eurymetop	7

TABLO : 4

YÜZ ENDİSİ (Q)

Kafa No.	Endis	T İ P
23	92.85	Leptoprosop (uzun - dar yüz)
85	88.30	
24	89.68	Mesoprosop (orta yüz)
42	88.51	
46	88.37	
61	86.06	
96	88.69	
59	83.2	Euryprosop (geniş - basık yüz)
30	76.92	Hypereuryprosop (çok basık - geniş yüz)
60	76.66	
N (10)	Leptoprosop	2
	Mesoprosop	5
	Euryprosop	1
	Hypereuryprosop	2

TABLO : 3

YÜZ ENDİSİ (Ö)

Kafa No.	Endis	T İ P
32	95.72	Hyperleptoprosop (çok uzun - d m yüz)
103	87.70	
15	93.12	Leptoprosop (dar - uzun yüz)
54	81.26	
62	88.61	Mesoprosop (orta yüz)
82	85.29	
25	88.42	
44	85.15	
13	82.42	Euryprosop (geniş - basık yüz)
19	84.73	
N (10)	Hyperleptoprosop	2
	Leptoprosop	2
	Mesoprosop	4
	Euryprosop	2

TABLO : 6

ÜST YÜZ ENDİSİ (Q)			ÜST YÜZ ENDİSİ (Ö)		
Kafa No.	Endis	T İ P	Kafa No.	Endis	T İ P
37	59.48	Leptene(dar-uzun yüz)	32	58.97	Leptene(dar-uzun yüz)
95	58.47	>	103	57.35	>
			15	53.43	Mesene (orta yüz)
23	54.93	Mesene(orta yüz)	19	50.38	
24	51.58	>	25	55.37	
3	53.71	>	43	51.16	
38	53.73	>	44	50.78	
41	52.8	>	54	54.76	
42.	52.41	>	62	54.47	
46	51.16		92	50.00	
59	50.4	>			
61	52.45	■	13	48.17	Euryene (geniş - alçak yüz)
96	54.78	>	58	47.2	,
28	46.51	Euryene(geniş-basık yüz)			
30	46.15	■			
60	47.01	>			
N (15)	Leptene	2	N (12)	Leptene	2
	Mesene	10		Mesene	8
	Euryene	3		Euryene	2

TABLO : 7

TABLO : 8

NASAL ENDİS (Q)			NASAL ENDİS (Ö)		
Kafa No.	Endis	T İ P	Kafa No.	Endis	T İ P
31	43.13	Leptorhine(dar burun)	15	41.81	Leptorhine (dar burun)
41	35.18		32	43.47	>
61	41.66		43	46.28	>
95	44.23		54	46.00	>
96	43.47		103	38.33	>
23	50.80	Mesorhine(orta burun)	13	50.00	Mesorhine (orta burun)
28	47.16		25	48.00	>
39	50.94	>	93	50.00	>
57	19.01		19	58.52	Platyrrhine (geniş burun)
60	50.94		38	52.00	>
24	52.00	Platyrrhine (geniş burun)	44	54.80	>
30	53.08		62	54.00	>
37	51.02		92	51.85	>
42	57.14		58	58.00	Hyperplatyrrhine(çok geniş burun)
48	51.02	>			
59	52.08	■			
N (16)	Leptorhine	5	N (14)	Leptorhine	5
	Mesorhine	5		Mesorhine	3
	Platyrrhine	4		Platyrrhine	5
				Hyperplatyrrhine	1

TABLO : 9

TABLO : 10

Kafa No.			ORBİTAL ENDİS (OI)			Kafa No.			ORBİTAL ENDİS (Ö)		
	Endis	T İ P					Endis	T İ P			
23	80.95	Charnaeconch (alçak gözüvi)	13	72.09	Chamaeconch (alçak gözüvi)						
24	78.19	"	19	76.19	"						
30	75.60	"	25	78.37	"						
37	82.5		44	78.04	"						
39	80.95	"	54	82.05	"						
42	82.05		58	76.74	"						
57	80.95		62	82.5	"						
60	79.50	"	92	80.48							
96	81.57	"	103	79.54	"						
31	86.84	Mesoconch (orta gözevi)	15	86.84	Mesoconch (orta gözevi)						
41	87.17		32	86.48	"						
59	83.78		39	85.00							
61	84.21	"	43	83.33							
28	90.00	Hypsiconch (yüksek gözevi)	93	88.09							
46	91.89		94	85.00	"						
95	92.30										
N (18)		Chamaeconch 9 Mesoconch 4 Hypsiconch 3	N (15)		Chamaeconch 9 Mesoconch 6						

TABLO : 11

TABLO : 12

TABLO : II
ARSLANTEPE GEÇ ROMA DÖNEMİ ERKEK İSKELETLERİNİN YÜZ ÖLÇÜLERİ VE ENDİSLERİ

E N D İ S L E R	N	\bar{X} 1	S	V	$S - X$	T - X
1) Cranial Endis - 100* 2/1	15	83.515	2.377	2.846	0.613	136.239
2) Kafannın yükseklik - genişlik Endisi - 100* 3/2	15	92.223	3.532	3.829	0.911	101.232
3) Kafanın yükseklik - uzunluk Endisi - 100* 3/1	15	78.743	2.503	3.281	0.646	118.797
4) Transvers Frontal Endis - 100* 11/12	15	81.162	4.414	5.438	1.139	71.257
6) Transvers Fronto - Parietal Endis - 100* 11/2	15	67.372	3.781	5.612	0.976	69.028
7) Jugo - Frontal Endis - 100* 11/8	13	74.097	3.890	5.249	1.078	68.735
8) Fronto - Mandibular Endis - 100* 9/11	15	102.264	7.951	7.774	2.052	49.836
9) Yüz Endisi - 100* 15/8	10	89.251	5.104	5.718	1.614	55.298
10) Üst yüz Endisi - 100* 16/8	12	52.670	3.636	6.903	1.049	50.209
11) Jugo - Mandibular Endis - 100* 9/8	13	75.329	3.551	4.713	0.984	76.553
12) Cranio - Facial Endis - 100* 8/2	13	91.117	4.252	4.666	1.179	77.283
13) Maxilla - Alveolar Endis - 100* 21/22	9	116.663	13.126	11.251	4.375	26.665
14) Palate Endis - 100* 24/23	9	87.424	10.454	11.957	3.484	25.092
15) Nasal Endis - 100* 20/19	14	49.369	5.738	11.622	1.533	32.204
16) Orbital Endis - 100* 18/17	15	81.382	4.564	5.608	1.178	69.084
17) Interorbital Endis - 100* 10/6	14	21.867	2.679	12.251	0.715	30.583
18) Gnatic Endis - 100* 27/26	12	96.902	5.101	5.284	1.472	65.830
19) Flower'in Diş Endisi (Maxilla) - 100* 28/28	7	39.082	2.518	6.442	0.951	41.095
20) Flower'in Diş Endisi (Mandibula) - 100* 29/28	6	46.058	2.753	5.977	1.123	41.013

TABLO : IV
ARSLANTEPE GEÇ ROMA DÖNEMİ DİŞİ İSKELETLERİİN YÜZ ÖLÇÜLERİ VE ENDİSLERİ

E N D I S L E R	N	X	S	V	S— X	T— X
		2				
1) Cranial Endis - 100* 2/1	16	84.420	4.166	4.934	1.041	81.095
2) Kafanın Yiikseklik - Genişlik Endisi - 100* 3/2	16	92.507	4.310	4.659	1.077	85.893
3) Kafanın Yükseklik - Uzunluk Endisi - 100* 3/1	16	77.961	2.332	2.991	0.582	133.953
4) Transvers Frontal Endis - 100* 11/12	16	81.079	3.806	4.694	0.951	85.256
6) Transvers Fronto - Parietal Endis - 100* 11/2	16	89.005	4.459	6.461	1.114	81.943
7) Jugo - Frontal Endis - 100* 11/8	16	76.768	4.351	5.667	1.087	70.623
8) Fronto -Mandibular Endis - 100* 9/11	15	96.298	7.291	7.571	1.882	51.167
9) Yüz Endisi - 100* 15/8	10	87.044	6.665	7.657	2.107	41.311
10) Üst Yüz Endisi - 100* 16/8	15	52.571	4.100	7.798	1.058	49.689
11) Jugo - Mandibular Endis - 100* 9/8	15	73.992	4.322	5.841	1.115	66.360
12) Cranio - Facial Endis - 100* 8/2	16	90.020	5.721	6.355	1.430	62.951
13) Maxilla - Alveolar Endis - 100* 21/22	11	117.525	10.255	8.725	3.091	38.021
14) Palate Endis - 100* 24/23	11	91.556	7.620	8.322	2.297	39.858
15) Nasal Endis - 100* 20/19	16	48.308	5.470	11.323	1.367	35.338
16) Orbital Endis - 100* 18/17	16	83.530	4.987	5.970	1.246	67.038
17) Interorbital Endis - 100* 10/6	16	21.508	2.485	11.553	0.621	34.634
18) Gnatic Endis - 100* 27/26	15	94.637	5.209	5.504	1.344	70.414
19) Flower'in Dig Endisi (Maxilla) - 100* 28/26	9	40.945	4.473	10.924	1.490	27.479
20) Flower'in Dig Endisi (Mandibula) - 100* 29/26	7	44.467	3.552	7.987	1.342	33.134

TABLO : VI
ARSLANTEPE GEÇ ROMA DÖNEMİ ERKEK + DİŞİ İSKELETLERİİN YUZ ÖLÇÜLERİ VE ENDİSLERİ

E N D İ S L E R	N	— X	S	V	S— X	T— X	T— — X — X
					1	2	
1) Cranial Endis - 100* 2/1	31	83.982	3.395	4.042	0.609	137.901	0.188
2) Kafanın Yiikseklik - Genişlik Endisi - 100* 3/2	31	92.370	3.890	4.211	0.698	132.335	0.050
3) Kafanın Yükseklik - Uzunluk Endisi - 100* 3/1	31	77.372	2.455	3.172	0.440	175.845	0.356
4) Transvers Frontal Endis - 100* 11/12	31	81.119	4.042	4.982	0.725	111.888	0.014
6) Transvers Fronto - Parietal Endis - 100* 11/2	31	68.215	4.159	6.096	0.746	91.441	0.279
7) Jugo - Frontal Endis - 100* 11/8	29	75.571	4.296	5.684	0.797	94.819	0.457
8) Fronto - Mandibular Endis - 100* 9/11	30	99.281	8.086	8.144	1.476	67.263	0.553
9) Yüz Endisi - 100* 15/8	20	88.147	5.887	6.678	1.318	66.981	0.262
10) Üst Yüz Endisi - 100* 16/8	27	52.615	3.827	7.273	0.736	71.487	0.018
11) Jugo - Mandibular Endis - 100* 9/8	28	74.613	3.969	5.319	0.750	99.484	0.239
12) Cranio - Facial Endis - 100* 8/2	29	90.512	5.059	5.589	0.939	96.391	0.153
13) Maxilla - Alveolar Endis - 100* 21/22	20	117.137	11.317	9.661	2.530	46.299	0.051
14) Palate Endis - 100* 24/23	20	89.697	9.001	10.034	2.012	44.581	0.319
15) Nasal Endis - 100* 20/19	30	48.803	5.525	11.321	1.008	48.415	0.133
16) Orbital Endis - 100* 18/17	31	82.491	4.832	5.857	0.867	95.145	0.317
17) Interorbital Endis - 100* 10/6	30	21.676	2.538	11.708	0.463	46.816	0.098
18) Gnatic Endis - 100* 27/26	27	95.644	5.190	5.426	0.998	95.835	0.310
19) Flower'in Dig Endisi (Maxilla) - 100* 28/28	16	40.130	3.757	9.362	0.939	42.736	0.362
20) Flower'in Diş Endisi (Mandibula) - 100* 29/26	13	45.201	3.185	7.046	0.883	51.190	0.354

ÇAYÖNÜ YERLEŞMESİNDEKİ KESİK İNSAN BAŞLARI

Metin ÖZBEK*

Genel Bilgiler

Bugünkü bildiklerimizin ışığında, Cafer Höyük (Malatya; Neolitik Çağ) ile birlikte Anadolu'nun en eski koy yerlegmesi olarak kabul edilen ve Diyarbakır'ın Ergani ilçesi sınırları içerisinde yer alan Çayönü Tepe'sindeki yapı kalıtilan C¹⁴ teknigiyle yapılan tarihendlirmeye göre günümüzden yaklaşık 9200 yıl öncesine kadar gitmektedir (Cambel, 1984). Paleolitik dönem yaşam biçiminden tarım ve yerleşik yaştanıya dayalı yaşam biçimine geçiş süresi içinde olması, Çayönü halkına yepyeni bir toplumsal düzen sağlamış, her alanda birqok değişme ve gelişmelerin doğmasına olanak verecek bambaşka bir dunyanın kapılarını açmıştır.

Çayönü esas evresi ya da Evre I diye adlandırılan ve en az 600 yıl sürdüğü belirlenen ilk koy yerleşmesi birbirini izleyen yapı ve yapı topluluklarını içerir (Cambel, 1984). Sosyo-ekonomik ve kültürel açılarından Yakin-Do& Neolitik dünyasında önemli bir konuma sahip olan Çayönü köyünü kuran insanlar antropobiyolojik yönden tanımak, çağdaşları sayılan diğer topluluklarla genetik yakınlık derecelerini belirlemek amacıyla, bugüne kadar bulunmuş olan insan iskeletlerini Hacettepe Üniversitesi Antropoloji laboratuvarına aldık¹.

Tarimsal faaliyetlerin başlaması insan-çevre ilişkisindeki dengeyi büyük ölçüde altüst ederken, yeni beslenme alışkanlıklarını beraberinde getirmiş ve diş sistemi, çeneler, çığneme kasları başta olmak üzere insan morfolojisinde birçok temel değişiklikler meydana gelmiş, daha narin bir yapı kazanılmıştır. Oluşan yeni ekosisteme bağlı olarak insan sağlığı olumlu ve olumsuz yönlerde etkilenmiştir.

(*) Doç. Dr. Metin ÖZBEK, Hacettepe Üniversitesi Antropoloji bölümü Öğretim Görevlisi Beytepe - ANKARA.

(1) Çayönü insan iskelet kalıntılarının laboratuvarımıza teslimi sırasında gerekten her türlü ilgi ve yardımı esirgemeyen başta Prof. Halet Cambel ve Robert J. Braidwood olmak üzere Çayönü kazalarında emeği geçen tüm elemlara teşekkür ederiz.

Antropolojik Analiz

Çayönü kazilannda ele geçen insan iskeletlerini buluntu yerleri ve özelliklerine göre başlıca üç grupta topladık :

1 ci grup : Anıtsal binadaki bitigik odalardan çıkarılan yanmış insan kafatasları.

2 ci grup : Aynı binada, yanmış kafataslannin hemen altındaki düzlemede bulunan yanmamış butun insan iskeletleri.

3 cü grup : Çayönü yerlegmesindeki evlerin tabanlarının altında hocker durumunda gömüülü olarak bulunan insanlara ait iskelet kalıntıları².

I. Anıtsal Bina'daki Yanmış İnsan Kafatasları

Çayönü tepesinde yapılan kazılarda, hücre planlı yapılar evresi ile izgara planlı yapılar evresi arasındaki evreye eş düşen tabakada ilginç bir yapının varlığı ortaya konmuştur (Çambel, Braidwood ve Özdoğan, 1982). Binanın arka planında, kapı geçitleriyle birbirine baglanan üç oda (her biri 1,80x2,30 m ebadında) ve sadece yanlarındaki odaların açıldığı 8 metre genişliğinde büyükçe bir avlu ilk bakısta dikkati çekmektedir (Resim : 1). 1980 yılında kazılmasına baglanan ve 1984 yılında en ust evresi tamamen açılan anıtsal bina, sahip olduğu mimari özelliğinden çok, tabanları işlenmemiş taşlarla ozenle döşenmiş u~odasında bulunan 71 insan kafatasıyla tüm ilgileri üzerinde toplamıştır. Yoğun yangın geçirmiş olan binada tavan ve duvarların çökmesi sonucu, kafatasları büyük ölçüde tahrif olmuş, kinlan kafatası kemikleri birey ayırimını zorlagıtacak ölçüde birbirlerine karışmışlardır. Hangi bireylere ait oldukları saptanamayan bazı çok küçük kafatası kemik parçalarını da göz oniinde bulundurursak, aslında genel sayının 71'in iiizerinde olması beklenebilir.

Cins ve Yaş : Anıtsal bina içerisinde yer alan yanmış kafataslarını (Resim : 2) cins ve yaşlarına göre ayıırken, bu arada birey sayısını da belirleme fırsatı bulduk (Tablo : I, II ve III). Çocukların ölüm yaşlarını, diglerin geligme kronojisinden yararlanarak saptadığımız halde, yetişkin kafataslarında dikiglerin kapanma derecelerini göz onunde bulundurduk (Ferembach, 1974; Olivier, 1976 ve Ubelaker, 1978)³. Wahl (1981), yangın sırasında olulan yüksek ıṣıda, kafatası dikiglerinin, kişi hayatı iken kapanmış olsalar bile ayrıldıklarını, dolayısıyla o kişiyi daha gens gösterdiklerini deneysel çalışmalarında gözlemlemiştir de, Çayönü yan-

(2) Temizlik, onarım ve sayım işlemleri devam eden bu iskelet kalıntıları ayrı bir inceleme konusu olacaktır.

(3) Gövde iskeleti bulunmadığı için, yaşı belirlerken kafatasıyla sınırlı kaldık.

mış kafataslarında bu görüşü destekleyici herhangi bir örneğe rastlamadık. Ancak, yangının kemikler üzerinde sertlegirici bir etki yaptığı genelde kabul edilmektedir; zira, yüksek ısıda kemikte olugan kalsiyum apatit, topraktaki tıhrip edici unsurlara karşı kemiğe göreli bir sertlik kazandırmaktadır (Wahl, 1981).

Yanmış Kafataslarının Tam Listesi

- No. 1. **ÇT'80. BM 2-8** : Erkek. 29 yaşından küçük. Kafatası kısmen onarılıp bütünlegtirildi.
- No. 2. **ÇT'80. BM 2-8** : Kadın. 29 yaşından küçük. Kafatasının değişik bölgelerine ait kemik parçalarıyla temsil edilir.
- No. 3. **ÇT'80 BM 2-8** : Erkek. 30 yaşından biiyuk. Kesin yaşı saptayamadık. Sadece oksipital kemige ait parça bulunmaktadır.
- No. 4. **ÇT'80. BM 2-8** : Erke'k. Yetigkin. Kesin yagi belirlenemedi. Oksipital kemığın sadece protuberantia occipitalis externa'yı iereren kısmı korunmugtur.

TABLO : I. Çayönü Yetişkin Kafataslarının Cinsiyetine Gore Dağılımı

Yeniyetme	Erkek	Kadin	Cins Belirsiz	Toplam
1	33	20	7	61

TABLO : II. Çayönü Kafataslarının Yaşa Gore Dağılımı

Yag Grubu	18-29	30-39	40-59	Yag Belirsiz	Toplam
Birey Sayısı	44	4	5	7	60

- No. 5. **ÇT'80. BM 2-8** : Kadın. 29 yaşından küçük. Frontal, parietal ve temporal kemikler korunmugtur.
- No. 6. **ÇT'80. BM 2-8** : Kadın. Yetigkin. Oksipital kemige ait bir parça ile temsil edilir. Kesin yaş belirlenemedi.
- No. 7. **ÇT'80. BM 2-7** : Erkek. Yetigkin. Kesin yagi belirlenemedi.
- No. 8. **ÇT'80. BM 2-7** : Erkek. 29 yaşından küçük. Genç yetigkin. Alt Gene parçaları ve kafatası kemiklerine ait irili ufaklı parçalarla temsil edilir.
- No. 9. **ÇT'80. BM 2-7** : Erkek. Aşağı yukarı 30 yaşlarında olmiig. Frontal ve parietal kemiklerine ait parqalarla temsil edilir.

- No. 10. **ÇT'80. BM 2-7:** Erkek. 29 yaşından küçük. Kafatası ve alt çeneye ait parçalarla temsil edilir.
- No. 11. **ÇT'80. BM 2-7 :** Erkek. 29 yaşından küçük genç yetigkin. Frontal, temporal ve parietal kemikler korunmuştur.
- No. 12. **ÇT'80. BM 2-7 :** Erkek. 30 yaşından biraz küçük. Kafatasına ait küçük parçalarla temsil edilir.
- No. 13. **ÇT'80. BM 2-7 :** Kadın. 29 yaşından küçük. Alt çene ve kafatasına ait parçalar korunmuştur.
- No. 14. **ÇT'80. BM 2-7 :** Cinsiyeti belirlenemedi. 29 yaşından küçük genç yetigkin. Sadece parietal kemiği bulunmuştur.
- No. 15. **ÇT'81. BM 2-22/10 :** Kadın. Aşağı yukarı 50 yaşlarında ölmüş. Kafatası iyi korunmuş. Kaide dışında onarım yapılabildi.
- No. 16. **ÇT'80. BM 2-22/12 :** Erkek. 45 yaşlarında ölmüş. Alt çeneye ait digler ve kafatası kemikleriyle temsil edilir.
- No. 17. **ÇT'81. BM 2-22/12 :** Kadın. 29 yaşından küçük. Parietal ve oksipital kemikler iyi korunmuştur.
- No. 18. **ÇT'81. BM 2-22/13 :** Kadın. 29 yaşından küçük. Parietal, frontal ve oksipital kemiklerine ait parçalar bulunmuştur.
- No. 19. **ÇT'81. BM 2-22/13 :** Cinsiyet belirlenemedi. 29 yaşından küçük. parietal ve oksipital kemikler korunmuştur.
- No. 20. **ÇT'81. BM 2-22/13 :** Kadın. 29 yaşından küçük. Kafatasına ait irili ufaklı parçalarla temsil edilir.
- No. 21. **ÇT'81. BM 2-22/13 :** Kadın. 29 yaşından küçük. Kaidesi ve yüz kısmı dışında kafatası çok iyi korunmuştur.
- No. 22. **ÇT'81. BM 2-22/13 :** Cinsiyeti belirlenemedi. 29 yaşından küçük. Alt çene ve kafatasına ait parçalarla temsil edilir.
- No. 23. **ÇT'81. BM 2-22/11 :** Erkek. Aşağı yukarı 40 yaşlarında. Üst Gene, frontal, parietal ve oksipital ile temsil edilir.
- No. 24. **ÇT'81. BM 2-22/16 :** Cinsiyeti belirlenemedi. 29 yaşından küçük. Sadece calva ile temsil edilir.
- No. 25. **ÇT'81. BM 2-22/15 :** Çocuk. 3-4 yaşlarında ölmüş. Kafatasına ait küçük kemik parçalarıyla temsil edilir.
- No. 26. **ÇT'81 BM 2-22/14/a-d :** Erkek. 45-50 yaşlarında ölmüş. Üst çene ve kafatasının bazı kısımlarıyla temsil edilir.
- No. 27 **ÇT'81 BM 2-22/14/a-d :** Çocuk. 3-4 yaşlarında ölmüş. Sadece üst çene bulunmaktadır.

- No. 28. **ÇT'81. BM 2-22/1-4/a-d** : Kadın. 29 yagindan küçük. Parietal ve frontal kemikleriyle temsil edilir.
- No. 29. **ÇT'81. BM 2-22** : Cocuk. Aşağı yukarı 5 yaglarında. Temporal, oksipital ve ust Gene kemiğiyle temsil edilir.
- No. 30. **ÇT'81. BM 2-22/17** : Erkek. 29 yagindan küçük. Parietal, temporal ve oksipital kemikleri korunmugtur.
- No. 31. **ÇT'81. BM 2-22/18** : Erkek. 25 yaşına yakın olmiig.
- No. 32. **ÇT'81. BM 2-22/18** : Kadın. 29 yagindan küçük bir genç.
- No. 33. **ÇT'81. BM 2-22/22** : Cocuk. 10-11 yaşlarında olmiig. Kafatasının değişik kısımlarına ait parçalar ve iist sene korunmug.
- No. 34. **ÇT'81. BM 2-22/22** : Çocuk. 4-5 yaşlarında. Kafatası ve iist çeneye ait kemikler.
- No. 35. **ÇT'81. BM 2-22/22** : Erkek. 29 yagmdan küçük. Temporal ve oksipital kemiklere ait parçalar bulunmugtur.
- No. 36. **ÇT'81. BM 2-22/22** : Cocuk. Yaş belirlenemedi. Oksipital ve sağ parietal kemiğin bir kismi korunmuştur.
- No. 37. **ÇT'81. BM 2-22/19** : Cinsiyet belirsiz. 29 yagindan küçük. Kafatası çok iyi korunmug. Alt çenenin govde kismi bulunmaktadır.
- No. 38. **ÇT'81. BM 2-22/21** : Yeniyetme. Yüz ve kaide kismi dışında oldukça iyi korunmugtur.
- No. 39. **ÇT'81. BM 2-22** : Erkek. 29 yagindan küçük. Alt çene ve kafatasına ait parçalar.
- No. 40. **ÇT'81. BM 2-22** : Kadın, 29 yagindan küçük. Frontal, parietal, oksipital ve iist çeneden ibarettir.
- No. 41. **ÇT'81. BM 2-22** : Erkek. 29 yagindan küçük. Kafatasına ait irili ufaklı parçalar.
- No. 42. **ÇT'81. BM 2-22** : Kadın. Yetişkin. Kesin yaşı belirlenemedi. Oksipital ve frontal kemiklerine ait parçalar.
- No. 43. **ÇT'81. BM 2-34** : Cocuk. 5-6 yaşlarında olmiig. Kafatasına ait parçalar ve diglerle temsil edilir.
- No. 44. **ÇT'81. BM 2-34** : Erkek, 29 yaşından küçük. Kafatası ve alt çeneye ait parçalarla temsil edilir.
- No. 45. **ÇT'81. BM 2-34** : Erkek. 29 yagindan küçük. Kaide kismi, yüz ve alin bolgesi dışında oldukça iyi korunmug kafatası.
- No. 46. **ÇT'81. BM 2-34** : Erkek. Yetişkin, Kesin yaşı belirlenemedi. Kafatasına ait irili ufaklı parçalarla temsil edilir.

- No. 47. **ÇT'81. BM 2-34** : Kadın. Genç yetişkin. 29 yaşından küçük.
- No. 48. **ÇT'81. BM 2-34** : Erkek. 29 yaşından küçük. Kafatası ve alt çeneye ait parçalar.
- No. 49. **ÇT'81. BM 2-34** : Kadın. 29 yaşından küçük. Frontal, temporal ve parietal kemiklerine ait parçalar.
- No. 50. **ÇT'81. BM 2-34** : Kadın. 29 yaşından küçük. Kafatası kemiklerine ait parçalar.
- No. 51. **ÇT'81. BM 2-34** : Erkek. 29 yaşından küçük. Kafatasından sadece parietal ve oksipital kemikler korunmuştur.
- No. 52. **ÇT'81. BM 2-34** : Erkek. 29 yaşından küçük. Frontal, parietal, oksipital ve üst çeneye ait parçalar.
- No. 53. **ÇT'81. BM 2-34** : Erkek. 29 yaşından küçük. Kafatasının değişik kısımlarına ait parçalar bulunmuştur.
- No. 54. **ÇT'81. BM 2-34** : Kadın. 30 yaşın üzerinde. Kafatasına ait parçalar. Kesin yaşı belirlemek olanaksız.
- No. 55. **ÇT'81. BM 2-34** : Kadın. 29 yaşından küçük. Sadece frontal kemikle temsil edilir.
- No. 56. **ÇT'81. BM 2-34** : Kadın. 29 yaşından küçük. Alt Gene, frontal ve parietal kemikleriyle temsil edilir.
- No. 57. **ÇT'84. BM 2-7/1** : Kadın. 29 yaşından küçük. Alt Gene, frontal, parietal ve oksipital oldukça iyi korunmuştur.
- No. 58. **ÇT'84. BM 2-7** : Erkek. 29 yaşından küçük. Alt sene ve kafatasına ait küçük kemik parçalarıyla temsil edilir.
- No. 59. **ÇT'84. BM 2-7** : Erkek. 29 yaşından küçük. Sadece frontal, parietal ve alt çeneye temsil edilir.
- No. 60. **ÇT'84. BM 2-7** : Erkek. 29 yaşından küçük. Alt çene ve kafatasına ait irili ufaklı kemiklerle temsil edilir.
- No. 61. **ÇT'84. BM 2-7** : Erkek. 29 yaşından küçük. Alt Gene, frontal, parietal ve oksipital kemiklerinden ibarettir.
- No. 62. **ÇT'84. BM 2-7** : Cinsiyet belirlenemedi. 29 yaşından küçük yetişkin. Alt Gene, frontal ve parietal kemikleriyle temsil edilir.
- No. 63. **ÇT'84. BM 2-7** : Cinsiyet belirsiz. 29 yaşından küçük. Alt Gene, frontal ve parietal kemikler korunmuştur,

- No. 64. **ÇT'84. BM 2-7 :** 29 yaşından önce ölmüş erkek. Kafatasına ait frontal ve parietal ile alt çeneden ibarettir.
- No. 65. **ÇT'84. BM 2-7/4 :** Aşağı yukan 3 yaşlarında ölmüş bir çocuk. Kafatasına ait kemik parçalar korunmuştur. Kemiklerin yanısira siit dişleri de bulunmuştur.
- No. 66. **ÇT'84. BM 2-7/4 :** Kadm. 29 yaşından küçük ölmüş. Alt Gene ve kafatasına ait parçalar.
- No. 67. **ÇT'84. BM 2-11/4 :** 40-45 yaşlarında ölmüş bir erkek. Alt çene ve kafatası parçalarıyla temsil edilir.
- No. 68. **ÇT'81. BM 2-37 :** Aşağı yukan 3 yaşılannda ölmüş bir çocuk. Siit ve sürekli dişler bulunmuştur. Aynca kafatasına ait kemikler ele geçmiştir.
- No. 69. **ÇT'80. BM 2-7 :** Erkek. 29 yağmdan küçük. Frontal ve parietal kemiklerine ait parçalarla temsil edilir.
- No. 70. **ÇT'81. BM 2-38 :** Çocuk. 2-3 yaşlarında ölmüş. Süt dişleri ve kafatası kemikleriyle temsil edilir.
- No. 71. **ÇT'84. BM 2-7 :** Erkek. Yetişkin. Kesin ölüm yaşı belirlenemedi. Sadece oksipital kemik korunmuş.

Yangın geçiren anitsal binadaki kafatasları, oluşan ısı derecesine ve alevlere olan yakınlık ya da uzaklık durumlarına göre açık kahverengiden siit ve tebeşir beyazına kadar değişen çeşitli renk tonları almışlardır. Özellikle ileri derecede yanarak tebliğ beyazına dönüşmüş olan kafatası kemiklerinde göze çarpacak ölçüde büzüşme, kırılma ve bukulme durumları meydana gelmigtir (Resim : 3). Nitekim, 700°C'nin üzerinde yanmış olan kemiklerde % 1 ile % 25 arasında değişen bir büzüşmenin olduğu araştırmalarca kabul edilmektedir (Ubelaker, 1978). Yangının yol açtığı ısı sadece kafatası kemiklerini değil, aynı zamanda dişleri ve alveol içerisindeki köklerini de etkilemiş ve aynı derecede yanmalarına yol açmıştır. Yanmış kafatası kemiklerinin aldığı renk farklılıklarından hareketle ve Wahl'in (1981) oluşturduğu ölçü de dikkate alarak Çayönü için gerekli olabilecek bir tablo hazırladık. Bundan amaç, binanın yanması sırasında meydana gelen en yüksek ısıyı aşağı yukarı saptayabilmektir. Tablo : IV'e göz atıldığında, belirli ısı derecelerinde kemiğin ne gibi değişik renkler almış olduğu da kolayca görülebilir.

TABU : III. Çayönü Kafatası Binasında Yer Alan Çocuklar

No. 1 :	ÇT'81 BM 2-22/15	3-4	yaş
No. 2 :	ÇT'81 BM 2-22	34	yaş
No. 3 :	ÇT'81 BM 2-22/22	4-5	yaş
No. 4 :	ÇT'81 BM 2-22	5	yaş
No. 5 :	ÇT'81 BM 2-22/22	10-11	yaş
No. 6 :	ÇT'81 BM 2-22/22	Yaş	belirsiz
No. 7 :	ÇT'84 BM 2-7/4	3	yaş
No. 8 :	ÇT'81 BM 2-34	5-6	yag
No. 9 :	ÇT'81 BM 2-38	3	yaş
No.10 :	ÇT'81 BM 2-38	2-3	yaş

TABLO : IV. Çayönü Kafataslarında Yanma Dereceleri

Yanma derecesi	I. derece	II. derece	III. derece	IV. derece
İşı	200-250°C	300-400°C	550°C	650-800°C
Kafatasının aldığı renk	Açık kahve, gri	Kahve, koyu kahve, siyah	Açık gri, gri-mavi, kul rengi	Süt beyazı Beyaz Tebegir beyazı
Gözlem sayısı	17	25	20	9

Tablo : IV'den anlaşılacağı üzere, yanında odalarda oluşan ısının 200°C ile 800°C arasında oynadığı tahmin edilmektedir. 800°C derecedeki bir ısı ise ahşap kafatası binasının yanması sırasında kolayca meydana gelebilir. Şiddetli derecede yanarak beyaz bir renk almış olan kemiklerin yüksek ısı karşısındaki tepkileri de farklı olmuştur; örneğin bir kısmında kink ve çatlaklar görülmüşken, diğer bazlarında kıvrılma ve bükülmeler olmugtur. Bu farklı biçimler nasıl açıklanabilir? Wahl (1981) ve Ubelaker'in (1978) bu alanda yapılmış olan deneyel çalışmalarını içeren yazıları dikkate alınacak olursa, özellikle uzunlamasına kırık ve çatlaklar, ategte kalan kemiklerin kuru ve etsiz; eğilip bükülmelerin ise, kemiklerin taze (etli) olmasından kaynaklandığı anlaşılmaktadır. Bu taktirde, Çayönü anitsal binadaki odalarda bulunan 70'i aşkın kafataslarının aynı anda değil de, farklı zamanlarda (belki birer ikişer, ya da daha çok sayıda) konmug olmalan olasılığı güç kazanmaktadır. Kafataslarının alt çeneleriyle birlikte olması, ayrıca en annandan altı kafatasıyla eksen adlı ikiinci boyun omurunun birarada goriilmesi (Resim : 4) ise bu organların, odalara konma sırasında kafa ile anatomik bir bağlantıya sahip olduklarını akla getirmektedir. Eğer, viicud, bir başka yerde büyük ölçüde çü-

rümeye bırakılmış iskelet haline dönüştükten sonra sadece kafatasları, söz konusu binaya konulmak üzere alınmış olsaydı, özellikle ikinci boyun omurunun kafatasına eşlik etmemesi beklenirdi. Kaldı ki bazı kafataslarıyla birinci boyun omuru kalıntılarına da rastladık. Bilindiği gibi, alt çenenin ve omurların (birinci ve ikinci soz konusu edildiğine gore) kafatasıyla hiçbir kemiksel kaynagması yoktur; bu kemikler, kafatasındaki eklem yerlerine ancak kaslar ve ligamentler aracılığıyla bağlanırlar. Kısmen çürümuş kafataslarında bile bu bağlantılar korunmuş olabilir. Aşırı yanma sonucu tümüyle denilecek ölçüde tanınmaz hale gelen diğer boyun omurlarına (ikinci boyun omurunu izleyen omurlar) da rastladık. Demekki, bazı başları govdeden ayirirken boyunda aynı hızadan değil de daha alt kısımlarda kopma olmuş. Yukarıda adı geçen omurlardan bazılarının gövdelerinde eksiklikler bulunmaktadır; bunların mikroskop altında ayrıntılı olarak değerlendirilmesi halinde onemli ipuçları elde edilebilir.

Kafatası binasında, farklı yanma dereceleri gösteren kafatası kemiklerini kazı sırasında verilen referanslar göz önünde tutarak değerlendirdiğimizde, ileri derecede yanan, bir başka deyişle yangında ateşin en yoğun olduğu kısmında kalan kafataslarının BM 2-7 no.lu odadan toplanmış oldukları ortaya çıkar. Bu referansların bina içerisindeki konumlarını dikkate almak, yangın olayına ışık tutması açısından onemli olabilir.

Adı geçen binada, yangın esnasında kafatasları dışında insan gövdelere ait çeşitli kemiklere de rastladık. Yaptığımız incelemelerden anlaşılacağı üzere, şimdilik bu kalıntılar 70'den fazla insanın gövdelerini temsil edemeyecek kadar az olmakla birlikte, her yaştan ve cinsten insanı ilgilendirmektedir (Resim : 5). Govdenin her bolgesinden kemikler söz konusudur. Ne var ki, bunlarla kafatasları arasında bir eşleme yapmak olanaksız. Kazı sırasında verilen numaraların dikkate alınarak, govde kemiklerinin ayrıntılı listesini aşağıda sunmaya çalıştık. Çayönü kazı ekipinde yer alan araştırmacılarından sayın Aslı Özdoğan'ın belirttiğine gore 1986 kazı mevsiminde yapılan çalışmalar sırasında aynı kesimde yine gövde iskeletlerine rastlanmıştır.

1. **ÇT'80 BM 2-7** : Pazu kemiğine ait govde parçası
2. **ÇT'81 BM 2-22/21** : Ayak parmak kemikleri.
3. **ÇT'81 BM 2-22/22** : Kaburga kemiği parçası.
4. **ÇT'81 BM 2-22** : Bacak kemiği parçası, diğer uzun kemiklere ait parçalar.
5. **ÇT'81 BM 2-34** : Sırt ya da bel omuruna ait gövde.
6. **ÇT'81 BM 2-34** : Ayak parmak kemiği, el bilek kemiği.

7. **ÇT'81 BM 236, 37, 38, 39** : Uzun kernalere ait (kol ve bacak) paqalar.
8. **ÇT'84 BM 2-7** : Kalça kemiğinin ilium bölgесine ait ufak bir parça, ayrıca uzun kemik parçaları.
9. **ÇT'84 BM 2-7/4** : El ve ayak bilek kemikleri, bacak, kaval ve pazu kemiği parçaları, kurek kemiği. Birden fazla yetişkin ve çocuk söz konusu.
10. **ÇT'84 BM 2-7/9** : Boyun omurları ve uzun kemiklere ait parçalar.
11. **ÇT'84 BM 2-40/10** : Birinci boyun omuru, kaburga, dizkapayı, kalça, bacak, baldır ve pazu kemiklerine ait paqalar.
12. **ÇT'81 BM 2-34** : El ve ayak parmak kemikleri.
13. **ÇT'84 BM 2-7** : Kurek kemiği, kaburga kemikleri, boyun omurlarına ait parçalar, kol ve bacak kemikleri, el ve ayak parmak kemikleri.
14. **ÇT'84 BM 2-43** : Kol ve bacak kemiklerine ait parçalar.

II. Çayönü ve Kafatası Kültü

En küçüğü 2-3 yaşlarında olan değişik yaş gruplarına giren çocuklar, kadın ve erkeklerden oluşan 71 insana ait kafatasının bitişik üç oda içerisinde belirli bir dağılım gözetmeksizin⁴, fakat özenle korunmuş olmaları, Çayönü halkın kafatasına vermiş olduğu dinsel ya da rituel bir önemi sergilemektedir. Aslında, geçmişten günümüze insanlık tarihine şöyle bir göz atacak olursak, büyüler, rituel ve dinsel amaçlı çeşitli törenlerde insan başı hep on planda tutulmuştur; oyle ki birçok ilkel topluluklarda bag, güç ve kudretin simgesi, vücutun en önemli organı, doğaüstü güçlerin yaşadığı merkezdir. Ritüel amaçlı ya da olu gomme törenlerinde insan başı, kutsal bir varlık olarak kabul edilir ve tören sonunda konuldukları yerler kult merkezi ya da tapınak işlevini görürdü (Glory ve Robert, 1947; Mehren, 1923). Başın, govdeden ayn tutulmasına ilişkin en eski ornek Mezolitik kültür dönemine kadar gider; nitekim, Bavyera'nın (Batı Almanya) Ofnet mezarlığında çocuk, kadın ve erkekten oluşan 40 kadar insana ait kafatası bir çukur içerisinde bulunmuştur (Glorya ve Robert, 1947). Alimen (1965), bu kafataslarının, gövde iskeletinden alınıp buraya konmuş olduklarına işaret etmektedir. Ölü gömme törenlerinde başın govdeden ayn tutulmasına ilgkin ornekler ise özellikle Neolitik'ten itibaren yaygınlaşmaktadır ve bu konuda en güzel ve

(4) Çocuk, kadın ve erkek kafatasları odalarda karışık durumda bulunmuştur.

en ilginç ömekler ise Yakın - Doğu Neolitik yerleşmelerinde belirlenmiştir. Gerçek anlamda bir kafatası kültüne Jericho (İsrail) Neolitik yerleşmesinde rastlıyoruz (Kurth, 1959; Deshayes, 1969). Jericho köyünün Çayönü ile çağdaş olduğunu da burada anımsamakta yarar vardır. Fransız araştırcı J. Cauvin ile yaptığımız kişisel görüşmeden anlaşılacağı üzere, Byblos'un Neolitik evresinde de aynı uygulamaya tanık olmaktadır; nitekim burada da, ölüler gomulurken govdele ayri başlar ayri tuftulmuştur. Öte yandan, Fransa'nın Aveyron bölgesinde Bronz Çağıyla yaşıt Pradel aldı mağaranın zemininde, içerisinde yanmış ağaç parçası, okı boyası ve bir insan dişinin yer aldığı kafatası ele geçmiştir. Tapınak olarah kullanıldığı tahmin edilen bu mağara, büyük bir olasılıkla ateş, su ve kırmızı boyanm kafatasıyla birlikte rituel bir amaca hizmet ettiği yer olmalıdır (Glory ve Robert, 1947). Başa verilen önemin en canlı örneğini günümüz ilkel toplulukları bize kazandırmaktadır. Gerçekten, Yeni Gine adası yerlileri esir aldıkları düşmanlarının başlarını keser, etlerinden ayırip temizlendikten sonra, süsleyerek evlerinin bir kösesinde saklarlar-mış. Borneo yerlileri ise, oldiirliikleri düşmanlarının başlarını keser, getirip evlerindeki verandaya asarlar-mış. Böylece, aile reisi, sahip olduğu kafa sayısına gore itibar görür, bundan bir tur gurur duyarmış. Kafataslarını miras olarak çocuklarına bırakırken, bunların sayılarını da artırmalarını onlardan istemiş, Nijerya'nın kuzyeyinde yaşayan Malabu zencleri, olen kabile reisinin başını gövdeden ayırır ve daha önceki reislerle ait kafataslarının gömülü olduğu yere getirip koyarlar-mış (Glory ve Robert, 1947). Görüldüğü gibi, insan başına verilen önem ve ayrıcalığa ait örnekler saymakla bitmez. Geçmişten günümüze uzanan bu davranış çeşitlerinin çıkış noktası aşağı yukarı aym; bu da, vücutun en onemli ve gizemli organı olan beynin kafatası içerisinde yer almıştır.

İnsan başı ve ritüel/dinsel inanışlar arasında bir bağlantı kurarken tarihi kaynakları da gözardı etmemeliyiz; zira, yakın tarihte, rastladığımız bazı davranışların eskiliğini (kafatası deformasyonunda olduğu gibi) tarihöncesi çağlara kadar götürürebiliriz. Dinler tarihine bir göz attığımızda, özellikle Orta-Doğu'da insan kurban etme geleneğinin ve ayinlerinin varlığıyla karşılaşırız (Ocak, 1986). Ünlü dinler tarihçisi Mircea Eliade'a göre (1975), insan başı kültü'nün bir vakitler Mezopotamya ve Anadolu'da görüldüğü tarihi kaynaklarda geçmektedir. Hatta, araştırcı, bu kültür ile hasad mevsimi arasında bir ilişkinin olabileceğine işaret etmektedir. Ayrıca, Frigyalılar'ın, çok eski devirlerde iyi mahsul alabilmek için insan kurban ettikleri, orakla kesilmiş bir insan başını adak olarak tanrırlara sundukları Eliade'in kitabında yer almaktadır. Kesik insan başı kültü'nün, Anadolu'da çok daha yakın devirlere kadar uzandığını kamtlayan en ilginç örnek Harran ovası ve çevresinden gelmektedir.

Nitekim, X. yüzyıl İslâm tarihçisi Şemsüddin ed-Dımaşkı (Ocak, 1986), ilgili bölgede yaşayan Sâbiîler'in, her yıl diizenledikleri özel törenler sırasında Utarid (Merkiir) gezegenine bir gencin kesik başını sunduklarını, Harran'da bu amaçla kurulan mabedin de Halife Harun Reşid (786-809) tarafından tahrif olduğunu belirtir. Sâbiîler arasındaki bu insan kurban etme geleneğine Ibnî'n Nedîm'in (in Ocak. 1986) ünlü el-Ehrist'inde de rastlamaktayız.

Buraya kadar, özellikle bizi daha yakından ilgilendirmesi açısından Anadolu ve Orta-Doğu başta olmak üzere birçok bölgelerde insan başının dinsel ve rituel torenlerde ne denli önemli bir yer tuttuğunu göstermeye çalıştık. Bu gözlem ve değerlendirmelerin ışığında, ilk yerleşik koy toplulukları dönemine ait Çayönü yerleşmesindeki anıtsal binada bulunan 71 insan kafatasının ortaya koyduğu tabloyu nasıl bir yaklaşım altında yorumlayabiliriz? Herşeyden önce, olayı çeşitli boyutlarıyla görmeye çalışalım. Kafataslarının sayısı, yaş ve cinse göre dağılımı, alt çene ve ikinci boyun omurluyla olan bağlantı durumları dışında, anıtsal binanın mimari özelliğini, iç teşkilatını ve avlusunda bulunan iizerinde kan izlerinin saptandığı (hayvan ve insan kanı) yassi taşı bir arada düşündüğümüzde, binanın Çayönü insanlarınca bir kültür yapısı olarak kullanılma olasılığı artmaktadır. Özellikle, yapının avlusunda yer alan yassi taş iizerindeki kan analizlerinin sonucuna bakılırsa, ortada bir de kesme olayı var demektir. Bu da ister istemez bir adak torenini akla getirir, Binanın odalarında bulunan 2-3 yaşlarındaki bebeklere ait kafatasları şimdiye kadar başka hiçbir yerde rastlanmamış bir olaydır. Bu yaşlardan daha küçük bebeklerin uygulama dışı bırakılmaları ise oldukça düşünürücü. Gerçekten bilerek yapılan bir dışlama mı söz konusu? Ote yan dan, oliim yaşı belirlenen 53 yetişkinden % 83 gibi çok önemli bir bölümünü 30 yaşındaki gençler oluşturur. Aslında, bu da oldukça anlamlı görülmekte. Kafataslarında hiçbir patolojik ve travmatik durum yoktur; görünürde sağlıklı gençler söz konusudur. Kafataslarının yanısına, az sayıda da olsa insan gevde kalıntılarının bulunması, üstelik bunların yanına izi göstermesi olayı daha da karmaşık hale getirmektedir. Ufak parçalarla temsil edilen yanmış hayvan kemiklerine de rastladık: bunlar ÇT'80 BM 2-7, ÇT'81 BM 2-34, ÇT'84 BM 2-7/4, ÇT'81 BM 2-22/20 ÇT'84 BM 2-40/10 referanslarını taşıyan kısımlarda insan kafataslarıyla iç içedir. Bu hayvan kemiklerinin yassi taş üzerindeki hayvan kan izleriyle bir bağlantısı düşünülebilir mi? Örneğin rituel ya da bir başka amaçla düzenlenen kurban toreni gereği, hayvanların kesilerek torene katılanlara verilmiş bir yemek şöleni bize hiç de mantıksız görünmüyor.

Kaldı ki, Harran ovasında yaşamış olan Sâbiîler'in Tanrı'lara insan kurban etme geleneğinden daha önce söz etmiştik. Böyle bir

gelenek kökünü daha eski çağlardan, örneğin Neolitik'ten almış olamaz mı? Birincisine &re biraz zayıf olsa da, akla gelen bir diğer olasılık da ölen insanların dışarıda bekletilen cesedleri çürüdükten sonra sadece kafataslarının - bir inanış gereği - alınıp odalara konmasıdır. Ne var ki bu yorumu itibar ettiğimizde, o zaman ayludaki insan kamı izlerini, hemen hemen her kafatasıyla birlikte bulunan alt çeneyi ve en az altı, ama belki de daha çok sayıda olabilecek ikinci boyun omuru gibi ancak kaslar ve ligamentler aracılığıyla başla anatomik bağlantı kuran kemikleri ve 2,5 ile 3 yaş altrndaki bebeklere rastlanmamasını gözardı etmek gereklidir. Bize göre, tüm bulgular ve tarihsel örnekler, Çayönü'nde bir zamanlar insanların kurban edildiğini (hangi amaqla olduğunu belki de hiçbir zaman bilemeyeceğiz) on plana çıkarmaktadır. Zaten, hangi davranış söz konusu olursa olsun, kafataslarının konulduğu bina Çayönü halkın inanç diliyasında kugkusuz kutsal bir yeri olmalıdır; Bu durumda, Çayönü ile ortaya çıkan bir gerçek de, bu kadar çok sayıda insanı ilgilendiren bir insan başı kiliti'nun ve bu amaca hizmet etmek için inşa edilmiş bir binanın ilk kez, bildiğimiz kadanya, Çayönü'nde görülmüşdür. O nedenle, tüm gözlemler ve değerlendirmelerimizin ışığında şunu rahatlıkla söyleyebiliriz ki, inanmış sisteminin bir parçasını oluşturan ritüel torenlerin, daha doğrusu salt insanı hedef alan gerçek anlamda bir kafatası kültü'nün, oturulan mekân dışına çıkılarak, bu amaç için öngörülen ve inşa edilen özel bir binada uygulanmasına ilk kez Çayönü yerleşmesinde tanık oluyoruz. Yore halkın gözünde ayrıcalıklı bir yerinin olduğunu tahmin ettiğimiz kafatası binasının, o dönemin anlayışı içerisinde zaman zaman birtakım ritüel seremonilerin düzenlediği bir yer olarak kullanılması güçlü bir olasılık.

YANMIŞ KAFATASLARIN ANTROPOLOJİK AÇIDAN ANALİZİ

Onarıp bütünlüğümüz birkaç kafatasında bazı ölçüleri alma olanağı bulduk (Tablo : V). Bir erkeğe ait kafatasında sefalik endis 75,7'dir; bu değer mezosefal kategoriye girer. Bir kafatasında hesapladığımız transversal frontal endis ($I = 78,6$) ise önden arkaya doğru geniqleyen bir alnı simgeler. Sajital alın endisi bir kadın ($I = 82,2$) ve bir erkekte ($I = 88$) hesaplandı; her iki kafatası da ortometop kategoriye girer. En büyük uzunluğu 2 kafatasında ölçebildik; elde ettiğimiz değerlerden kadına ait olanı (170 mm). Alexew ve Debetz'in (in Ferembach, 1974) sınıflanmasında orta, erkeğe ait olanı ise (181,5 mm) uzun kategoriye girer. 4 kafatasında aldığımız en büyük geniglik 125 ile 137,5 mm. arasında değişir ve normal genişlikte ya da dar bir kafatasını simgelerler. Neolitik ve daha sonraki devirlerde Anadolu'da hiç rastlamadığımız bir anatominik özellik de Çayönü kafatası kemiklerindeki kalınlıktır; örneğin Çatal

Höyük erkek ve kadınlarda en fazla kalınlık frontal ve parietal tümsekler üzerinde 8 mm. yi geçmezken, Çayönü kafataslarında 12,5 mm. ye varan çok ilginç değerler bulduk. Kafatasları üstten bakıldığından genellikle avoid biçimini andırır; parietal tümsekler pek fazla gelişmemiştir. Okcipital bölge normal bir yay çizer. Bazı erkek kafataslarında ense tutunma kasları aşırı ölçüde gelişmiştir. Kaş kemeleri coğunlukla üçgen bir kabartı oluşturur ve Martin'in (in Ferembach, 1974) B şemasını anlatır. Yangında kafatasları önemli ölçüde tahrip olduktan için yüz kısımlarını onarmamız mümkün olmadı (Resim : 6, 7, 8, 9).

Morfolojik gözlem ve ölçülere dayanarak Çayönü kafataslarının ait olduğu insanların Akdeniz ırkı'nın Örafriken tipini temsil ettiğini söyleyebiliriz (Resim : 6, 7). Aslında, bu ırksal yapı tarih oncesi Anadolu'da çok yaygındı; örneğin, Çatal Höyük Neolitik halkın % 59'unu bu tip oluşturur (Ferembach, 1973 ve 1982). Aynı ırktan insanlara Jericho'da (İsrail) da rastlanır. Ayrıca, Tel Hassuna (Irak) ve Shanidar (Irak) Neolitik köylerinde de aynı ırktan insanlar yaşamıştır (Ferembach, 1%6 ve 1973). O halde, Çayönü'nde, yanmış kafataslarının ait olduğu insanlarla⁵ Yakın - Doğu neolitik insanların bir kısmı (ozellikle Akdeniz ırkı'nın Örafriken tipine girenler) arasında ırksal bir yakınlığın bulunduğu anlaşılmaktadır.

(5) Evlerin tabanına gömülü olan insanların iskelet kalıntıları üzerindeki incelememiz devam etmektedir; bunların, anitsal binadakilerle ve diğer Yakın - Doğu Neolitik topluluklarıyla o h yakınlık derecelerini çalışmamız sonuçlandığında daha net biçimde ortaya koyacağımızı umuyoruz.

Çayönü Yanmış Kafataslarında Ölçü ve Endisler

Erkekler

Ölçüler	11	16	27	28	31	35	50	52	54	55	63
En büyük uz.	—	—	—	—	—	—	—	181,5	—	—	—
En biiyik gen	136	—	—	—	—	—	—	137,5	—	—	—
A h gen. (max.)	108	—	—	—	—	—	—	112	—	—	—
Biastryen gen.	—	—	—	—	104	—	—	97	—	—	109,5
Po - Br yük. (sağ)	—	—	—	—	—	—	—	126	—	—	—
Po - Br yük. (sol)	135?				105	—	—	—	—	—	—
Frontal doğru	111	—	—	—	—	—	—	—	—	—	—
Frontal yay	—	—	—	—	126	—	—	—	—	—	—
Parietal doğru	123,5	--	—	—	129,5	—	—	114	117	—	—
Parietal yay	141				149			123	127,5		
Glabella - Lambda	179										
Mastoid uz.					46	44		35,5			
Tub. front kal.	7,5	8	—	10	7,5	—	10,5	6	6	9	8,5
Tub. pariet. kal.	6	10	8,5	—	6	6,5	8,5	6,5	6,5	6,5	7
Alt çene M1-M2 yük.								32,5			
Alt çene M1-M2 kal.								15			
Endisler											
Sefalik endis								75,7			
Saj. alın end	88										
Saj. pariet. end.	87,5				86,9			92,6	91,7		
Alt çene kuv. and.								43			

		44	15	17	37	18	33	24	Kadınlar
En büy. uz.	170								
En buy. gen.		125	130						
En büy. ahn gen.	117		115						
En küç. ahn gen.	92								
Biasteryen gen.	104,5								
Frontal doğ.	109								
Front. yay.	132,5								
Pa, doğru	115,5	117	107	118					
Pa yay	128	126	114	133					
Gl-l uz.	187								
Tub. fr. kal.	10	3,5	8		4,5		5,5	6	
Tub. pa. kal.	11	4	5	5,5	5	4,5		7	
Alt çene sim. yüks.			33						
P2-M1 yük.			32						
M1-M2			30						
M2-M3			28,5						
P2-M1 kal.			14						
M1-M2 kal.			13,5						
Endisler.									
Ahn end.	78,6								
Saj. ahn end.	82,2								
Saj. pa. end.	90,2	92,8	93,8	88,7					
Alt ç. kuv. end.			45						

K A Y N A K C A

ALIMEN, H. *Atlas de Préhistoire*, Tome I, Ed. N. Boubée et Cie Paris. 1965.

ÇAMBEL, H. «Arkeometri Açısından Çayönü Kazısı». TÜBİTAK. Arkeometri **hı** tesisi Bilimsel Toplantı Bildirileri. 1 - 4 Mayıs. 1980. Ankara 1984.

ÇAMBEL, H., H. R. Braidwood ve M. Özdoğan. «Çayönü Kazısı 1981 Yılı Çalışmaları». IV. Kazi Sonuçları Toplantısı, Ankara, 8 - 12 Şubat 1982, ss. 9-24.

DESHAYES, J. *Les Civilisations de l'Orient Ancien*. Arthaud. Paris. 1969.

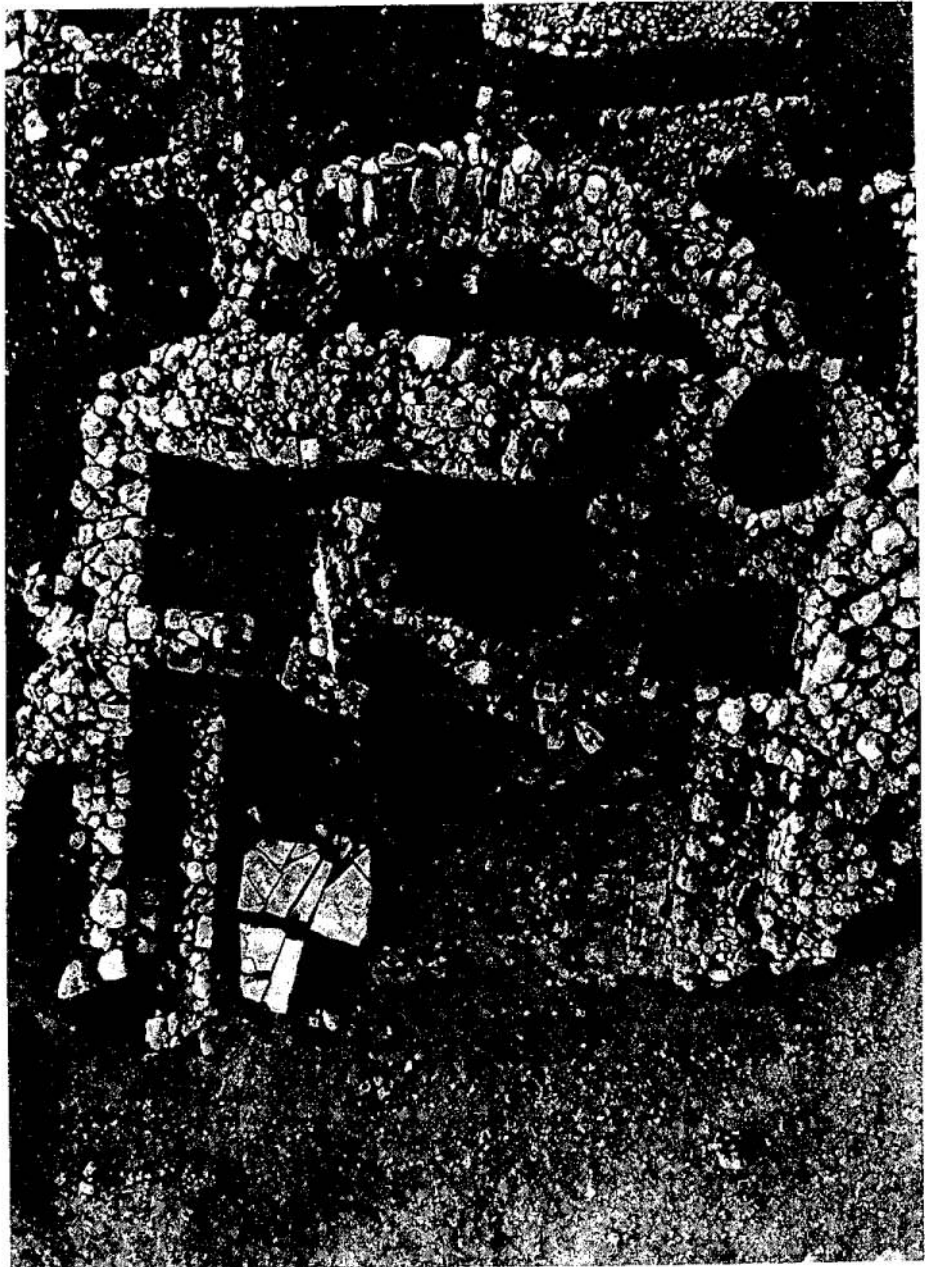
FEREMBACH, D. «Formation et évolution de la brachycéphalie au Proche-Orient». Homo, 17 Band. 4. Heft. 1966.

Id. «Evolution humaine au Proche-Orients. Paléorient», vol. I₂. 1973. ss. 213 - 221.

Id. Techniques *Antropologiques* 1. *Craniologie*. Paris. Lab. d'Anthrop. de l'EPHE. 1874.

Id. Mesures et indices des squelettes humains néolithiques de Çatal Höyük (Turquie). 1. *Crâne*. Lab. d'Anthrop. de l'EPHE. Paris. 1882.

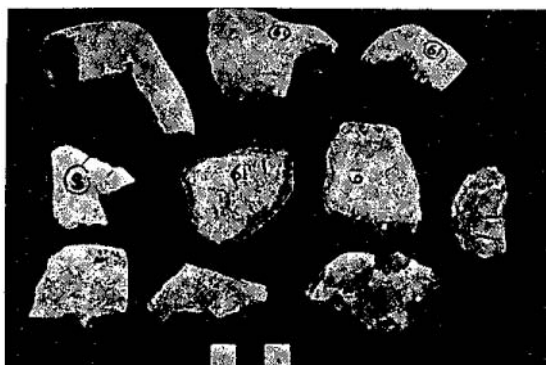
- GLORY, A. ve R. Robert. Le «culte des crânes humains». Bull. **Mém.** de la Soc. d'Anthrop. de Paris. 1947. Tome VIII, ss. 114 - 133.
- KURTH, G. «Anthropologische Beobachtungen von der Jerichograbung 1955 - 1958». Homo Kongreband Kiel, 1959, pp. 115 - 130.
- MEHREN, A. Nuhbetü'd-Dehr fi Acâibi'l-berr ve'l-bahr, Leipzig, 1923, s. 43.
- MİRCEA ELIADE. Traité d'Histoire des Religions, Paris. 1975, ss. 289 - 90.
- OCAK, A. Y. «Tarih ve Efsanenin Bir Kavşak Noktası : Türk Folklorunda Kesikbaş». III. Milletlerarası Türk Folklor Kongresi, Izmir. 23 - 28 Haziran 1986.
- OLIVIER, G. ve F. Demoulin. Pratique **Anthropologique**, 1976. Université Paris 7
- UBELAKER, D. H. Human **skeletal** remains. Aldine Publishing Co. Inc. 1978. Chicago.
- WAHL, J. «Beobachtungen zur Verbrennung menschlicher Leichname». **Archäologisches Korrespondenzblatt**. II. 1981, ss. 271 - 279.



Resim : 1 — Çayönü, Kafatası Binası,



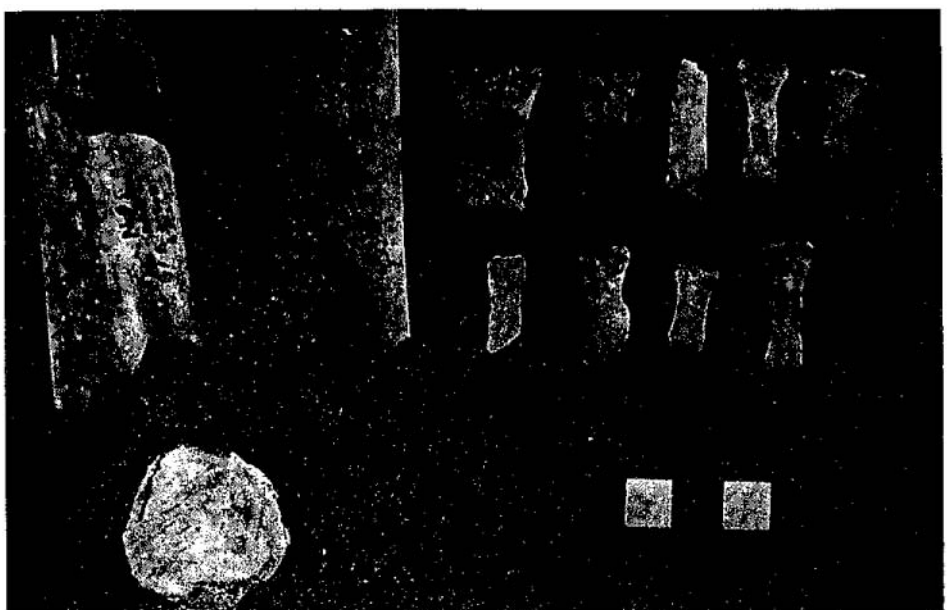
**Resim; 2 — Çayönü yanmış
insan kafataslarının
buluntu durumu**



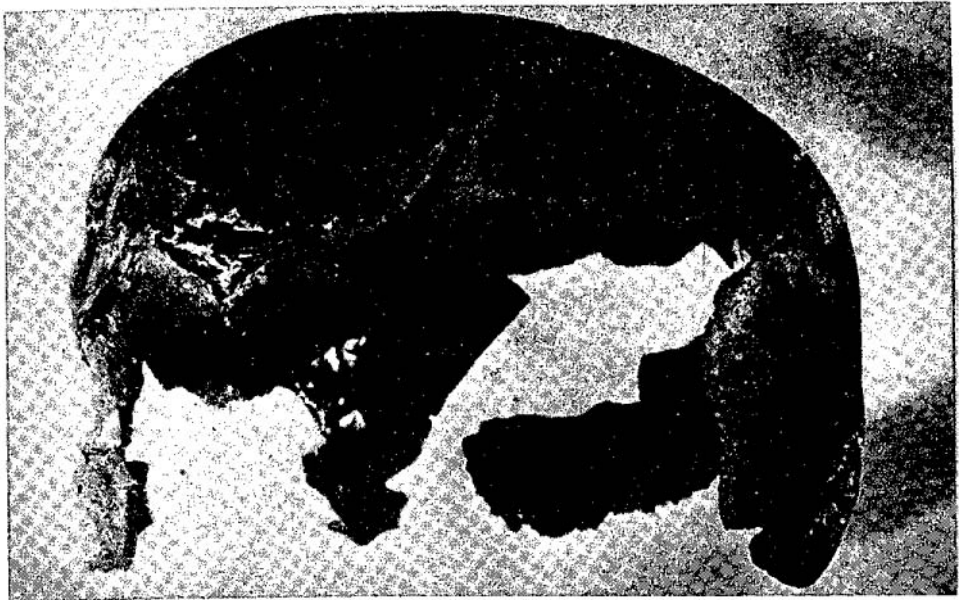
Resim : 3



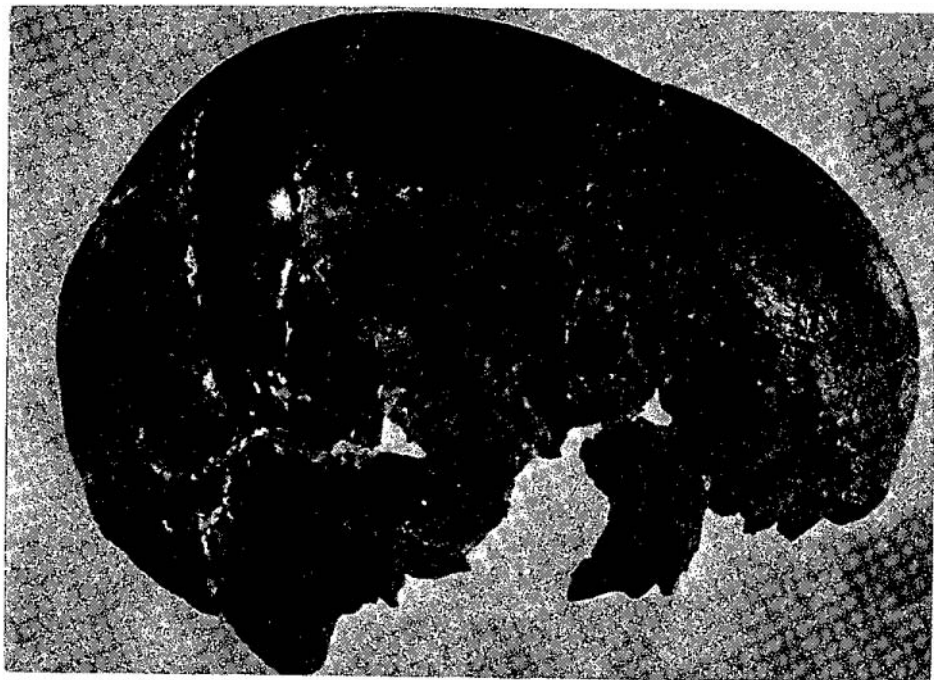
Resim: 4



Resim : 5



Resim : 6



Resim : 7



Resim : 8



Resim : 9

SCHEMATIC INTRODUCTION TO PROBLEM · FOCUS AND RESEARCH STRATEGY 1977 · 1986

Peter Ian KONIHLOM*
Cecil L. STRIKER

This is the tenth year of the project in name and the fourteenth since we first began dendrochronological investigation in the region. And now that the project has «*come of age*», it is a logical point to review the achievement to date and to set down the problems and possibilities with which it is faced together with the strategies to deal with them. The objectives and results for the period 1977-1985 in approximate order of priority can be summarized in the following table (a detailed discussion follows) :

1977-1985	
OBJECTIVE	RESULT
1. Test the validity of the dendro-chronological method in the Aegean and neighboring regions.	1. Complete. Positive.
2. Establish the geographical limit of crossdating in the region.	2. Extensive macroclimate proven. Limits still not reached.
3. Establish regional master chronology (ies). Extend them.	3. Well replicated to 1116 AD. Less well replicated to 861 AD. Floating to ca. 3000 BC
4. Date individual monuments and sites.	4. 75 monuments absolutely dated.
5. Develop «dendro-archaeological» approach in the field.	5. Success.
6. Improve laboratory from one-man operation to a coordinated team effort.	6. Success.

(*) Assoc. Prof. Peter Ian KONIHLOM Department of Classics. 120 Goldwin Smith Hall Cornell University ITHACA N. Y. 14853 USA.
Cecil L. STRIKER. University of Pennsylvania. USA.

- 7. Proselytize the method in region.
Establish host country networks.
- 7. Some success, but this must continue.
- 8. Apply results to chronological problem-solving wibhin **the** limits of crossdated material.
- 8. Successful. Ongoing.
- 9. Publish the results in timely fashion.
- 9. 7 publications in print.
4 in press.
2 in preparation.

ACCOMPLISHMENTS OF THE PROJECT TO DATE

A. GEOGRAPHICAL : We can report a widespread zone or zones of crossdating for conifers from Kars on the eastern border of Turkey to Calabria in Italy, a distance east-west of 2270 kms., and from the Tyrol in Austria to the Troodos Mountains of Cyprus, a distance north-south of 1280 kms. We can also report a widespread zone within which oaks crossdate. Fifty- five forest sites are represented. The new extension to the west, however, deserves special mention.

In September, 1984 Dr. F. H. Schweingruber of the Swiss Federal Institute of Forestry Research sent us a 540-year chronology of ***Pinus leucodermis*** or Greybark pine from Monte Pollino in Calabria, Italy. This crossdates splendidly with our 725-year ***Pinus leucodermis*** chronology in the Pindus Mountains N of Metsovo and W of Grevena, Greece ($t = 12.48$, and the trend-coefficient or $w = 69.1\%$ for 540 years) (Kuniholm & Schweingruber, **Dendrochronologia 4**, forthcoming). Both these sets of trees crossdate, less spectacularly but nevertheless well, with the ***Picea abies*** at Obergurgl in the Oetztal, Tyrol, W of Innsbruck published by V. Siebenlist-Kerner last year in Dandrochronologia 2. The significance of this is that our zone of crossdating now extends to the Alps. Whether we can achieve satisfactory crossdating over or around that barrier remains to be seen.

B. ARCHAEOLOGICAL RESULTS : 1. The Provisional Aegean Oak Master Chronology (hereafter the **PAOM**) : The most important archaeological accomplishment of the project so far is probably the establishment of our Provisional Aegean Oak Master chronology (see the bar graph on page 416 of Kuniholm & Striker, 1983) which now extends

continuously from the present back to A. D. 1103 and tentatively to A. D. 896. Additional extensions could push it back to ca. A. D. 380.

B.2. EXTENSION OF THE PAOM FROM 1103 BACK TO 896

(continuous) : The extension to a 1058-year absolute chronology was accomplished in the spring of 1984. The key was a 239-year sequence from Astros, **Moni Loucou** which crossdates with a 1.59-year sequence from the Kariye Camii in Istanbul, the rafters of Hg. Paraskevi in Chalkis, a piece from Panaghia Chalkeon in Thessaloniki, and a set of eleven timbers from the ruined basilica of Hg. Achilleos at Prespa.

B.3. ADDITIONAL EXTENSIONS (not yet connected to the PAOM)

PAOM) : Another 400+years of oak chronologies are tentatively grouped as follows :

a. A 123-year sequence from eight timbers under the Deesis mosaic in the Room over the SW Vestibule of Hg. Sophia in Istanbul. If one accepts the published dating of the mosaic to the Reinstitution of the Images at the end of Iconoclasm, the ring-sequence should cover the period of ca. 700-822, allowing for missing sapwood.

b. A 152-year sequence from seven timbers in the nave arcade of Hg. **Eirene** in Istanbul (Kuniholm & Striker, 1977) which may be part of the repair after one of the major fires or earthquakes which damaged the building in the two centuries after its construction.

c. A 127-year sequence from twenty-seven timbers from the primary phase of Hg. Sophia. If one accepts the date given by Procopius for Justinian's construction of this building (532-537), the rings should cover the period of ca. 380.507, allowing for missing sapwood.

d. A 272-year sequence from the fortress towers of KütaHYA which fits with all of the above.

NOTE that these are not dendochronological dates but approximate placings, based on historical and archaeological evidence. The point of mentioning them at all is that with another 100 years or so of properly distributed samples, the PAOM could find itself unbroken from present back to ca. A. D. 380.

Even if subsequent refinements are made in it, the PAOM will always remain the basis for tree-ring dating in the region and the point

of departure for extending the absolute dendrochronology backward in time. The corollary to this is our proof of the exceptionally wide geographical applicability of our standard curve, which augurs especially well for the wide applicability of the method in the Aegean and Near East.

C. EARLIER FLOATING CHRONOLOGIES : We have a «bank» of measured wood and charcoal samples from Classical Lands extending from the present backward in time to ca. 2900 B. C. Our data base is unique, as we are now generally recognized among dendrochronologists, archaeologists, anthropologists, and art historians as the laboratory responsible for this part of the world. This recognition carries with it, on the one hand, the expectation that we will continue to carry on the responsibility of collecting, measuring, and analyzing all wood and charcoal samples from this region. On the other hand, it also underscores the premise with which we began our research a decade ago : that in time we would be able to provide exact tree-ring dates for that part of the world which is at the same time the most extensively archaeologically explored and where we have the oldest and most complete written record of man's activity.

It is impossible to say how long it will take us to connect elements of our floating chronology to one another and to the absolute chronology. But while there is an inevitable element of chance in this, we know from the base which we have already established and from the experience of research elsewhere that further intensive sampling will continue to fill these lacunae. And even before we have an absolute chronology for the Classical and earlier periods, we will be able to establish exact and meaningful chronologies between monuments and sites from the period.

D. OUR «DENDRO-ARCHAEOLOGICAL» APPROACH : In other research similar to ours in America and Europe, dendrochronological production and archaeological consumption are generally in the hands of collaborating but separate teams. Our enterprise is unique in that it has been designed from the start with appropriate reciprocity between objects chosen for their dendrochronological potential, on the one hand, and those with significant archaeological problems with potential dendrochronological solutions on the other. This «dendroarchaeological» approach has given us an exceptional payoff not only in terms of the speedy use of the data mentioned above but also in our ability to apply our standard curve to solving problems of chronology. Since we are in position to discuss and decide at the sampling site the significance of a particular sample, we have completely eliminated the grey area of misunderstanding between archaeologist and archaeometrist which accounts for so much wasted effort in similar undertakings by others.

E. THE CORNELL TREE-RING LABORATORY : By comparison to the laboratories at Arizona, Belfast, Hamburg, Stuttgart, and Birmensdorf, etc., the Cornell Laboratory is small. And yet our productivity both in quantity and quality compares favorably with laboratories several times our size. There are several reasons for this. First, since we established the laboratory later than most of the others, we could begin with second or third generation hard and software automation based on advice we received, and continue to receive, from the leading researchers in dendrochronological computerization. Secondly, thanks to Cornell's very progressive computer services department, we have benefited from continuous upgrading of computer facilities. In six years we have moved from manual recording of every tree-ring width to almost complete automation, reducing the analysis time for a given sample from days to minutes.

F. SERVICE FUNCTION AND FURTHER WORK IN TURKEY AND GREECE : Of necessity, we have for the most part until now limited our sampling and study to objects selected by us. This is the only way that we could control the quality of samples and deploy our limited resources in a systematic fashion. There have been exceptions. For example, we have been asked by a local director of antiquities to take samples from a building she already happened to be working on, which we willingly did even if it offered little for our immediate research objectives.

Now that we have an absolute chronology for the second millennium A. D., and the possibilities of dendrochronology have become more widely known among researchers in Turkey and Greece, requests that we study individual objects or groups of objects are increasing. We believe that it is our responsibility to respond to these within our means. An example is the survey of fortifications in west-Anatolian cities such as Iznik and İzmit (in addition to Kütahya, mentioned above) being conducted by Professor Clive Foss. He has identified some dozens of sample locations in the city walls dating from the 9th-13th centuries. Another is the shipwreck wood starting to emerge in quantity, both from the wrecks excavated by Professor George F. Bass (Kuniholm, 1982; Bass, 1985) and from the newly-established Greek Ephoreia of Underwater Archaeology. Another possibility might be the many pieces of wooden furniture from the Dardanos Tumulus, re-used many times from the fourth through the first centuries, B. C.

Last in this short narrative, but the main focus for the next three years, is the problem of prehistoric dates. The attempt to resolve these is what got the Aegean Dendrochronology Project started in the first

place (Kuniholm, 1977). The first Early Bronze Age chronology -from Demircihüyük- was last fall sent to Tübingen for publication (Korffmann, et al., forthcoming). Also last fall we were able to chainsaw a slice from the stump of the famous Lygos tree (under which Hera was allegedly born) in the Heraion on Samos.

Until more local laboratories are established, we feel responsible for the region. Moreover, this responsibility carries with it the obligation to process samples which might not necessarily be of special interest to us. This is indirectly very much in our own self-interest in that by being willing to appear annually and being willing to take on-free of charge-the processing of samples not directly related to our highest priorities, we open the door of access to material which may be absolutely essential to us.

The Aegean Dendrochronology Project is committed to the whole archaeological/anthropological story as told by the trees. Prehistorians may be interested in one part; art-historians may be interested in another part. And yet, one half does not make sense without the other. That is to say: the prehistorian, eager for absolute Eneolithic dates, may some day get them from us, but they will come via a continuous chain that runs from forest, to mosque, to church, to classical temple, to Iron Age megaron, to Bronze Age palace, and so forth. And we propose to do our best to fill in the missing links.

"Before 3000 B. C., we shall leave the determination of absolute chronology to the scientists."»

--- M. J. McLink in **Chronologies in Old World Archaeology**

REFERENCES

- Bass. G. F., "Bronze Age Shipwreck...," **National Geographic Magazine** (January. 1985).
- Eckstein, D., G. Wrobel, and R. W. Aniol, eds. **Dendrochronology and Archaeology in Europe: Proceedings of a Workshop** of the European Science Foundation, held in Hamburg April 28 - 30. 1982, (**Mitteilungen der Bundesforschungsanstalt fuer Forst - und Holzwirtschaft**) 141 (Oct. 1983).
- Fletcher. J., ed.. **Dendrochronology in Europe**. British Archaeological **Reports**, International Series 51 (Oxford 1978).
- Hollstein, E., **Mitteleuropaische Eichenchronologie**, Trierer Grabungen und **Forschungen**, Vol. 11 (Mainz, 1980)
- Kuniholm. P. I.. **Dendrochronology at Gordian and on the Anatolian Plateau**, Ph. D. thesis, **University of Pennsylvania**, (Philadelphia, 1977)

- Kuniholm, P. I., and C. L. Striker, «The Tie-Beam System in the Nave Arcade of St. Irene: Structure and Dendrochronology,» *Istanbuler Mitteilungen* Beiheft **18** 119771 229 - 240.
- Kuniholm, P. I., «Dating in the Aegean Region,» in Eckstein, et al., (1982).
- Kuniholm, P. I., «Dendrochronological Analysis of the Keel,» in G. F. Bass, et al., *Yassi Ada I: A Seventh-Century Byzantine Shipwreck.* (College Station, 1982).
- Kuniholm, P. I., and C. L. Striker. «Dendrochronological Investigations in the Aegean and Neighboring Regions, 1977 - 1982,» *Journal of Field Archaeology* **10: 4** (1983) 411 - 420.
- Kuniholm, P. I., and C. L. Striker, «Dendrochronological Investigations at St. Sophia: A Preliminary Report,» *Ayasofya Müzesi Yıllığı* (1985) 41-45.
- Siebenlist-Kerner, V., «Der Aufbau von Jahrringchronologien fuer Zirbelkiefer, Laerche und Fichte eines alpinen Hochgebirgsstandortes,» *Dendrochronologia* **2** (1984) 9 - 30.

DEĞİRMENTEPE VE ÇAYÖNÜ'NDEN ALINAN BAZI ÖRNEKLERİN ANALİZİ

Şahinde DEMİRÇİ *

GİRİŞ

Bilindiği gibi, arkeometrik analizler iki temel grubu ayrırlar; yaş təyini analizleri, kimyasal ve yapısal analizler. Kimyasal ve yapısal analizler grubuna giren çalıştığımızda bazı toprak, kil, siva, harç ve gıda maddesi örnekleri üzerinde çalışılmıştır. Çalışılan toprak, kil, siva ve gıda maddesi örnekleri Degirmentepe kurtarma kazısından, harç örneği ise Çayönü kazısından elde edilmiştir.

DENEYLER

I — Kalkolitik döneme ait toprak ve kil örnekleriyle analizlere başlanmıştır. Analizler x-ışınları difraksiyonu ve elementel analizler ile surdiiriilmektedir. Örnekler ve arkeolojik klasifikasyonları göyledir;

- 1 — D79, 13F (Külli toprak)
- 2 — D80, 13F (toprak, -3,28 m)
- 3 — D85 (4) (toprak, -6,50 m)
- 4 — D85 5A (kil ? -6,80 m)
- 5 — D85 5B (kil ? -6,80 m)
- 6 — D85 5C (kil ? -6,80 m)

Bunlardan son üç örnek kil olabileceği düşünülen ve daha ust düzeyden alınan toprak tabakasından farklı özelliklere olması beklenen bir omek grubudur.

A) X-IŞınları Difraksiyon Analizi

Bu analiz örneklerdeki kil mineralini ve diğer mineral türlerini belirlmek için yapıldı. Bu nedenle omekler on iglemelere tabi tutuldu (Jackson M. L. 1973). Amaç, kil minerallerinin belirlenmesini onleyici rol oynayan organik madde ve serbest demir oksitleri uzaklaştırmaktır. Ayrıca bu on iglemelere tabi tutulmadan Stoke's yasasına göre kil boyutun-

(*) Doç. Dr. Şahinde DEMİRÇİ ODTÜ Fen - 'Edebiyat Fak. Kimya Bölümü.
ANKARA

daki tanecikler ayrıldı. Bunun iquin 10 g toz halindeki ornek 800 mL suda suspansiyon haline getirildi, 4 saat sonra yüzeyden 5 cm aşağısına kadar ornek çözeltisi pipetle alındı 3000 rpm'de 20 dakika santrifujlenerek tanecikler çöktürüldü, 60°C de kurutulup analiz edildi.

B) Element Analizi

Toz haline getirilen ornekten bir miktar tartılıp 105°C de sabit tartıma getirildi. Bundan 1.000 g kadar duyarlı olarak tartılıp 400°C de sabit tartıma getirildi. Ağırlık farkından organik madde ve H₂O (+) miktarı tayin edildi. Sonra ornek Na₂CO₃ ile ergitilerek çözünürleştirildi (Black C. A. 1965). Çözünmeyen silisli kısım 110°C de hidrolchlorik asitte dehidrate edilerek daha da çözünmez hale getirildi. Sulandırılarak süzüldü. Süzgeç kağıdı içindekilerle yakılıp kul edildi, tartıldı, H₂SO₄ ve HF asidi ile buharlaştırılıp tartıldı. Ağırlık farkından % SiO₂ hesaplandı. Suzulerek elde edilen çözelti belli bir hacma tamamlandı ve element analizinde kullanıldı.

Toprak ya da kil örneğinin karakterize edilmesinde, yapıdaki değişimelerin belirlenmesinde özellikle iz elementlerinin miktarlarındaki değişimlerden yararlanılacağı düşünülmektedir. Hatta bu yolla mümkünse bir guruplaştırma yapıp yapamayacağımızı da anlamamızda yarar vardır. Esas elementler kullanılış formulleri ve genelde azalan yüzdeleme göre şöyle sıralanabilir;

SiO₂, Al₂O₃, Fe₂O₃, FeO, P₂O₅, CaO, MgO, Na₂O, K₂O, TiO₂, MnO₂.

Gruplandırma ve karakterizasyon yönünden iz elementleri önemlidir. Bunun için notron aktivasyon analizi (NAA) toprak ve kil analizleri de önemli bir yer tutar. Ancak NAA yanında, miktar genellikle az olan fakat her ornekte mutlaka bulunan Ti, Mn ve Fe elementlerinin de çok önemli olduğunu düşünerek çalışmalara başladık. Şu ana kadar Değirmençepe orneklerinde esas elementlerden Si nin, karakteristik element olarak Fe, Mn ve Ti nin yiizdelerini bulmaya çalıştık.

Miktari fazla olduğu iquin silisyum gravimetrik olarak tayin edildi.

Demir, Fe⁺² haline dönüştürüülüp komplekse alınarak kolorimetrik yolla tayin edildi.

Titanyum, hidrojen peroksitle kompleks oluşturup kolorimetrik olarak tayin edildi.

Manganez, permanganata kadar yükseltgenip yine kolorimetrik yöntemle tayin edildi. Ayrıca organik madde ve H₂O (+) yiizdeleri de tayin edilmigtir. Bunlardan organik madde miktarındaki değişmenin de karakterizasyonda önemli olduğu düşünülmektedir.

II — Siva Örneği: Degirmentepe kazisından çıkan ve demir çığına ait bir silonun çeper sivası (D85,17 E) analiz edilmeye başlandı. Siva üst üste iki tabaka halindeydi. Biiyik olasılıkla altakı sivanın üzerine yeni bir siva yapılmış olabilir. Sivanın dig kısmında ince bir koyu gri bolge altında parlak beyaz bolge, ikinci siva tabakasında yine en üstte koyu gri, altında beyaz bolge bunun da altında çeperden koparıldığı belirgin kerpiç bolge bulunmaktadır.

Analiz için üç yol izlenmigtir:

- A) İnce kesit analizi
- B) X - ışınları diffraksiyon analizi
- C) SEM analizi

A) İnce kesit analizi için ornekten 0,02-0,03 mm kalınlığında ince kesitler hazırlanarak tekstiirel yapısının belirlenmesine çalışıldı. Oldukça kırılan ve kolayca dağılan örnek önce sertlegtirildi. Bunun için ornek parçaları plastik bir sertlegtiriciye daldırılarak donduruldu. Buradan kesitler alındı. Kesitlerin dıştan içe doğru bütün tabakaları göstererek şekilde olmasına ozen gösterildi. Kesitler mikroskop camı üzerine yapıştırılıp inceltilerek petrografik mikroskopta Cross Nikol ile gozlendi.

B) Siva maddesinin bileğimini belirlemek iizere örneğin x - ışınları diffraksiyon spektrumu alındı. Bunun için en dıştaki tabaka kazınarak alındı, içteki beyaz kısımdan da örnek alındı agat havanda ince toz hâline getirildi; 105°C de kurutulup CuK α . X - ışınları ile analiz edildi. Tarama dakikada 1° olarak yapıldı.

C) Bu tur siva ve harç çalışmalarına bir başlangıç olmak iizere taneciklerin birbiriyle iligkilerini belirlemek için örneğin tarama elektron mikroskopuyla gözlenmesi (SEM) düşünüldü. Dıştan içe doğru alınan bir kesit metalik altınla kaplanıp iletken hale getirildi ve SEM ile 2000 X buyıltmede gozlendi.

III — Çayönü kazisından çıkan bir terazzoda (patika) bağlayıcı maddenin (çimento maddesi) ne olduğunu belirlemek üzere alınan örneğin analizine başlandı.

Analizler

- A) İnce kesit
- B) X - ışınları diffraksiyon yöntemi kullanılarak yapıldı. Bu analizler kısmen kalitatif analizle de desteklendi.
 - A) Ince kesitler ozellikle bağlayıcı materyali içerecek gekilde hazırlandı. Yine Cross Nikol ile gozlendi.

B) X - ışınları difraksiyon analizi; renkleri farklı gibi görünen kırmızıdan dikkatle kazınarak elde edilen üç ayrı örnek ile yapıldı (kırmızı renkli, kırmızı - gri arası ve gri renk örnekler) Elde edilen örnekler ince toz haline getirilip 105°C de kurutuldu, X - ışınları difraksiyon spektrumları alındı.

IV — Gıda Maddesi Örnekleri

Amaçlarımızdan birinin gıda maddesi analizleri olmasından ve bu yolda Ankara Frig Tumuluslarından çıkan gıda maddesinin analizi yapıldığından (Buluç S. 1985) Değirmençepe kazısında bize verilen, gıda maddesi örneği olabilecek örneklerle de çalışmaya başlandı. Bunlar;

1 — D80 17F : 64 nolu kaptan çıkan madde

2 — D85 13 1-IV/d-k(6)6 - 3.02 m. Kalkolitik döneme ait bir çakmak parçası üzerinde yapışık siyah renkli bir kalıntı

Gıda msddesi örneklerinin analizine organik madde ve H₂O (+) yüzdelerinin tayini ile başlandı. İlk örnek toprakla bir hayli karışık gibi görülmekteydi. 110°C de kurutulduğundan sonra 1.000 g kadar duyarlı olarak tartıldı 900°C de sabit tartıma kadar ısıtılarak organik madde ve H₂O (+) yüzdesi belirlendi. Daha sonra C, H, N analizi yakma yöntemi ile tayin edildi. Bunun için Hawlett packard 185 analizörü kullanıldı. Spektral analizi (IR ve UV) yapılarak proteininin bulunup bulunmadığına bakıldı.

İkinci örnek için kaba yapışmış siyah renkli kalıntı keskin bir jilette kazındı ve desikatorde muhafaza edildi. Miktan az olduğu için bu örnekle organik madde ve H₂O (+) yüzdesi tayin edilmeden doğrudan doğruya C, H, N analizi yapıldı. Spektral analiz yapılarak protein içeriği içermediği belirlendi.

DENEY SONUÇLARI

I — Toprak ve kil örnekleri

A) Toprak ve kil olduğu söylenen örneklerin x - ışınları analizi aynı sonuçları verdi. Buna göre örneklerin ana maddesinin kalsit (3.04, 2.29, 2.09, 1.91, 1.87, 1.60 pikleri) ve kuartz (3.34, 4.26, 2.28, 1.82, 1.44 pikleri) olduğu belirliidi. Kil minerallerinden Kaolinite ait olan pikler goruldu (7.11, 4.48, 3.56, 2.61, 2.44, 1.54 pikleri) sonugta dalia ust düzeyden alınan toprak örneği ile daha aşağıdan alınan kil örneklerinin aynı karakterde olduğunu ve toprak yapısının devam ettiğini söylemek mümkün görülmektedir.

B) Elementel analizi yapılan örnekler ve elde edilen sonuçlar Tabloda gösterilmiştir.

Örnek

No :	%MnO ₂	%TiO ₂	%FeO	%Fe ₂ O ₃	%SiO ₂	%Org+H ₂ O(+)
1	0.104	0.026	0.016	1.47	40.37	13.00
2	0.144	0.032	0.097	1.60	41.02	13.05
3	0.064	0.012	0.15	1.58	40.45	11.73
4	0.182	0.077	0.74	1.64	35.52	11.19
5	0.188	0.080	0.61	2.72	36.40	10.68
6	0.136	0.059	0.84	2.53	41.70	14.20

Sonuçta toprak türüne bağlı olarak yapılan elementlerin miktarlarında bir değişme görülmekle beraber bu konuda daha emin olmak için daha çok sayıda örnekle çalışmamıza devam etmemiz gerekmektedir.

II -A) Sıva örneğiyle yapılan ince kesit analizi beyaz kısmın kalsitçe zengin olduğunu ve az miktarda kil içerdiğini gri kısmın kilce daha zengin olduğunu opak tanecikler (Fe₂O₃) ve kalsit içerdığını göstermiştir.

B) Sıva örneğinin x - işinları analizi beyaz sıva maddesinin kalsit veya kireçtaşısı olduğunu (3.04, 2.09 pikleri) gri kısmında kalsit yanında kuvartz da bulunduğu göstermiştir (3.34, 4.25, 2.28 pikleri). Buna göre Demir Çağından kalan çeper sıvasının kireç taşı olduğunu söyleyebiliriz.

C) Tarama elektron mikroskopuya iyi bir sonuç elde edilememiştir. Bu durum belkide örneğin gerekli derecede iletken hale gelmemiş olmasından ileri gelmiştir.

III -A) Çayönü terazzo örneğinde bağlayıcının analizi için yapılan ince kesitlerin gözlemi qimento maddesinin esas olarak kireç taşı olduğunu rengine bağlı olarak değişik oranda Fe₂O₃ ve az miktarda kuartz içerdığını göstermiştir. Bu turlu kireç taşının Jeoloji dilinde kireç çamuru denilen bir madde olduğu söylenebilir.

X - işinları difraksiyon analizi rengi ne olursa olsun ana maddenin kalsit olduğunu göstermiştir.

IV — Devam etmekte olan gıda maddesi kalıntılarının C, H, N analizi sonuçları aşağıdaki tabloda görüldüğü gibidir.

Örnek	%C±0.3	%H±0.3	%-N±0.3
1 — D80 175	13.05	1.32	0.13
2 — D85 13j-1-IV/d-k	4.1	1.3	0.4

Spektral analiz ilk örneğin az miktarda ikincinin daha fazla protein içerdığını göstermektir. flk ornekle yapılan 900°C de sabit tartıma getirilmesi analizi % organik madde ve H₂O(+) değerini 17.4 olarak vermiştir. Buda C, H, N analizinde elde edilen % C miktariyla oldukça uyum içinde görülmektedir.

KAYNAKLAR :

Jackson, M. L. 1973, Soil Chemical Analysis

Black, C. A. 1965, Methods of Soil Analysis

Buluç Sevim: Bazı Frig Malzemesine Uygulanan Kimyasal ve Fiziksel Analizlerin İlginç Sonuçlarından Örnekler. Sayfa 69, Arkeometri Sonuçları Toplantısı, Mayıs 1985

İKİZTEPE KERAMİK VE KİLLERİNİN ESER ELEMENT ANALİZİ

Olcay BİRGÜL *

Giriş

İkiztepe'de kazilar 1974 yılında Prof. Dr. U. B. Alkim tarafından başlatılmıştır. Bu çalışma, 1974 yılı ile Prof. Dr. U. B. Alkim'in ölümüne (1981) kadar geçen sürede bulunmuş olan keramik örneklerin analiz sonuçlarını içermektedir. Kimyasal ve istatistik analizler McGill Üniversitesi (Kanada) Kimya Bölümünde Prof. Dr. L. Yaffe'nin araştırma grubu ile ortak çalışma sonucu gerçekleştirilmiştir ve Journal of Field Archaeology mecmuasında yayınlanacaktır.

İkiztepe Samsun İlinin 68 km ve Bafra ilçesinin 7 km kuzeybatisında dort yükseltiden oluşan bir huyuk yerleşmesidir. Bu yükseltiler 250 x 350 metrelük bir alan içerisinde olup, kazayı yapan arkeologlar tarafından ikiztepe I, II, III ve IV olarak numaralanmıştır. 1981 yılına kadar sadece İkiztepe I ve II'de kazı yapılmıştır.

İkiztepe I

Ovadan yüksekliği 29.42 m olan İkiztepe I, dort tepeden en yüksek olanıdır. En geç yapı Hellenistik devre tarihlenmiş bir mezardır. Tarihlemede keramik tipi, karakteristik mimari ve üzerinde Kral Lysimachos'un ismi olan altın bir para ve bulunan çanak çömlek yardımcı olmuştur. Tepe erozyon ve çift surme sonucu toprak taşınmasından etkilenmiş olmakla beraber esas yerleşmeyi oluşturan birinci tabakadaki buluntular Orta Tunç Çağında (Kat I) yoğun bir yerleşmenin var olduğunu göstermektedir. Bu tabakada altı evre görülmüştür. Bunların hepsi Geçiş Çağının dediğimiz veya B. Alkim tarafından Er-Hitit adı verilen bir döneme aittir.

Birinci tabakanın altında buluntular yardımıyla İlk Tunç Çağı III dönemine tarihlenebilen büyük bir mezarlık vardır. Mezarlığın altında devam eden kazilar iki ayrı yapılar grubunun varlığını göstermektedir.

(*) Doç. Dr. Olcay BİRGÜL, Orta Doğu Teknik Üniversitesi Fen-Edebiyat Fakültesi - Kimya Bölümü - ANKARA

Bu tabaka (Kat II) henuz tamamiyle açılmamış olmakla beraber bulutlardan İlk Tunç Çağı II'ye tarihlenebileceği anlaşılmaktadır.

Bu tabakanın altında iki yerde ana toprağa ulaşılmıştır. Bununla beraber İkiztepe I çok büyük bir tepe olduğundan henuz kazı yapılmamış yerlerde daha eski yerlegmelerin bulunması da mümkün kundur.

İkiztepe II

İkiztepe II, İkiztepe I'in kuzeyinde ovadan 22.54 m yükseklikte bir tepedir. Bu da İkiztepe I'de olduğu gibi erozyon ve çift surme sonucu toprak agınmasından büyük ölçüde etkilenmiştir. En üst iki yerlegim katı İlk Tunç Çağı II'nin başına veya İlk Tunç Çağı I'in sonuna tarihlenmiştir. Bunların altında beg evreli bir İlk Tunç Çağı I, daha altta da altı evreli Kalkolitik Kat III bir yerlegme açığa çıkarılmış ve daha sonra ana toprağa ulaşmıştır.

İkiztepe I ve İkiztepe II'de bulunan çanak çömleğin mikroskopik incelenmesi sonucu sekiz keramik hamur çeşidi saptanmıştır. Bunlardan 1'den 6 numaraya kadar olan harnurlar İkiztepe I'de, 4, 6, 7 ve 8 numaralı hamurlar da İkiztepe II'de bulunmuştur. Hamurların etrafı bir tanıtımı aşağıda verilmüştür.

Hamur No. 1 (hl), kırmızı, kırmızımsı ve kahverengi renkte olup mineral (kum veya tag) kataklıdır. Katkı maddeleri beyaz ve parlak parçacıklar olup, çoğu kez gözle görülmeyenler. Hamur sıkı bir dokuya sahiptir ve iyi yakılmıştır. Bu hamurla yapılmış olan biiitun keramik kaplar (büyük bir kup bile) çarkta bitirilmiştir. Kapların büyük bir çoğunluğu kendinden astarlı olmakla beraber kırmızı ve beyaz astarlı olanlar da vardır. Kendinden astarlı veya kırmızı astarlı kapların çoğu çok iyi perdehanmıştır. Bu hamurla çok sayıda Er-Hitit Dönemine ait ufak ve büyük kaplar yapılmıştır.

Hamur No. 2 (h2), kırmızı renkli, mineral ve bitki katkılı bir hamurdur. Kaplar elde yapılmış ve hl ilc yapılan kapların pişme şartlarında fırınlanmışlardır. Üçgen kesitli tcrs V şeklindeki kulplar, bu hamurla yapılan kapların da Er-Hitit dönemine ait olduğunu göstermektedir.

Hamur No. 3 (h3), kırmızı renkli, mineral, kavaklı ve bitki katkılı bir hamurdur. İlk Tunç Çağı döneminin hamuru olan hamur 6'ya benzer şekilde beraber, kaplarda görülen üçgen kesitli ters V şeklindeki kulplar ve pişirmede kullanılan fırın özelliği nedeniyle bu hamurun da Er-Hitit dönemine nit olduğu kabul edilmektedir.

Hamur No. 4 (h4), mineral ve bitki katkılı bir hamurdur ve İlk Tunç Çağı I'den Er-Hitit dönemine kadar kullanılmıştır. Kendinden as-

tarlı kaplar pişme sıcaklığına ve kullanılan fırın özelliğine bağlı olarak değişik renkler gösterirler. flk Tung Çağı I'de kapların içi ve dışı siyah. diğer devirlere ait kaplarda ise dig kısım siyah iç kısım ise kırmızı, kahverengi, bej ve gridir. (Munsell, 2.5 YR N 2.5/0=siyah, 2.5 YR N 3/0= çok koyu gri, 2.5 YR 4/4=kırmızımsı kahverengi, 5 YR 4/6=sarımsı kırmızı, 7.5 YR 7/2=pembemsi gri, bej, 10 R 4/6=kirmizi, 10 YR 5/6=sarımsı kahverengi, 10 YR 5/6=kirmizi, 10 YK 6/6=kahverengimsi sari). Butun kaplar elde yapılmış olup, büyük bir kısmı perdahlanmıştır. Bazları düz, bazıları ise desenlidir. Oluklar, yivler, oyuklar, beyaz dolgulu gentikler, ince beyaz bantlar ve siyah zemin üzerine geometrik şekiller desen olarak kullanılmıştır.

Hamur No. 5 (h5), hamur 1'e çok benzer. Kaplar elle yapılmıştır ve renkler hamur 4 ile yapılmış kapların renkleri gibidir. Şöyle ki hl tarzında hazırlanmış bir hamur, İlk Tung Çağı'na ozgu şartları olan fırnlarda pişirilmiştir. Bu hamurun kullanıldığı çok az sayıda parça bulunmaktadır ve bu hamur sadece Er-Hitit döneminde kullanılmıştır.

Hamur No. 6 (h6), mineral, bitki ve kavki katkılı bir hamurdur. İlk Tung Çağı'nın butun evrelerinde kullanılmıştır.

Hamur No. 7 (h7), gri-siyah, gri-kahverengi, siyah ve kahveren- ginin çeşitli tonlanni gösteren bir kamurdur. (Munsell renk skalası: 2.5 YR N 5/0=gri, 2.5 YR 2.5/0=siyah, 5 YR 5/3=kırmızımsı kahverengi, 7.5 YR 4/2=koyu kahverengi, 10 R 4/1 ve 10 R 3/1 koyu kırmızımsı gri). Son derecede iyi çalıṣılmış bir doku gösterir. Bu hamurla hazırlanmış kaplar kendinden astarlıdır, ancak yakma sıcaklığına bağlı olarak renkte bir takım farklılıklar gösterirler. Bazı kaplann yüzeyinde kabartma desenleri vardır. Bu hamurla yapılan kaplar Kalkolitik döneme aittirler.

Hamur No. 8 (h8), kırmızıdan kahverengine doğru değişen renklerde olan bir hamurdur. (Munsell: 2.5 YR 5/4=kırmızımsı kahverengi, 2.5 YR 6/6=açık kırmızı, 10 R 5/8=kirmizi). Mika katkılı olup, bu hamurla yapılan kaplar Kalkolitik tabakalardan çıkarılmıştır. Hamur sık bir yapı göstermez. İyi yakılmıştır ve kendinden astarlı kapların iç kısımlarında bir ot demeti ile duzeltildiklerini gösteren izler vardır. Kapların dış kısımları perdahlanmıştır.

Yukarıda da belirtildiği gibi esas itibariyle hl ve h5, h2 ve h4, h3 ve h6 hamur hazırlanışı açısından aynıdır. Ancak pişirilme şartlarındaki değişiklikten doğan farklılık nedeniyle değişik numara almışlardır.

İkiztepe'den alınan keramik ve killerin analizi sonucu aşağıdaki noktalara açıklık getirilmesi düşünülmüştür.

Ikiztepe II'de İlk Tunç I'den başlayarak, Ikiztepe I'de İlk Tunç II, III ve hatta Er-Hitit çağlarında kullanılan Hamur 4'un ilgi çekici bir durumu vardır. Hamur hazırlanışı aynı kalmakla beraber, değişik pişirme şartları sonucu elde edilen renklerde, kap formlarında ve bezeklerde farklılıklar vardır. Bu farklar kapların ait oldukları çağları ve kültür etkilerini yansıtmaktadır. Örneğin ilk Tunç I'de Ege ve Balkan keramikinden, daha sonraki çağlarda ise İç Anadolu, özellikle Alaca Höyük bölgesi kaplarından etkiler almışlardır. Ikiztepe'de şimdilik kadarki saptanan en erken yerlegme olan Kalkolitik Çağ'a ait kaplar (Hamur 7) da Ege ve Balkan keramigine özellikle bezek bakımından benzerlik göstermektedir. Acaba bu iki çağda aynı yerel kil mi kullanılmıştır, yoksa billegim bakımından aralarında fark var mıdır? Farklı hamur grupları kimyasal bileşim bakımından da farklı mıdır? Bolgedeki kil yatakları ile bulunan keramik parçalar arasında kimyasal bileşim bakımından bir benzerlik var mıdır?

Yontem

Keramikte eser element analizi için kullanılan X - ışını floresansı ve nötron aktivasyon analizi yöntemleri ve gruplandırımda kullanılan istatistik yöntemler bundan önceki yıllarda geniş bir şekilde verilmiştir (Birgul: 1977, 1979, 1980).

Ikiztepe kazısından 240 keramik ve kazi yerine yakın yerlerden alınan kil örnekler once X - ışını floresansı yöntemi ile analiz edildi. Tayin edilen elementler, potasyum (K), kalsiyum (Ca), titanyum (Ti), vanadyum (V), krom (Cr), mangan (Mn), demir (Fe), nikel (Ni), bakır (Cu), çinko (Zn), arsenik (As), kurşun (Pb), rubidyum (Rb) ve stronsiyum (Sr) dur. Ancak, her ornekte ölçülebilir miktarda bulunmaları nedeniyle sadece K, Ca, Ti, Fe ve Sr istatistik analizde kullanılabildi. İstatistik analiz sonucu elde edilen gruptara bakarak Notron Aktivasyon Analizi yöntemi ile analiz etmek üzere 1,4 ve 7 numaralı hamur gruplarında toplam 76 keramik örnek seçildi. Killerin ise tamami alındı. Bu yöntemle tayin edilen elementler, lantanyum (La), lutesyum (Lu), uranyum (U), cerium, sezyum (Cs), krom (Cr), kobalt (Co), demir (Fe), hafniyum (Hf), skandiyum (Sc) ve toryum (Th) dur. Cs, Cr ve Ce istatistik analizde kullanılmadı.

Analiz edilen keramik ve kil örneklerin gruplandırılması Notron Aktivasyon Analizi ile tayin edilen elementler kullanılarak yapıldı.

Keramik ve Kil Örneklerin Gruplandırılması

Bazı element miktarları bazı örneklerde ölçülebilir değerin altında olduğundan toplam 67 keramik örneğe istatistik analiz uygulanabildi.

Bu örneklerin ait oldukları devirler ve hamur numaraları **Tablo 1** de verilmüktür.

Tablo : 1. İstatistik Analizde Kullanılan Keramik Örnek Sayıları

Hamur No: Er-Hitit Eski Tunç Kalkolitik Bulunduğu Yer

1	9	—	—	İkiztepe I
4	5	— (2)	—	İkiztepe I
		18 (11)		İkiztepe II
7			14 (8)	İkiztepe II

Parantez içindeki sayılar hiç bir gruba sokulamamış örnek sayılarını göstermektedir.

İstatistik analiz sonunda keramik örnekleri gerek hamur numaralarına gerekse ait oldukları devirlere göre ayırtetmek mümkün olmuştur. Örneğin 1 numaralı hamurla hazırlanmış Er-Hitit örnekleri 4 numaralı hamurla hazırlanmış Er-Hitit örneklerinden, veya 4 numaralı hamurla hazırlanmış Er-Hitit örnekler yine 4 numaralı hamurla hazırlanmış Eski Tunç örneklerinden ayırdedilebilmektedir. 7 numaralı hamurla hazırlanmış Kalkolitik döneme ait parçalar ise kimyasal bileşim bakımından iki ayrı grup oluşturmaktadır.

Hamur hazırlanışına ve devirlere göre örnekleri gruplara ayırmak mümkün olmakla beraber, bütün bu gruplar kimyasal bileşim bakımından benzerlik gösteren gruppardır. Bu nedenle bütün bu parçaların yapımında aynı yerel kil yatağının kullanılmış olması gereklidir.

Kazı yerine yakın bölgelerden alınan 70 kilogramlık örnek analiz edilmiş, ancak killerde analiz edilen keramik örnekler arasında kimyasal bileşim açısından benzerlik bulunamamıştır. Keramik yapımında kullanılan katkı maddeleri nedeniyle bu tür benzerlikler bulmak pek mümkün olamamaktadır.

KAYNAKÇA

- BİRGÜL, O., DIKSIC, M., YAFFE, L: — «Activation Analysis of Turkish and Canadian Clays and Turkish Pottery», Journal of Radioanalytical Chemistry 1977 39. S. 45-62.
- BİRGÜL, O., DIKSIC, M., YAFFE, L: — «X-Ray Fluorescence Analysis of Turkish 1979 Clays and Pottery., Archaeometry 21. S. 203 - 213.
- BİRGÜL, O., DIKSIC, M., YAFFE, L: — «A Comparison of the Statistical Treatment 1980 of Results Using Concentration of Elements Determined by Neutron Activation and X-Ray Fluorescence Analysis Methods., Journal of Radioanalytical Chemistry 55, S. 101 - 109.

DEĞİRMENTEPE CURUF ANALİZLERİ III

Şeref KUNÇ*
Aytül EKER
Selim KAPUR
V. ÇAVUŞOĞLU

GİRİŞ

Degirmentepe Malatya'nın 24 km kadar kuzeydoğusunda Karakaya Baraj gölü sahasında olup 1978 - 1985 yılları arasında yürütülen kazılarda curuf ve benzeri malzemeler bulunmuştur (Esin, 1980, 1984). Metal endüstrisinin aydınlatılması açısından önemli olan curuf analizleri, buluntu yerinde karşılaşılacak metalin orijinal filizi ve iiretilen metal analizi yapıldığında anlam kazanmaktadır. Nitekim Tepecik ve Tulintepe kazılarda bulunan metal, filiz ve curuf analizleri yapılarak gruplandırma yapılmıştır (Ozbal 1982). Degirmentepe kazılarda çok az maden bulutusuna rastlanılmaktır. Bunlardan bazıları da Urartu dönemine aittir. Buna karşılık curuf olduğu tahmin edilen buluntular Kalkolitik devre aittir (Esin 1982) ve buluntu yerinde metal veya filize de rastlanılmıştır. 1979 - 80 yılları kazılarda 9 adet curuf bulunmug ve kristal yapı ve Fe, Cu içerikleri saptanmıştır (Kunç ve Ark, 1983). Fe içerikleri % 0.1 - 3.60 arasında değişirken Cu ancak ppm mertebesinde bulunmugtur. Kristal yapı i~eriklerise Diyopsit - Vollastonit veya Diyopsit - Kuvars karışımıdır. Daha sonra bulunan 22 örneğin kristal yapısından giderek curuflar sınıflandırılmıştır (Kunç ve Ark, 1985). Bu çalışmada, 22 örneğin Fe, Cu, çözünen Cave Mg miktarlanna ilaveten 5 yeni curufun hem kristal yapısı hem de elementer analizleri yapılmış ve toplam buluntular değerlendirilmigdir.

DENEYLER

Kristal yapı aydınlatılmasında X - ışını kırınım spektrometresi, elementer analizde ise atomik soğurma spektroskopik yöntemi uygulanmıştır. Uygulanan yöntemler hakkında daha önceki yaynlarda bilgi verilmiştir (Kunç ve Ark, 1983 - 1985).

(*) Prof. Dr. Şeref KUNÇ, Fırat Univ. Fen - Ed. Fak. Öğretim Üyesi — ELAZIG.
Aytül EKER, Ç. Ü. Fen - Ed. Fak. Teknik Personeli — ADANA.
Doç. Dr. Selim KAPUR, Ç. Ü. Ziraat Fak. Öğretim Üyesi — ADANA
Dr. V. ÇAVUŞOĞLU, Ç. Ü. Ziraat Fak. Araştırma Görevlisi — ADANA.

BULGULAR ve TARTIŞMA

Analizi yapılan buluntuların yerleri ve gözlemler Cizelge 1'de elemler analiz sonuçları Cizelge 2'de kristal yapılar ise Cizelge 3'de verilmektedir.

Degirmentepe'de çok az curuf ve metal buluntuya rastlanılması, bu eski yerlegim yerinde metal endüstrisinin olup olmadığı hakkında şüphelere yol açmaktadır. Genellikle madenciliğin geliştiği yerleşim yerlerinde, eskiden işletilmiş maden ocakları ve hemen yanında demirce zengin tonlarca curuf *yığıntıları* bulunmaktadır. Ikinci izabe iglemi ise ocaklara daha uzakta bulunan yerlegim yerlerinde yapılmaktadır. Burada rastlanılan curuflarda ise demir miktarı kısmen yüksek bakır miktarı ise % 1-5 olmaktadır ve izabe iglemi fırırlarda yapılmaktadır. Daha yüksek saflikta bakır elde etmek için üçüncü bir saflaştırma işlemi potalarda olmakta ve pota curufunda demir % 0.1-5 arasında bulunabilmektedir (Özbal, 1982). Cizelge 2 de görüldüğü gibi, Degirmentepe buluntularında Fe miktarı % 0.6-7 arasında bulunması, bunların biiyik bir ihtimalle potada son saflaştırma işleminden elde edildiğini gösterebilir. 11, 17, 27 ve 35 nolu örneklerde Cu miktan % 1.2 - 3 arasında olmasına rağmen diğer örneklerde ancak ppm seviyesindedir. Bu da ya çok iyi bir izabe yöntemi kullanarak curufa fazla bakırın geçmesinin önlendiği veya bunların curuf olup olmadığı hakkında guphelere yol açabilir. Kalsiyum ve Mağnezyum miktarlarının da az olması bu elementlerin büyük oranda silikatlar şeklinde olduğunu göstermektedir. Çinko içeriklerinde ppm düzeyinde olması bu curufların biiyik ihtimalle son saflaştırmadan elde edildiği sonucunu doğrulamaktadır. X-ışını kırımın spektroskopisiyle yapılan kristal analizleri, curuf olarak kabul edebilecegimiz örnekleri üç ana grupta sınıflandırmamızı sağlamıştır.

Birinci, diyopsit grubu, vollostanitli ve kuvarslı olmak üzere iki alt grubu ayırmaktadır. Ikinci, nefelinli grub ise diyopsit ve kuvarslı diye iki alt grupta toplanmaktadır. Üçüncü grup ise kuvarsın yalnız başına veya kalsit, forsterit gibi curuf olugumunda ham madden olarak kullanılan mineraleri içermektedir. 16 ve 18 nolu örnekler, camsı görünümünde ve amorf bir yapıya sahiptirler. Bunlar curuftan ziyade çanak-çömlek yapımda kullanan sır kalıntıları olabilir. Diğer örneklerin kristal yapıya göre sınıflandırılmaları Cizelge 4'de verilmektedir.

1. a grubuna dahil edilen 21 nolu örnekte diyopsit yerine kalsit ve 32, 33, 34, 35 nolu örneklerde ise kuvars bulunmaktadır. Bu örneklerin oluşumunda kalsit ve kuvarslann *aşırısı* kullanılmıştır. Vollastonit yüksek sıcaklıkta oluşan bir mineraldir ve bu curuflar muhtemelen 1200°C lik bir işlemede oluşmuşlardır. 1.b grubunda sıcaklık çok daha düşük olmalıdır (Kunç ve ark, 1983, 1985).

2 gruptaki curufların oluşumunda kullanılan hammadde, birinciden oldukça farklıdır ve sodyumca zengin mineraller içermektedir. Nefelin de yüksek sıcaklıkta oluşan bir mineraldir ve 2. a da gereğinden fazla kuvars ilave edilmesine karşın 2,8 de diyopsit bulunmaktadır.

3 grupta curuf sayılabilen örnekler 19 ve 36 nolular olabilir. Diğerleri curuf oluşturmada kullanıllan sadece kuvars veya beraberinde kalsit, forsterit, feldspot gibi mineraller içermektedir.

SONUÇLAR

Degirmentepe curuf bulunuşu olarak laboratuvarımıza gönderilen 36 örnekten, yapılan analizler sonucu iki tanesinin (16 ve 18 nolu örnekler) sıra olabileceği 3 ünün bakır cevheri olduğu (11, 17, 27 ve 35) ve altı tanesinin (3 grup) curuf hammaddesi olarak kullanıllan mineraller ve geriye kalan 24 örneğin curuf olduğu anlaşılmıştır. Curuf oluşumunda kullanıllan ana harnmadeye göre iki grubu ayırmak mümkün olmaktadır. Bu gruplar da kendi aralarında ikinci maddeye bağlı olarak iki alt grubu ayılmaktadır.

Element analiz sonuçlarından, bu curufların pota veya son saflaştırma aşamasında elde edilenlerden olabileceği anlaşılmıştır. Curufların büyük yiğinlar halinde olmaması da geniş çaplı bir maden üretim teknolojisinin bulunmadığını göstermektedir. Belki de, maden ocakları yakınında elde edilen yarı ham metal çubuklar (mat olarak tanımlanmakta), burada ufak pota veya fırnlarda son defa saflaştırıldıktan sonra şekillendirilmektedir. Günümüzde 12, 17 ve 18 nolu örnekler zenginleştirilerek kullanılabilmesine karşın eski çağlarda bu teknolojinin bilinmesi mümkün değildi, dolayısıyle buluntular arasında filize hıq rastlanılmamıştır diyebiliriz. Buna karşılık bazı curufların X-ışını kırınım spektroskopisiyle incelemesinde, yapıları içerisinde bakır filizi gözlenmiştir. Kuprit ($Cu Fe S_2$) filizi 11, 12, 21 ve 28'de, malahit 19 ve 20'de Cu_2O ise 13, 15, 17, 22, 44, 26, 27 ve 30 nolu omeklerde bulunmuştur.

TEŞEKKÜR

Degirmentepe kazısını titizlikle yurutuen ve örneklerini laboratuvarımıza gönderen Prof. Dr. Ufuk Esin'e ve bu çalışmada işbirliğini sağlayan TÜBİTAK Arkeometri Ünitesi yöneticilerine teşekkür ederiz.

Çizelge 1 Curuf buluntu yerleri ve gözlemler

Örnek No.	Buluntu Yeri	Gözlemler
1	D.80 18 F I mekan 15	Maden (Cu) curufu, gozenekli
2	D.80 18 F (3) L/g 480	Curuf, gozenekli
3	D.80 F (3) 1/g	Curuf , kalkolitik
4	D.80 18 FU11 (8)	Curuf
	I+74 148 fırın önü (87)	—
5	D.80 17F II/k 3.21 1	Curuf
6	D.80 17 F AG 3 42 3-63	Toprak karışık curuf
7	D.80 17 F R 3 34 4.18	<i>Curuf, demir çığı</i>
8	D.70 17 F2 kül çukuru 56+57	<i>Curuf</i> kalkolitik
9	D.81 17.6 Au mekan 12	Maden curufu, kalkolitik
10	D.79 18 F v/c H mekan fırın içi	İnce gozenekli kükürtlü
	D.82 16 F IX - X/i - k 244 nolu ITC çukuru, elekten	Curuf, maden analizi, ince gozenekli
12	D.79 18 F ₂ 1-11/c-d K mekanı	Curuf, kalkolitik
13	D.79 ISJ ₅ I-V/a-e 105 nolu çukur ile karışık	Demir çığı, curuf değil
	D.79 17 F III/b 20	Sır curufu, ortaçağ ince gozenekli mavimsi renkte
	D.82 17 H ₁ II/h 15	Curuf kalkolitik kükürtlü ince gozenekli mavimsi renkte
	D.79 18 F ₁₂ V/b 14	Demir çığı curuf değil fırın içi sıvası olabilir.
	D.80 17 F ₁ II/k	Curuf kalkolitik kükürt var, ince gozenekli
	D.80 18 F ₂ İ + 74 87 17 F VII/f 46 fırın onu	Curuf kalkolitik ince gozenekli mavimsi renkte
	D.79 17 F ₂ kül çukuru	Curuf, demirçığı iri gozenekli kükürtlü ve siyah
20	D.80 18 F I mekan	Curuf? kalkolitik kil curuf değil
21	D.79 18 F Y2	Curuf? demirçığı, curuf değil
22	D.80 17 F 3 R mekanı	Toprak karışık curuf kalkolitik, sari - menekşe renkli karışık mineral içerikli
	D.80 17 F ₃ AC mekan	Curuf, kalkolitik kükürtlü ince gozenekli mavimsi siyah karışık
24	D.79 17 F ₂ kil çukuru	Curuf demirçığı iri gozenekli ve kükürtlü
25	D.82 17 G BM mekanı içindeki fırın içinden	Curuf kalkolitik ince gozenekli ve kükürtlü
26	D.83 16 J CF mekanı dolgudan	Curuf
27	D.83 18 F VIII - X lek —3.58	Kalkolitik curuf olmayabilir
28	D.83 16 J ₃ CF mekanı	Bakır parçası yüzdürmeden curuf değil
29	D.83 16 J ₂ DB mekan	

30	D.83 16 J ₂ DB mekanı	Curuf kalkolitik iri gözenekli ve siyah renkli curuf olamayabilir.
31	D.83 16 J DB mekanı	Curuf iri gözenekli siyah renkli kalkolitik
32	D.84 17 G DH ₂₋₃ 18 izabe firmi içinden	Curuf parçası kalkolitik
33	D.85 18 G DU 2	Curuf, kalkolitik
34	D.85 17 E V-II/e-k Y4	Curuf maden, sıır, kükürtlü
35	T.71 2 - 195	Fe az, fazla ve iri gözenekli
36	T.71 M ₂ VIII/C (1)	Kükürtlü küçük gözenekli

Çizelge 2 Curuf buluntuları elementer analizi

Örnek No.	% Fe	% Ca	% Mg	Cu (ppm)	Zn (ppm)
1	—	0.26	—	—	—
2	1.61	0.30	—	20	50
3	1.10	0.26	—	20	45
4	1.62	0.21	—	20	50
5	3.60	0.24	—	20	65
6	2.50	0.22	—	25	60
7	2.60	0.24	—	30	—
8	3.56	0.25	—	100	—
9	3.00	0.21	—	80	60
10	1.20	0.012	0.55	94	24
11	3.04	0.46	0.75	%1.2	54
12	7.10	0.18	0.22	36	34
13	0.60	0.36	0.40	8	22
14	7.40	0.02	3.00	46	38
15	4.40'	0.08	0.44	172	124
16	2.20	0.16	4.80	210	74
17	0.60	0.50	7.0	% 20	54
18	2.90	0.20	7.0	82	68
19	2.24	0.04	0.4	46	14
20	2.40	0.24	1.0	70	28
21	2.70	0.80	1.0	40	38
22	2.90	0.18	0.72	90	76
23	2.84	0.18	0.75	80	24
24	2.80	0.64	1.10	62	72
25	6.20	0.006	0.06	90	14
26	2.88	0.22	7	50	a4
27	0.08	0.02	0.24	%3	20
28	4.8	0.50	1.2	160	110
29	7.0	0.7	1.02	210	80
30	2.9	0.14	0.33	100	24
31	3.50	0.56	1.50	170	56
32	3.50	0.56	1.20	22	74
33	1.44	0.18	0.88	26	54
34	3.8	0.66	0.08	40	90
35	2.84	0.12	0.708	%2	—
36	2.2	0.150	0.858	170	—

Çizelge 3 Curuf buluntuları kristal yapısı

Örnek No.	A n a B i l e s e n	N o t l a r
1	Diyopsit, vollastonit	—
2	Diyopsit, vollastonit	—
3	Diyopsit, vollastonit	—
4	Diyopsit, vollastonit	—
5	Diyopsit, Kuvars	—
6	Diyopsit, Kuvars	—
7	Diyopsit, Kuvars	—
8	Diyopsit, Kuvars	—
9	Diyopsit, Kuvars	—
10	Feldspar, Kuvars nefelin	—
11	Kalsit, Kuvars	Az miktar Cu FeS_2
12	Diyopsit, vollastonit	Kuvars
13	Kuvars, forsterit	Az miktar CuO
14	Nefelin, diyopsit	—
15	Nefelin, diyopsit	Az miktar Cu_2O
16	Amorf yapı	Az miktar kuvars diyopsit
17	Nefelin, kuvars	Az miktar Cu_2O
18	Amorf yapı	Az miktar kuvars
19	Kalsit; Kuvars	Az miktar $\text{Cu}_2(\text{OH})_3$
20	Kalsit, vollastonit	Az miktar $\text{Cu}_2(\text{OH})_2\text{CO}_3$
21	Kalsit, vollastonit	CuFeS_2 , az miktar
22	Kuvars	Az miktar Cu, O
23	Diyopsit, vollastonit	Kalsit
24	Nefelin, kuvars	Cu_2O az miktar
25	Diyopsit, kuvars	Kalsit
26	Diyopsit, kuvars	Cu_2O az miktar
27	Nefelin, kuvars	Cu_2O az miktar
28	Kalsit, kuvars	CuFeS_2
29	—	Diyopsit, FeS , Cu_2O
30	Nefelin, diyopsit	Cu_2O
31	Diyopsit, kalsit	—
32	Vollastonit, kuvars	Az miktar dolomit, forsterit feldspat
33	Vollastonit, kuvars	Vollastonit, oranı fazla yüksek sıcaklık oluşumu
34	Vollastonit, kuvars	—
35	Vollastonit, kuvars	—
36	Feldspat, kuvars	Az miktar forsterit

Çizelge 4 Kristal yapılarına göre curufların sınıflandırılması

G r u b u

Ö r n e k N o :

1.a	Diyopsit - vollastonit	1, 2, 3, 4, 12, 21, 23, 32, 33, 34, 35
1.b	Diyopsit - kuvars	5, 6, 7, 8, 9, 25, 26, 31
2.a	Nefelin - kuvars	10, 17, 24, 27
2.b	Nefelin - diyopsit	14, 15, 30
3	Kuvars	11, 13, 19, 22, 28, 36

KAYNAKLAR

- ESİN, Ufuk, 1986 «Tepecik, Tülindepe, Degirmentepe kazıları» TÜBİTAK Yayınları No: 591, 68 (1980).
- ESİN, Ufuk 1982 «Arkeometri açısından Degirmentepe (Malatya) kazıları» TÜBİTAK Yayınları No: 566, 141 (1983).
- ESİN, Ufuk 1984 «Değirmentepe (Malatya) kurtarma kazısı 1983 yılı raporu» VI. Kazı sonuçları Toplantısı Bildiriler T. C. Kültür ve Turizm Bakanlığı Eski Eserler ve Müzeler Genel Md. Yayımları, 11 (1984).
- KUNC, Ş. ve Ark. 1983 «Değirmentepe Curuf Buluntu Analizi» TÜBİTAK Yayınları No: 592, 133 (1984).
- KUNC, Ş. ve Ark. 1985 «Değirmentepe Curuf buluntu analizi II» TÜBİTAK Arkeometri Ünitesi VI. Kollokiyumu 26-30 Mayıs 1983 İstanbul.
- ÖZBAL, H. 1982 «Tepecik ve Tülindepe Metal, Filiz ve Curuf Analizleri Sonuçları» TÜBİTAK Yayınları No: 566, 203 (1983).

TEPECİK VE TÜLİNTEPE'YE (ALTINOVA · ELÂZIĞ) AİT BAZİ METAL VE CÜRUF ANALİZLERİ

Ufuk ESİN *

1. GİRİŞ

Istanbul Üniversitesi Prehistorya Anabilim Dalı öğretim eleman ve öğrencileri tarafından bugiinku Keban Baraj Golu'nun Altınova-Elazığ kesiminde 1968-74 yıllarında Tepecik höyükünde, 1971-74 yılları arasında da Tülindepe'de kurtarma kazaları yapılmıştır¹. Kazilar ODTÜ Keban Projesinin mali desteği ve yardımıyla gerçekleştirilebilmiştir. Bugiin her ikisi de Keban Baraj Gölü'nün suları ile örtülen höyükler, birbirlerinden kuş uçuşumu yaklaşık 3.5 km. uzaklıktaydalar.

Tepecik'te Son Neolitik'ten Demir Çağı başlarına kadar süren bir kültür sıra düzenine rastlanmıştır. İlk Demir Çağı'ndan sonra Tepecik terk edilmiş ve daha sonra Orta Çağ'ın sonlarında burada yeniden yerlesmiştir.

Eski Elazığ-Bingöl karayolunun hemen batı kenannda yer almış olan Tiilintepe ise kurtarma kazalarının başlamasından once 1967 yılında bir muteahhit qirket tarafından yol diizlemine kadar yok edilmiştir. Bu yüzden Tulintepe'de ancak ilk Tunç Çağı I-II'ye ait çevre duvarının taş temelleri yer yer bulunmuş, gene aynı döneme ait bir taş kuyu ele geçmiştir. Tulintepe'de esas olarak Kalkolitik Çağa ait tabakalar geniş çapta kazılarak gün ışığına çıkarılmıştır. •

Her iki kazı yerinde bulunan maden buluntuların sayısı fazla değildir. Ancak bunların yanında bakır cürufu, filizleri ile külçelerin varlığı, bakır ergitilmesinde kullanıldığı sanılan bazı fırınların rastlanılışı (Resim : 1), az sayıda da olsa pota ve kalıpların ele geçmiş olması, Tülindepe

(*) Prof. Dr. Ufuk ESİN, İ. Ü. Edebiyat Fakültesi, Prehistorya Anabilim Dalı, FEN/PTT/İSTANBUL.

(1) Tepecik ve Tülindepe Kazaları için bk. Esin 1970 a-b, 1971, 1972 a-b, 1974 a-b, 1975 a-b, 1976 a-c. 1979 a-o, 1981, 1982 a-c. 1984; Esin-Arsebük 1974 a-b.

ve Tepecik'in Kalkolitik'ten Orta Çağa kadar geçen uzun zaman süresi içindeki maden endüstrilerini oldukça aydınlatacak niteliktir².

Bakır ciirufu, filizleri, kulqeleri ve bakır/tunç metal buluntulardan alınan örnekler genelde «Atomik soğurma spektrometresia ile analiz edilmişler, özellikle metal buluntulara (Cizelge 1. No. 2, 6-8) ayrıca metallografik, kuantitatif mikroprob yöntemleri de uygulanmıştır. Analizler TÜBİTAK Arkeometri Ünitesi tiyelerinden Boğaziçi Üniversitesiinden Doç. Dr. Hadi Özbal ve İstanbul Teknik Üniversitesiinden Dr. Nazım Bozkurt ve Doç. Dr. Emel Geçkinli tarafından yapılmıştır³ (Cizelge 1-3).

2. ANALİZ SONUÇLARININ YORUMU VE TARTIŞMA (Cizelge 1-3)

Analiz sonuçlan eser elementleri bakımından incelendiginde, **Tülin-tepe İlk ve Son Kalkolitiğine/İlk Tunç Çağı I-II'ye** ((Cizelge 2, No. 9, 12-13)⁴ ve Tepecik Son Kalkolitiğine ait (Cizelge 2, No. 15-17) bazı cüruf örnekleri, içlerindeki Zn (çinko) oranının yüksekliği ile belirlenmektedir. Tepecik'de höyükün doğu terasında 10 R-10 S akmalarında, Orta Tunç Çağına (Hitit Devrine) tarihlenen, sonradan bozulmuş bir fırın bulunmaktadır (Resim : 1)⁵. Fırın, etrafi taşlarla qevrili, sığ bir çukur şeklindedir. Tabanı sertleştirilmiş topraktandır. Finn yoğun yangın izleri taşımaktadır. Fırın çukuru yaklaşık 1.50x0.80 m. boyutlarında, ca. 0.35 m. derin-

(2) Bk. Esin 1976 c'de Tf. 1, a Tepecik, Pota, Kalkolitik; Tf. 1, b Tülin-tepe, taş pota, Son Kalkolitik; Tf. 1, c Tülin-tepe, topuz, hematit, Kalkolitik; Tf. 1, d Tepecik, mızrak kalibi, flk Tunç Çağı I-II; Tf. 2, a Tepecik, iğne, İlk Tunç Çağı III, Tf. 2, b-e, h, Tepecik, iğne ve bizler. Son Kalkolitik; Tf. 2 f, Tepecik biz, İlk Tunç Çağı II, Tf. 2, g, Tepecik, kama, İlk Tunç Çağı III. (Bu bildiri baskıya girerken, kongre sekreterliğince yeniden IBM'le yazılmıştır. Maalesef bu yeden yazılma sırasında gerek, metin içinde, gerek bibliyografyanın veriliş şeklinde ve gerekse levhaların açıklamalarında karışıklar olmug ve birçok baskı hataları yapılmıştır. Manuskript yayınlanmadan önce tarafimdan kontrol edilemediği için bu hatalar düzeltilememiştir.); Esin 1984, s. 98, Resim : 12. s. 102. Resim : 21.

(3) Özbal 1983, Bozkurt, Harmankaya, Geçkinli 1986, S. 40-41'de yer alan iğne İlk Tunç Çağı I-II'ye tarihlenen bir tabakada bulunmuştur.

(4) Cizelge 1, No. 12 ve 13'de verilen cüruf örnekleri flk Tunç Çağı I-II'ye tarihlenen taş kuyuya atılmış olarak ele geçmiştir ibk. Esin 1984, s. 102. Resim : 19). Ancak kuyunun hemen güneybatısında Son Kalkolitiğe ait bir fırın ve onun hemen yanında bir taş pota bulunmuştur (Esin 1984, 102. Resim : 20 ve 21). Fırın büyük olasılıkla bakır ergilmesinde kullanılmıştır. Çünkü içinde ve yanlarında çeşitli bakır cürufu parçaları ile karşılaşılmıştır. Bu cüruflardan bir kısmının, sonradan fırının hemen yakınında açılan ilk Tunç Çağı kuyusuna atıldığı sanılmaktadır. Bu yiizden kuyuda bulunan cüruflar Cizelge 2'de Son Kalkolitik/İlk Tunç Çağı I-II'ye ait olarak gösterilmiştir.

(5) Krş. Esin 1974 b, lev. 97.

ligindedir. Fırının hemen doğusunda, Cizelge 1, No. 3 ve No. 4'de analiz sonuçları verilen filiz parçaları bulunmaktadır. Bunlardan Cizelge 1, No. 4'de gösterilen filizlerin içinde ayrıca bir külçe («damla/«prill») analiz sırasında Özbal tarafından saptanmıştır (Cizelge 1, No. 5). Gerek filiz, gerekse külçenin (damlanın) içindeki Zn (çinko) miktarları da yukarıda söz konusu edilen cürüflarda olduğu gibi oldukça yüksektir. Bu filiz, külçe ve cürüf vrneklerinin analiz sonuçları birbirleri ile karşılaştırıldıklarında bakır kaynağı açısından bir ipucu verecek nitelikte oldukları söylenebilir. Büyük bir olasılıkla Orta Tunç Çağında, Hittit Kultur döneminde yararlanılan filiuin (Cizelge 1, No. 4) olduğu bakır yatağı ile, ergitme sonucu oluşan Kalkolitik ve Son Kalkolitik/İlk Tunç Çağı I-II'ye ait cürüflarda (Cizelge 2, No. 9, 12-13, 15-17) kullanılan bakır filizleri ya aynı kaynaktan, ya da benzer bir yataktan çıkarılmış oldukları izlenimini vermektedirler.

Ayrıca, gerek Tulintepe, gerekse Tepecik cürüflarında, genel olarak yiísek oranlarda Fe'in (demirin) yanında, gene oldukça yiísek miktarда bakır (Cizelge 2, No. 9-10, 12-18) bulunmaktadır. Bu durum ergitmenin çok iyi yapılmadığına ve cürüflarda hâlâ bakır «matte»nin varlığına işaret edebilir. Buna karşılık, gene Tepecik Kalkolitigine ait bir bakır cürüfuörneğinde (Cizelge 2, No. 11) hem demir, hem bakır yüzdesi çok düşüktür. Bu örnek, daha çok Değirmenetepe Kalkolitik Obeyd evresi Cürüf örnekleri ile benzerlik göstermektedir⁶. Bu büyük olasılıkla Tepecik'in cürüförneğinde de, Değirmenetepe'de olduğu gibi, ergitme sıcaklığı 1200°C'a ulaşmış, ya da ikinci bir zenginleştirme igleminden sonra ergitme tamamlanmıştır⁷.

Tepecik'de Hittit Devrine ait fırının yakınında bulunan 2. filizin (Cizelge 1, No. 3) içinde ise oldukça yiísek oranlarda As (arsenik) ve Sn (kalay) izlenmektedir. Bu durum, Tepecik'de, Zn'lu (çinkolu) filizin geldiği bakır yatağından başka bir kaynaktan da yararlanılmış olduğu kanısını vermektedir. Alişar, Beycesultan, Kusura, Kültepe, Mersin, Tarsus gibi kazı yerlerine ait metal buluntuların bazlarında da gene As (arsenik) ve Sn (kalay)'ın birlikte kullanıldığı gösteren analiz sonuçları ile karşılaşılmaktadır⁸. Buna göre Anadolu'da Tepecik'de ele geçen filizin geldiği yatağa benzer ve Cu-As-Sn içeren başka yatakların da varlığı soz konusudur. Özellikle, bu durumla, genelde gerçek tuncun ($Cu+Sn$) kullanılmadığı, ya da seyrek olarak tunç örneklerine rastlanan buluntu yerlerinde karşılaşılması ilginçtir. Çünkü, büyük bir olasılıkla, filizde doğal olarak bulunan oldukça yiísek oranlardaki kalay ve arsenik, metal bu-

(6) Krş. Kunç et al. 1984; Esin 1986; Özbal 1988.

(7) Kunç et al. 1984, s. 136

(8) Esin 1969, s. 124-133, 136-141, 144-146.

luntunun yapımı sırasında, teknik açıdan istenen kaliteye erişebilmesini sağlamış olmalıdır.

Gene Tepecik'de Demir Çağı ile Orta Çağa ait iki iğnede (Cizelge 1, No. 6-7) gözlenen kalay, bu dönemlerde tunç yapımının denendiğine kanıtlık etmektedir. Ancak kalayın Cizelge 1, No. 3'deki filizin ait olduğu aynı yataktan gelen filizlerden elde edilmiş edilmediği sorunu, analiz sonuçları ile tam açıklanamamaktadır. Buna rağmen filizden külçe elde edilirken ergitme sırasında yiísek orandaki arseniğin kısmen buharlaşarak uçabileceði, kısmen de cürufa geçebileceði unutulmamalıdır. Gene aynı filizdeki oldukça yüksek arsenik oranı, Doğu Anadolu'daki doğal bakır yatakları dışındaki yataklarda, bu tip filizlerin bulunabileceðine işaret etse gerektir.

Tepecik höyüðünün güney terasında 14 N açısından ele geçen ve İlk Tunç Çağı I-II'ye tarihlenebilen bir külçe parçasının içinde ise yüksek oranda arsenik ile nikelle rastlanmıştır (Cizelge 1, No. 1). Ergitme sonucu elde edilen bu külçenin filiz yatağı da herhalde Cizelge 1 No. 3 ve 4'deki filizlerin yatağından farklı bir kaynak olmalıdır. Cizelge 1, No. 1'deki külçeye eser element yönünden en yakın örnek ise Tepecik'de höyüðün tepe düzliğinde 10 K açısından gün ışığına çıkarılan ve İlk Tunç Çağı III'e tarihlenen keskidir (Cizelge 1, No. 2). Keskinin içindeki sülfür miktar % 20'ye yakındır. Bu durum, keskinin yapımında kullanılan bakır filizinin ya kalkopirit turiinde olduğunu, ya da ergitme sırasında kavurma işleminde FeS'lü bir ergiticiden («flux» dan) yararlanıldığını gösterbilir. Ancak gerek külçedeki, gerekse keskideki nikelin bakırla tam bir ilişkisi, bağlantısı yoktur. Nikel daha çok ergitme yapılmırken «demir-ergitici («flux») ile bakır kangabilimektedir. Eğer nikel ergitme sırasında Tepecik külçesine karışmışsa, o zaman külçenin, ya arsenik miktar Eazla bir filizden elde edildiği, ya da külçeye bilinçli olarak arsenik katıldığı söylenebilir. Bu da ancak külçenin bir arsenik-tuncu olarak yapmak istenmesi ile açıklanabilir. Eğer bu ikinci görüş söz konusu ise, Tepecik'de İlk Tunç Çağı'nın başlarında arsenik-tuncu olacak alaþımlardan külçe yapımına geçilmiş demektir. Malatya-Arslantepe kazılannya VI. A tabakası silâhlarında kullanılan arsenikli-bakır alaþımları hatırlanacak olursa, bu silâhların da ya Tepecik külçesinin benzeri külçelerden, ya da Tepecik külçesinin elde edilmesinde kullanılan yataktan çıkarılan filizlerden yararlanılarak yapılmış olabilecekleri önerilebilir⁹.

Tepecik Kalkolitiğine ait bir kurşun filizinin (Cizelge 3, No. 20) ise, analiz sonucunda galena olduğu anlaþılmıştır. Bu durum, Tepecik'de Kalkolitik'ten itibaren bakır yanında kurşundan da yararlanıldığını gös-

(9) Bk. Caneva, Frangipane, Palmieri 1985, s. 119.

teren bir kanıt oluşturmaktadır. Aynı filizin izotop analizleri tamamlanlığında, bunun Doğu Anadolu'daki hangi kaynaktan çıkarıldığı sorunu büyük bir olasılıkla aydınlanabilecektir.

3. SONUÇ

Eser elementlerine göre Tiilintepe ve Tepecik'e ait Kalkolitik ve Son Kalkolitik/İlk Tunç Çağ I-II bakır ciuruflarından (Cizelge 2, No. 9, 13. 15-17) bazı örnekler içlerindeki çinko oranlarının yükseliği ile belirlenirler. Tiiliitepe'de İlk Kalkolitik ve Son Kalkolitik/İlk Tunç Çağ I-II'ye ait ciuruflarda ise daha düşük miktarlarda qinko, buna karşılık arseniğin varlığı çarpıcıdır (Cizelge 2, No. 10, 12). Diğer yandan gene Tepecik ve Tülinitepe'den Kalkolitik, Orta Tunç Çağ I ve Orta Çağ'a ait başka bir grupta ise, demir dışında, hemen hemen bütün eser elementlerin yiizde miktarları azdır (Cizelge 2, No. 14, 18, 19). Tepecik Kalkolitigine ait bir başka bakır cürüfunun içindeki eser elementler ise (Cizelge 2, No. 11) Değirmentepe cürüfları ile karşılaştırılabilirler ve biiyik bir olasılıkla her iki buluntu yerindeki bu benzer ciuruflar aynı yöntemle yapılan ergitme sonucu geriye kalan artıklardır¹⁰.

Tepecik ve Tiilintepe cürüfları içlerindeki eser elementler yönünden böylece belki qinkolu, çinko-arsenikli ve eser elementleri çok düşük olan cürüflar şeklinde gruplandırılabilir.

Yalnızca Orta Tunç Çağına, Hittit Devrine ait olan bakır filizleri ise (Cizelge 1, No. 3-4) ayrı yataklardan geldikleri izlenimini bırakmaktadır. Bunlardan biri iqidindeki arsenik (As) ve kalay (Sn) oranlarının fazlığı (Cizelge 1, No. 3), diğerleri ise (Cizelge 1, No. 4) çinko (Zn) yüzdesinin oldukça yüksek olması ile belirlenmektedir. Bu ikinci filiin çinkolu cürüf grubu ile ilişkisinin olabileceği önerilebilir.

Bakır külçeleri olarak tanımlanabilen iki örnek de Tepecik'e aittir. Biri İlk Tunç Çağ I-II'ye (Cizelge 1, No. 1), diğer ise (Cizelge 1, No. 5) Orta Tunç Çağ I, Hittit Devrine aittir. Külçelerden eskisi, belki nikelli - arsenik - tuncu (?) olarak tanımlanabilir (Ni-As-Cu). Diğer ise, gene Hittit Devrine ait olan qinkolu filizin (Cizelge 1, No. 4) içinde bulunan bir «damla» («prill») külcedir. «Damla» külçenin, gene içinde bulunduğu çinkolu bakır filizi gibi, yatak açısından qinkolu cürüflarla bağlantısı olduğu düşünülebilir.

Analiz edilen diğer bakır buluntuların tümü Tepecik'tendir. Bundan bir iğne İlk Tunç Çağ I-II'ye (Cizelge 1, No. 6), bir kalem/keski İlk Tunç Çağ III'e (Cizelge 1, No. 2), bir başka iğne Demir Çağ'ına (Çi-

(10) Ek. burada dip not 6 ve 7.

zelge 1, No. 7) ve bir diğer başsız iğne ise Orta Çağa (Çizelge 1, No. 8) aittir. İlk Tunç Çağı I-II'ye ait olan iğne bakırdandır. Kalem/Keski arsenikli bakırdan yapıldığı sonucunu vermektedir. Diğer iki iğnenin analizleri ise, tam başarıyla ulaşılmamakla birlikte, içlerindeki kalay yüzdeleri gözönüne alınınca, tuncun denendiğini yansımaktadır (Çizelge 1, No. 7-8).

Ayrıca Tepecik galena örneğinin (Çizelge 3, No. 20), izotop analizi tamamlandıgında, Doğu Anadolu'da Kaikolitik'ten itibaren, ca. M. Ö. 5. binyıldan bu yana hangi kurşun yatağının kullanılmış olduğunu açıklayabilmesi açısından önemi büyütür.

Bakır filizlerinin ergitilmesi ile elde edilen tarihoncesi metal buluntuların eser elementleri arasında bulunan gümüş (Ag) ve kurşunun (Pb) bugün artık izotop analizleri de yapılmaktadır. Bu bakımından özellikle bakır/tunç metal buluntularla, ait olabilecekleri bakır yatakları arasında bir bağlantının kurulabilmesi için daha ileri bir adım atılmış olmaktadır. Bu yüzden Tepecik ve Tülinde yakınılarında bulunan yataklardan alınacak örnekler Kalkolitikten Orta Çağa kadar bu ören yerlerinde hangi bakır ve diğer maden kaynaklarından yararlanıldığı sorununa ışık tutabilecektir (Çizelge 4).

S E Ç İ L M İ S B İ B L İ Y O G R A F Y A

K I S A L T M A L A R

- ARÜTOB I-VI** : Arkeometri Ünitesi Bilimsel Toplantı Bildirileri I (1984), II (1981/1985), III (1983), IV (1984), V (1985), VI (1986). TÜBİTAK Yayınları, Ankara.
- KP 1-7** : ODTÜ Keban Projesi Yayınları Seri I, No. 1 (1971), 2 (1971), 3 (1972), 4 (1974), 5 (1976), 6 (1979), 7 (1982), TTK, Ankara.
- TAD** : Türk Arkeoloji Dergisi. Eski Eserler ve Miizeler Genel Müdürlüğü, Ankara.
- BOZKURT, N., HARMANKAYA, S., GEÇKİNLİ, E.**: «Tepecik (Elazığ) Höyükünde 1986 Bulunan Bazı Metal Buluntulara Ait Metallografik Analizler» ARÜTOB VI (1985), s. 39-48.
- CANEVA, Claudio, FRANGIPHANE, Marcella, PALMIERI, Alberto M.** 1985 «I metalli di Arslantepe nel quadro dei più antichi sviluppi della metallurgia vicino-orientale» Quaderni de La ricerca scientifica*. CNR, Roma, No. 112. s. 115-137.
- ESİN, U.**, Kuantitatif Spektral Analiz Yardımıyla Anadolu'da Başlangıcından Asur 1969 Kolonileri Çağına Kadar Bakır ve Tunç Madenciliği. İst. Univ. Ed Fak. Yay. No. 1427. İstanbul, Taş Matbaası (1967).
- 1870 a «İstanbul Üniversitesi Edebiyat Fakültesi Prehistorya Kürsüsü Tepecik Kazısı 1968 Raporu» TAD XVIII/1 (1969), s. 51-60.
- 1870 b «Tepecik Kazısı 1868 Yılı Raporu» KP 1 (1968), s. 147-158, (İngl. pp. 159-172)

- 1971 «Tepecik Kazısı 1969» KP 2 (1969), s. 107-115 (engl. pp 119-1251).
- 1972 a «Tepecik Kazisi 1970» KP 3 (1970), s. 139-147 (engl. pp. 119-1281).
- 1972 b «Orta Doğu Teknik Üniversitesi Keban Eski Eserleri Kurtarma Projesi ve Tepecik Kazıları» VII. Turk Tarih Kongresi I, TTK Yay. IX/7, Ankara, 119701, s. 38-52.
- 1874 a «İstanbul Üniversitesi Prehistorya Kürsüsü Tepecik Kazıları (Elâzığ)» TAD XX/2 (19731, s. 39-62.
- 1974 b «Tepecik Kazisi 1971» KP 4 (1971), s. 109-121 (engl. 123-1351).
- 1975 a «Tepecik 1974- Anatolian Studies XXV (1975), pp. 46-49.
- 1975 b «Tülindepe 1974 Anatolian Studies XXV 119751, pp. 50-51.
- 1976 a «Tepecik Kazisi 1972» KP 5, s. 101-108 (engl. pp. 109-117).
- ESİN, U. «Tülindepe Kazisi 1972» KP 5 119721, s. 119-133 (engl. pp. 147-1631).
- 1976 b
- 1976 c «Die Anfänge der Metallverwendung und Bearbeitung in, Anatolien (7500-2000 v. Chr.)» Les Débuts de la Métallurgie (Yayl. N. Müller-Parpe). Union Internationale des Sciences Préhistoriques et Protohistoriques IXe Congrès. Colloque XXIII, Nice 13-18 Sept. 1976, s 209-240.
- 1979 a «Tepecik Kazisi, 1973» KP 6 119731, s. 79-94 (engl. pp. 97-112).
- 1979 b «Tülindepe Kazısı, 1973» KP 6 (1973), s. 115-119 (engl.) pp. 121-125).
- 1979 c «Tepecik ve Tülindepe Kazıları» VIII Turk Tarih Kongresi, Turk Tarih Kurumu Yay. IX/8, Ankara (19761, s. 65-76.
- 1981 «Tepecik ve Tülindepe Kazılarına ait Arkeometrik Araştırmaların Arkeolojik Açıdan Değerlendirilmesi» ARÜTOB II (1980/1985), s. 157-182/s.
- 1982 a «Tepecik Kazısı, 1974» KP 7 (1974-75), s. 71-93 (engl. 95-118)
- 1982 b «Die kulturellen Beziehungen zwischen Ostanatolien und Mesopotamien sowie Syrien anhand einiger Grabungs-und Oberflächenfunde aus dem Oberen Euphrattal im 4. Jahrtausend v. Chr. «Mesopotamien und seine Nachbarn. XXV. Rencontre Assriologique Internationale, Berlin (1978), s. 13-21.
- 1982 c «Siedlungsordnung in ostlichen Anatolien während des 4. und 3. Jahrtausends V. Chr.» Palast und Mutte. Beiträge zum Bouen und Wohnen im Altertum. Tagungsbeiträge eines Symposiums der Alexander von Humboldt-Stiftung, Bonn/Bad-Godesberg 119791, Mainz a. Rhein, S. 73-88.
- 1984 «Tepecik, Tülindepe (Altınova-Elâzığ), Değirmentepe (Malatya) Kazıları» ARÜTOB I (1980), s. 68-112.
- 1986 «Doğu Anadolu'ya ait Bazı Cüruf ve Filiz Analizleri» Anadolu Araştırmaları X, s. 143-167.
- ESİN, U., ARSEBÜK, G. «Tülindepe Kazısı, 1971» TAD XX/2 (1973), s. 63-78.
- 1974 a
- 1974 b «Tülindepe Kazısı 1971» KP 4 (1971), s. 137-147 (engl. 149-1541).
- KUNC, S., EKER, A., KAPUR, S., GÜNDÖĞDU, N. «Değirmentepe Cüruf Buluntuları Analizi» ARÜTOB IV, s. 133-139
- ÖZBAL, M. «Tepecik ve Tülindepe Metal. Filiz ve Cüruf Analizleri Sonuçları» ARÜTOB III s. 203-217.
- 1983 «Değirmentepe Metal-Cüruf ve Filiz Analizleri» ARÜTOB VE (1985), s. 101-113.

TEPEÇİK, ANALYSES OF COPPER INGOTS, ORES, IMPLEMENTS/TEPEÇİK, BAKIR, KÜLÇE, ÇEVHER, ALET ANALİZLERİ

(All figures are in percentage (%)/Analiz Sonuçları % olarak verilmiştir.)

No. and Name of Sample — Findplace (Örnek No. ve Adı, Buluntu Yeri)	Period/Analiz Sequence (Devri/Analiz Sırası)	Cu	Fe	Co	Zn	Ni	Si	As	Pb	Sn	Ag	S
1. 31. BÜ-33/82, INGOT (küle), T. 71-520, 14 N ₂ vu/h, ~1513 m. Tepecik	EBA II/J/ca. G-H ITC II-U *	91.07	Tr.(iz)	0.002	2.68	Tr.(iz)	4.22	0	0	0	0.02	
2. BHG, CHISEL (teski), T. 68-361.10 K ₂ Pit (Çuk.) 81 Tepecik	EBA III/ca. I ITC III *	98.06	0.51		0.30	0.38	2.74					19.98
3. 18. BÜ-31/82, ORE (füz), T. 71-463, 10 S ₄ iv/b, 26, -17.24 m. Tepecik	MBA (HİTTİTE Per.) OTC (Hitit Devr.)	56.70	2.06	0.02	0.01	0.01	0.03	0.59	0.04	0.72	0.02	
4. 17. BÜ-35/82/A, ORE (füz), T. 71-478, 10 S ₄ iv/b, 27, -17.24 m. Tepecik	MBA OTC *	53.89	9.98	0.01	0.95	0.02	0.01	0.006	0.01	0	0.009	
5. 17. BÜ-35/82/B, PRILL (küle), T. 71-478, 10 S ₄ iv/b, 27, -17.24 m. Tepecik	MBA OTC *	91.14	3.71	0	0.88	0.07	0	0.01	Tr.(iz)	0	0.015	
6. BHG, PIN (igne), T. 68-230, 14 L ₃ Tepecik	EBA II/J/ca. G-H ITC II/I *	99.99									0.73	0.01
7. BHG, PIN (igne), T. 68-38, 24 Q/P ₅ Tepecik	IA DC	94.69			94.69							5.01
8. BHG, PIN (igne), T. 68-27, 24 Q ₂ Tepecik	M OC	85.24	0.18								4.02	0.58
9. 1/14, Bü-26/82, SLAG (Güruf), TL. 71 48 H ₁ r-y/f/k, ~370 m. Tülinotope	EC/ca. D IK/ *	85.51									4.12	0.38
10. 2/15, Bü-30/82, Tülinotope	TL. 71 53 I EC/ IK/ *	22.11	28.57	0.01	0.78	0.03	0.22	0.74	0.10	0.0	0.02	
11. 5/3, Bü-36/82, Tepecik	T. 70-853, 8 Q _{2P} , 47, -19.75/ -19.95	EC/ca. D/E IK/ *	0.07	1.50	Tr.(iz)	0.01	0.002	0.05	0.007	0.02	0.0	(cf. Değer- menece)
12. 3/13, Bü-21/82, Tülinotope	TL. 71-269.54 L 11/1.73, Pit (Çuk.) 20 SK/ITC *	LG/EBA/ca. F-G SK/ITC *	2.28	48.68	0.09	0.74	0.005	0.06	0.12	0.02	0.0	0.003

Tablo 1/Çizge 1

Tablo 2/Çizge 2

TÜLİNTEPE AND TEPEÇİK, ANALYSES OF SLAGS/TÜLİNTEPE VE TEPEÇİK CÜRUF ANALİZLERİ

9. 1/14, Bü-26/82, SLAG (Güruf), TL. 71 48 H ₁ r-y/f/k, ~370 m. Tülinotope	EC/ca. D IK/ *	4.02	28.77	0.11	2.68	0.005	0.12	0.003	Tr.(iz)	0.0	0.004	
10. 2/15, Bü-30/82, Tülinotope	TL. 71 53 I EC/ IK/ *											
11. 5/3, Bü-36/82, Tepecik	T. 70-853, 8 Q _{2P} , 47, -19.75/ -19.95	EC/ca. D/E IK/ *	0.07	1.50	Tr.(iz)	0.01	0.002	0.05	0.007	0.02	0.0	(cf. Değer- menece)
12. 3/13, Bü-21/82, Tülinotope	TL. 71-269.54 L 11/1.73, Pit (Çuk.) 20 SK/ITC *	LG/EBA/ca. F-G SK/ITC *	2.28	48.68	0.09	0.74	0.005	0.06	0.12	0.02	0.0	0.003

(*) See for Analyses Nos. 1.3 - 5.9-19 made by using AA method: Ozbal 1983, pp. 214 - 216/Atomic Absorption yöntemiyle yapılan No. 1.3 - 5.9-19 için M.K.: Özbal 1983, s. 214 - 216.

(**) See for metallographic and quantitative analyses made by using optic microscope and electron micro-probe: Nos. 2.6 - 8 - : Bozkurt, Harmankaya, Geçkinli 1986, (Optik mikroskop ve elektron mikro-prob'la yapılan metalografik ve kuantitatif analizler için — No. 2.6 - 8 -- : Bozkurt, Harmankaya, Geçkinli 1986.

TÜLİNTEPE AND TEPECİK, ANALYSES OF SLAG/TÜLİNTEPE VE TEPECİK CÜRUF ANALİZLERİ

(All figures are in percentage (%)/Analiz Sonuçları % olarak verilmiştir.)

No. and Name of Sample and Findplace (Örnek No. ve Adı, Buluntu Yeri)	Period/Amuq Sequence (Devri/Amuq Sırası)	Cu	Fe	Co	Zn	Ni	Sh	As	Pb	Sn	Ag	S
13. 4/12, BÜ-29/82, SLAG (Cüruf), Tl. 71-86, 54 L 1/f. 33 Tülintepe Pit (Quk.) 20	LC/EBA/ca. F-G SK/ITC/ *	2.70	47.00	0.13	1.55	0.07	0.05	0.002	0.03	0.0	0.001	
14. 7/1, BÜ-28/82, Crucible SLAG (Pota, Cüruf), T. 70 - 1600, Tepecik 80/f ₁₉ 11	EC/LC/ca. E-F IK/SK/ *	4.33	16.36	0.01	0.13	0.01	0.02	0.009	0.04	0.0	0.001	
15. 8/7, BÜ-27/82, SLAG (Cüruf), T. 74.15 A ₂ m/c. CR. - 15.43 m. Tepecik SK/ *	LC/ca. F SK/ *	3.09	45.32	0.08	1.39	0.005	0.03	0.004	0.07	0	0.008	
16. 6/6 BÜ-25/82, SLAG (Cüruf), T.74.15 A ₃ CR.-16.73 m. Tepecik	LC/ca. F SK/ *	3.13	47.35	0.10	1.33	0.005	0.05	0.003	Tr.(iz)	0	0.002	
17. 9/9, BÜ-22/82, SLAG (Cüruf), T.72.15 AB. 1x-x/f-k. BK Tepecik Pit (Quk.) 6-16.10/16.40 m.	LC/ca. F SK/ *	6.34	19.86	0.02	11.73	0.04	0.04	0.01	0.14	0	0.02	
18. 11/25, BÜ-24/82, SLAG (Cüruf), T.70-1284, 7 K _y , Niche (Nış) Tepecik 43-8.90 m.	MBA/EBA OTC/ITC	6.89	23.14	0.03	0.06	0.18	0.03	0.003	Tr.(iz)	0	0.001	
19. 12/21, BÜ-37/82, SLAG (Churf), T.70.10 I, Skeleton 74.94 Tepecik - 3.02 m.	M QÇ	0.03	50.73	0.01	0.01	0.08	0.05	0.004	0.05	0	0.0	

TEPECİK, ANALYSES OF LEAD ORE/TEPECİK, KURŞUN FILİZİ ANALİZİ

No. and Name of Sample and Findplace (Örnek No. ve Adı, Buluntu Yeri)	Period/Amuq Sequence (Devri/Amuq Sırası)	Cu	Fe	Co	Zn	Ni	Sh	As	Pb	Sn	Ag	S
20. 2/, Bü-34-82, LEAD ORE (Kurşun filizi), T.70-712, Tepecik 8 Q _n 41	EC/LC/ca. E/F	0.62	2.39	0	0.34	0.002	Tr.(iz)	0.01	64.29	0	0.007 (Galena)	

See for the Analyses Nos. 1.3 - 5.9 - 20 made by using AA method: Ozbal 1983, pp. 214 - 218/AA Yöntemi ile yapılan Analiz No. 1.3 - 5.9 - 20 için bk.: Ozbal 1983, s. 214 - 218.

Abbrev./Kısaltmalar :

EC : Early Chalcolithic; LC : Late Chalcolithic; EBA : Early Bronze Age; MBA : Middle Bronze Age; IA : Iron Age; M : Medieval; Tr. : Trace
IK : İlk Kalkolitik; SK : Son Kalkolitik; İTC : İlk Tunç Çağ; OTC : Ortak Tunç Çağ; STC : Son Tunç Çağ; DC : Demir Çağ; OC : Orta Çağ
BHG : Bozkurt, Harmankaya, Geçkinli 1986

Tablo 2/Cizelge 2

Tablo 3/Cizelge 3

ÇİZELGE : 4 — ELAZIĞ MADEN YATAKLARI (*)
B A K I R

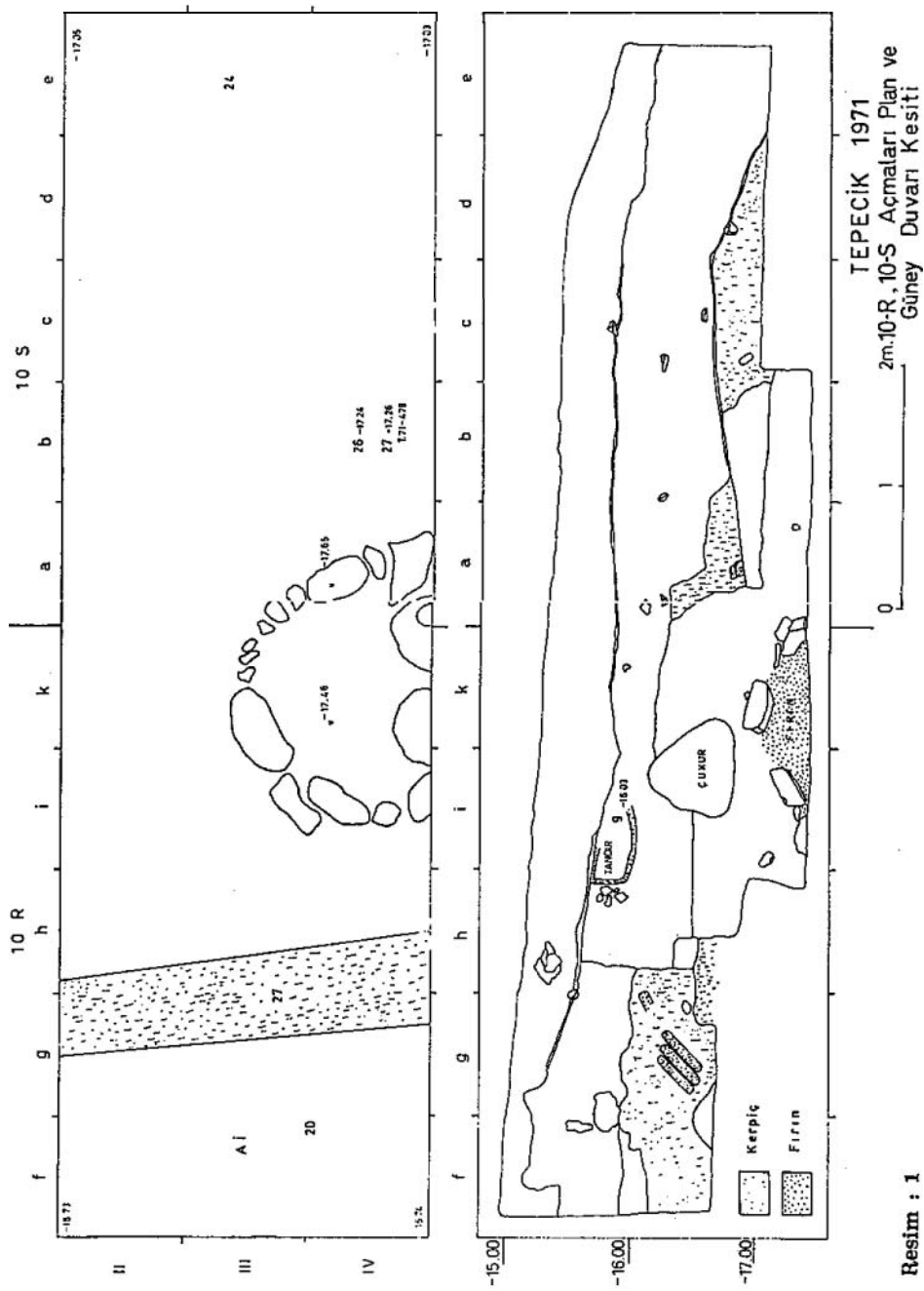
Maden İlçesi	Sivrice İlçesi	Palu İlçesi
Ergani	Melezür (Kavallı)	Herpünk (Üçdeğirmenler)
Karabek-Süleymanköy	Bakidere	Kadyan (Karataş)
	Kurk (Kürkköy)	Mugolu (Uyandık)
	Halfe (Yedipinar)	Keydak (Geydak)

Merkez İlçe	Baskil İlçe	Baskil İlçe
Şeyhhacı (Bağlar)	Seriük	Sersuk (Tatlipayam)
Hüseynik (Ulukent)	Kürdikan	Atikan
Pirik	Gudayik	Dutlukoy
Gorgugan (Kepektas)	Berikaraali	
Caferi (Gedikkuyu)		
Eğinik		

P İ R İ T	D E M I R	K U R Ş U N
Sivrice : Melezür a : Kamışlı	Merkez : Unguzek	Sivrice : Haftasar (Düzbahçe) Baskil : Girdikan Keban : Geban (Keban)

Ç İ N K O	N I K E L	M A N G A N E Z
Merkez : Hoğu (Yurtbaşı) Merkez : Hiiseynik	Maden : Şehkatili : Havri	Merkez : Hanıbrahimşah (Esenkent)

(*) Elâzığ 1967 İl Yılığı, Elâzığ, Bingöl Matbaası, 1970, s. 172, 173. Bu maden kaynakları içinde Tepecik ve Tülintep'e en yakın olanları Sivrice. Palu İlçelerindeki yataklarla, özellikle Merkez İlçe'ye bağlı Şeyhhacı (Bağlar) ile Hoğu (Yurtbaşı)'dır.



Resim : 1

İSTANBUL ARKEOLOJİ MÜZELERİNDEKİ BAZI OPAK CAM ESERLERİN X - İŞINI RADYOGRAFİ TEKNİĞİ İLE İNCELENMESİ

Beril TUĞRUL*
Filiz SUNGUR
Şeniz ATİK

ÖZET

Bu çalışmada, içi ve yapısı görülmeyen opak cam eserler üzerinde X-ışını radyografi tekniği ile çalışılarak, bu eserlerin incelemeleri gerçeklenmiştir. Yapılan incelemeler sonucunda, opak cam eserlerin cam hamurlarına iligkin bilgi edinilmig ve kalıp teknigi üzerinde değerlendirmeye gidilebilmiştir. Fazla olarak, kimisi üzerinde bulunan ek süsleme parçalarının, dıştan goriinenin aksine, farklı teknikler ile birleştiği gozlemlenmiştir. Bunlardan ayn olarak, restorasyon görmüş kimi opak cam eserlerin restorasyon birleştirmeleri açılıkla görülebilmiş ve değerlendirilmesi yapılmıştır. Bu gekilde, opak cam eserler, tahrıbatsız olarak ve hayli «kısa» bir sirede incelenebilmiş ve bu eserler üzerinde, saydam cam eserler kadar fikir sahibi olunabilmiştir.

ABSTRACT

In this study, opaque glass samples of which interiors is invisible, investigated by the X-ray radiography teohnique. In the evaluation, some knowledge has been extracted about the glass base and mold technique. Furthermore, it was shown that ornamental attachments have been fixed on the glass artifacts by techniques different than what it appears to be. In addition to that, joining edges of the restorated opaque glass samples can be investigated and quality of the restoration can be evaluated. Therefore, the opaque glass samples were investigated non - destructively a short period of time, much like transparent glass could be studied.

(*) Dr. Beril TUGRUL, İ. T. İ. Nükleer Enerji Enstitüsü Öğretim Üyesi Ayazağa Kampiisii 80626 Maslak/İSTANBUL
Filiz SUNGUR, İ. T. Ü. Nükleer Enerji Enstitüsü Araştırma Görevlisi Ayazağa Kampiisii 80626 Maslak/İSTANBUL
Şeniz ATİK, İstanbul Arkeoloji Müzeleri, Miize Araştırmacısı,
Sultanahmet/İSTANBUL

GİRİŞ

Bu çalışmada, İstanbul Arkeoloji Müzelerinde bulunan opak cam eserler iizerinde X-ışını radyografi teknigi ile çalışılmıştır. Gerçeklenen çalışmalar, farklı dönemlere ait, çeşitli opak cam eserler iizerinde yapılmıştır.

Çalışmalarımızla opak cam eserlerin hamur ve kalıp teknikleri inceleinip, değerlendirmeye gidilebilmiştir. Fazla olarak, kimisi iizerinde goriilen ek süisleme parçalarının birleştirme teknikleri hakkında fikir sahibi olunabilmigtir. Bunlardan ayrı olarak, restorasyon görmüş opak cam eserlerin restorasyon degerlendirmesi yapılabilmistiir.

Saydam cam parçalar kullandığımız teknik olan X-ışını radyografi teknigi açısından, teknigin uygulama sınırlarını zorlayan elemanlardır. Bununla beraber, iizerinde çalıştığımız opak camların, saydam olmasına ve opaklaştmak için hamurlarında, örneğin k i i metal oksitlerin kullanılmış olması, X-ışını radyografi teknigini uygulanabilir hale getirmektedir. Nedir ki, teknik uygulanırken, uygulanan teknik parametelerinin dikkatle ve uygun olarak seçilmesi gerekmektedir.

X - İŞINI RADYOGRAFİ TEKNİĞİNİN TANITIMI

Elektromanyetik radyasyon olan X-ışınlarının dalga boyları yaklaşık olarak 10^{-6} - 10^{-10} mm. arasında değişmektedir. Bu ışınlar, görünür ışığa oranla hayli (1000 katından fazla) enerjитikbirler. Bu da onlara yüzeylerden yansiyip, geri donmck yerine, maddenin derinliklerine girebilme (mufuziyet) özelliği kazandırır.

X - ışınları, madde içine niifus edenken; soz konusu olan bu madde, farklı yoğunlukta bölgelerden oluşmuş ise voya içinde boşluklar var ise, maddenin bu özelliklerine bağlı olarak ışın demeti zayıflayacaktır. İşte bu ozellikten yararlanılarak, objenin bir tarafına kaynak diğer tarafına film konarak, objenin iç yapısına ait bilgi verecek bir görüntü elde etmek mümkün olur. X ışınları ile yapılan bu işleme «X - ışını Radyografisi» adı verilir. ¹⁻²⁻³ Çekilen filme ise «Radyograf» denilir.

Çalışmamızda, X-ışını üretmek üzere bir endüstriyel X - ışını Radyografi cihazı kullanılmıştır. Bu tip cihazlar bir X-ışını tüpüne haizdirler. Burada, ısıtılmış bir flamanla elektron kaynağı oluşturulur ve ağır metal bir plaka da anot olarak kullanılır. Flamanla anot arasında elektronlara yeteri kadar hızı sağlayacak yüksek voltaj uygulanarak «frenleme radyasyonu (bremsstrahlung)» tipinde X - ışınları elde edilir.

X - ışını radyografi cihazlarında iki onemli kumanda faktörü vardır: Bunlar; gerilim ve akımdır. Akımın arttırılması ile, flamanın ısıtil-

masına kumanda edilir. Boylelikle, serbest kalan elektron miktarı artmış olur. Bir başka deyişle, denetim elektron kesafeti arttırılır. Öte yandan, gerilim ile elektronların hızına kumanda edilir. Bu faktör daha çok yüksek atom numaralı malzemeler için veya «hayli» kalın malzemeler için arttırılarak kullanılır.

Oysa, bizim burada üzerinde çalıştığımız opak cam eserler ne kalın ve ne de yoğun bir malzemedir. Bu durumda, X-ışını radyografi tekniği uygulanırken, gerilim nispeten düşük tutulup, iyi görüntü elde etmek için akımı yüksek tutmak gerekmıştır.

Nitekim, böyle seçilen X-ışını cihazı kumanda faktörü çifti ile çalışmamız gerçekleşmiştir. Bu şekilde, alınan sonuçlar tatminkar olabilmiştir.

Radyografik görüntü, siyah-beyaz olarak elde edilmektedir. Bir başka deyişle, objenin içi hakkında, fotografik yoğunluk farkı nedeniyle bilgi edinilir. Bu fotografik yoğunluk farkına «kontras» denir. Burada, malzeme içindeki az yoğun veya ince yerler ışını daha çok geçireceklerinden koyu, çok yoğun veya kalın yerler ise ışını daha az geçireceklerinden açık renk görüntü verirler.

ÇALIŞMALARIN TANITIMI

İlk çalışmamız, Myrina Kalaba şehri buluntusu olan bir koku şişesi üzerinde yapılmıştır (M.Ö. III.- I. yy). Lacivert opak cam üzerine sarı ve açık mavi opak cam zıkkak bezemeleri bulunmaktadır (Env. № : 264 [C]). Söz konusu bu koku şişesinin fotoğrafı (Resim: 1) de ve radyografi ise (Resim : 2)'de görülmektedir.

(Resim: 2)'deki radyograf incelemesinde, görülmektedir ki; koku şişesinin iç şekli nispeten düzgündür. Yüksekliği 9,5 cm. ağız çapı 2,3 ve gövde çapı 3,2 cm. olan bu eserin cidar kalınlıkları (Resim : 2)'den net olarak görülmektedir. Cidar kalınlıkları, boyun kısmında 3-6 mm. arasında, gövde kısmında ise 1,5-2 mm. arasında değiştiği radyograftan tespit edilebilmiştir. İç kalıp tekniği ile yapıldığı anlaşılan bu koku şişesinin dip kısmı sıvı olarak son bulmaktadır. Ancak, sıvrileşme noktası tam orta eksen üzerinde bulunmamaktadır.

Koku şişesinin cam hamuru da sadyograf yardımı ile incelenebilmektedir. Burada, kimi açık ve koyu benekler bulunmaktadır. Açık benekler cürüfları, koyu benekler ise gozenekleri göstermektedir. Fazla olarak, dip sütununda, yönlenmiş kimi boşluklar görülmektedir ki; bunlar gerilme çatlamaları olarak nitelenebilir. Bunlar, cam hamuruna sıcak şekeil verildikten sonra, soğuma esnasında meydana gelmiyelerdir. Bundan ayri olarak, boyun kısmında ise bir yapı bozulması izleri görülmektedir.

İkinci çalışmamız, millefiori tekniğinde yapılmış bir alabastron üzerinde gerçekleşmiştir. 12,3 cm yüksekliğinde ve 4,9 cm. ağız çapı olan alabastron opak turkuaz zemin üzerinde sarı, yeşil, lacivert, beyaz opak cam çubuklar kullanılarak yapılmıştır (M.Ö. I. yy - M.S. I. yy). Salihli Dardanos'ta bulunmuş olan bu alabastronun fotoğrafı (Resim: 3)'de ve radyografi ise (Resim: 4)'de goriilmektedir (Env. No: 880 [C]).

Radyograftan görülmektedir ki; alabastronun iç kalibi muntazam değildir. Cidar kalınlıklarının farklı hayli fazladır. Boyun kısmında, radyograftan olgulen cidar kalınlıkları 2 mm. ve 5 mm'dir. Govdede ise cidar kalınlıkları 2,5 mm. ilâ 8mm. arasında değişmektedir. Incelememiz sonucunda, alabastron hamurunun yapımı iyi ancak kalıp tekniği iyi değildir denabilir.

Diğer bir çalışma ise opak görünümlü bir şişe iizerinde yapılmıştır (M.S. I. ve II. yy). 9,2 cm. yüksekliğinde, 2,7 cm. ağız çapı ve 6 cm. gövde çapı olan bu eserin (Resim: 5 ve Resim: 6)'da sırasıyla fotoğrafı ve radyografi goriilmektedir (Env. No : 1860 [C]).

Radyografın incelenmesiyle, film iizerinden alınan ölçümden 1 mm. incelikte bir cidara sahip olduğu anlaşılmıştır. Fazla olarak, cidar kalınlığı ince olmasına karşın, hemen her yerde aynı kalınlıktadır. Bu nedenle, b . şişenin kalıp teknigi iyidir denilebilir.

Bundan sonraki iki çalışma, birbirine benzeyen ve dışarıdan aynı şekilde yapıldığı izlenimini veren iki küçük şısecik iizerinde yapılmıştır. Her ikisi de Zor-Tedmur buluntusudur ve MS. VI. - VIII. yy'lar arasında aittir. Şişelerden daha küçük olanı 1,1 cm. ağız çapı ve 3,7 cm. & de çapında, 4,6 cm. yüksekligindedir (Env. No : 1537 LCJ]. Büyükcé olanı ise, 1,8 cm. ağız çapında ve 4,8 cm. gövde çapında, 5,6 om. yüksekliğindedir (Ew. No : 1536 [C]). (Resim: 7 ve Resim: 8)'de şişelerin fotoğrafı ve (Resim: 6)'da radyografları goriilmektedir.

Şişelerden açık zeytuni renkte olan büykcé şısecik iizerindeki bezeme, (Resim: 6)'daki radyograftan görüldüğü üzere, şıseciğin cam hamuruna gömülü bulunmaktadır. Oysa, daha k i k olan şıseciğin bezemeleri, şıseciğe gömülü değildir.

Boylelikle, buradaki radyografi incelemesiyle, dıştan görünüm itibarı ile pek de farklı olmayan bu iki şıseciğin; aynı yer bulutusu olmasına karşın, farklı bezeme tekniği ile süslenmiş olduğu anlaşılılmıştır. **Şöyle ki;** birincisi sıcak cam hamuruna sıcak aplike, diğeri ise soğuk cam sıcak aplike olarak yapılmıştır.

Bir diğer çalışma, mozaik teknigi ile yapılmış 2,35 cm.-2,4 cm. çapında ve 2,4 cm yüksekliğinde bir cam topuz ile gerçekleşmiştir.

M.Ö. I. yy - M.S. I. yy). Lacivert-kiremit kırmızısı opak camların kullanıldığı bu eserin (Resim : 9)'da fotoğrafı ve (Resim : 10)'da ise radyografi goriilmektedir (Env. No : 76.70 [C]).

Cam topuzun radyografi iistten çekilmiştir. Radyografta görüldüğü üzere; çap qevresince dışarıdan görünmeyen, mastar cam çubuklarının bulunduğu gorulmektedir. Çubukların dizilişi hayli muntazamdır. Buradan hareketle, cam topuzun muhtemelen bir tutamaç olduğu söylenebilir.

Bunlandan ayrı olarak, opak beyaz ve eflatun renkli camdan yapılmış, 11,9 cm yüksekliğinde ve 3,5 cm ağız çapında, 3,8 cm gövde çapında, restorasyon görmüş bir alabastronun üzerinde radyografik çalışmalar yapılmıştır. M.O. VI. - IV. yy'lar arasına ait olan bu eser Myrina - Kalaba şehrinde bulunmuştur (Resim : 11 ve Resim : 12)'de soz konusu bu alabastronun fotoğrafı ve radyografi görülmektedir (Env. No: 268 [C]).

(Resim : 12)'deki radyograf, alabastronun ozellikle boyun bolgesinde simetri farklılığı olduğunu gostermektedir. Radyograf üzerinden alınan ölçümelerle cidarların govdede 2 mm - 3,5 mm arasında değiştiği anlaşılmaktadır.

Öte yandan, radyograftan, restorasyon sırasında alabastronun parçalarının birbirlerine intibakları olabildigince sağlanmış görülmektedir. Bir başka deyişle, alabasronun restorasyonu «hayli iyia dir denebilir.

Son olarak, yine restorasyon görmüş, İslami (M.S. XII. - XIII. yy.) opak turkuaz bir alabastron üzerinde çalışılmıştır. 9,9 cm yüksekliğinde ve ağız çapı 2,4 cm, gövde çapı 5,8 cm olan bu alabastronun (Resim : 13)'de fotoğrafı ve (Resim : 14)'de radyografi goriilmektedir.

(Resim : 14)'deki radyografdan görüldüğü gibi, burada restorasyon başarılı sayılamaz. Radyograftan net bir şekilde görülmektedir ki; \$— lar birbirine tam olarak intibak ettirilmemigtir. Bu nedenle, restorasyon iyи olarak nitelenmemektedir.

SONUÇ

Çalışmamızda, Arkeoloji Miizelerindeki bazi opak cam eserler üzerinde X-ışını radyografi tekniği uygulanmıştır. Böylelikle içi ve yapısı görülemeyen bu eserler iizerinde ileri bazi bilgiler edinilebilmiştir.

Şöyle ki; kimi opak cam eserlere ilişkin kalip teknigi, cam hamuru değerlendirmesi yapılabilmistiir. Fazla olarak, birbirinin benzeri görünen şisecikler iizerindeki bezeme elemanlarının farklı teknikler ile yerleştirildiği tesbit edilebilmiştir. Bu değerlendirmelerle, esas itibarı ile, söz ko-

nusu opak cam eserlerin imalat tekniği değerlendirmesine yönelik çalışılmıştır.

Bundan ayrı olarak restorasyon geçirmiş kimi opak **cam** eserlerin restorasyon değerlendirmesi ve kalitesi incelenmiştir.

Tahribatsız muayene usullerinden olan X-ışını radyografi tekniği esere herhangi bir zarar vermeden, kolaylıkla uygulanabilmiş ve hayli kısa bir surede sonuç alınabilmüştür. Bu eserler gerçekten teknigin uygulama sınırlama yakın düşmesine karşın, uygun kumanda faktörü çiftinin seçimi ile başarılı olunabilmüştür. Bir başka deyişle, çalışmamızın gerçeklenmesi ile, **opak cam** eserler üzerinde, saydam cam eserler kadar fikir sahibi olunabilmüştür.

TEŞEKKÜR

Opak cam eserler üzerinde gerçekleştirdiğimiz bu çalışmamızın yapılabilmesinde **teşvik** ve destejini gördüğümüz ve atölyelerinden yararlandığımız İstanbul Restorasyon ve Konservasyon Merkez Labaratuvarı Müdürlüğü'ne burada özellikle teşekkür etmek isteriz. Ayrıca, eserler üzerinde çalışmamıza izin veren İstanbul Arkeoloji Müzeleri Müdürlüğü'ne ve çalışmamızda her türlü desteği gördüğümüz İstanbul Teknik Üniversitesi - Nükleer Enerji Enstitüsü Müdürlüğü'ne de teşekkür ederiz.

REFERANSLAR

- (1) Halmshaw, R., «Industrial Radiology Techniques», Wykeham Publications Ltd., London, (1971).
- (2) Schneeman, J. G., «Industrial X-Ray Interpretation», Intex Publishing Company. Evanston, Illinois. (1989).
- (3) «Industrial Radiography», Agfa - Gevaert, Belgium.



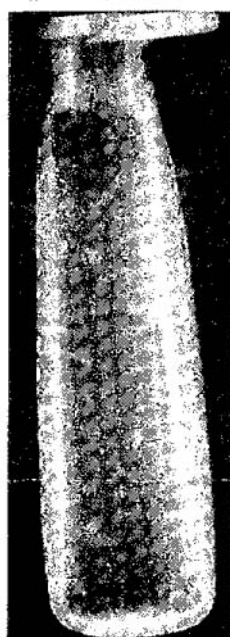
Resim: 1 — Unguentariumun
fotoğrafı



Resim: 2 — Unguentariumun radyografi



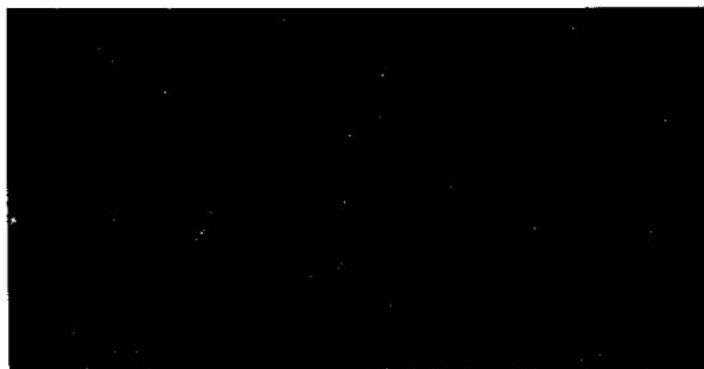
Resim: 3 — Millefiorinin
fotoğrafı



Resim: 4 — Millefiorinin
radyografi



Resim : 5 — Şişe fotoğrafı



Resim : 6 — Şişe ve şişeciklerin radyografi



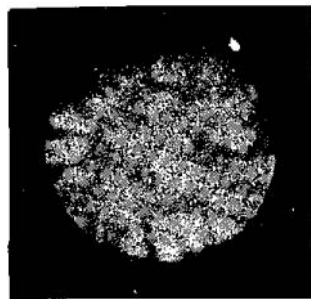
Resim : 7 — Şişecik
fotoğrafı



Resim : 8 — Şişecik
fotoğrafı



Resim : 9 — Cam topuz fotoğrafı



Rwim : 10 — Cam
topuz
radyografi



Resim : 11 — Alabastron
fotoğrafı



Resim : 12 — Alabastron
radyografi



Resim: 13 — İslami alabastronun fotoğrafı



Resim: 14 — İslami alabastronun radyografi

İSTANBUL ARKEOLOJİ MÜZELERİNDEKİ BAZI METAL VE KİL ESERLERİN RADYOGRAFİ TEKNİĞİ İLE DEĞERLENDİRİLMESİ

Beril TUĞRUL*

Filiz SUNGUR

Yıldız MERİÇBOYU

Fatma YILDIZ

ÖZET

Farklı arkeolojik eserler üzerinde uygulanan X-ışını radyografisi tanıtılmakta ve haklarında kısa bilgi verilmektedir. Yapılan bir çalışmada; toprak altında gömülü kaldığı süre içinde çevre şartlarının etkisi ile «çok sayıda boncuğa kaynaşmış halde bulunan ve gözle varlığı bile kesin olarak farkedilemeyen bir disk, iizcrindeki qivi yazısı ile çözüldüğünde, diskin, Asur Kralı Salmanasar I'e (M. Ö. 1274-1245) ait olduğu saptanmıştır. Bundan ayrı olarak, zırh, kilit gibi farklı metal içerikli elementlerin X-ışını radyografik incelemeleri sonucunda, bunlar hakkında eski bilgilere ek bilgiler edinilmiş ve değerlendirilmiştir. Fazla olarak, zırhın kuması üzerinde betagrafik incelemeler yapılmıştır. Ayrıca, X-ışını radyografi tekniğinin uygulama sınırında bulunan pişmiş kilden yapılmış zarflı-mektup tabletler üzerinde de çalışılmıştır ve ileri bazı bilgiler edinilmiştir. Böylelikle, diğer tekniklerle, tahribatsız olarak tesbit edilmesi mümkün olamayacak değerlendirmeler, radyografik tekniklerin uygulanması ile, esere hiçbir zarar vermeden, gerçekleştirilebilmiştir.

ABSTRACT

X-ray radiography and betagraphy which are applied on different archaeological artifacts have been given including some general infor-

(*) Dr. Beril TUĞRUL, İ T Ü Niikleer Enerji Enstitüsü Öğretim Üyesi, Ayazaga Kampüsü, 80626 Maslak/İSTANBUL.

Filiz SUNGUR, İ T Ü Nukleer Enerji Enstitüsü Araştırma Gorevlisi Ayazaga Kampüsü, 80626 Maslak/İSTANBUL.

Yıldız MERİÇBOYU, İstanbul Arkeoloji Müzeleri Müdürü Yardımcısı Sultanahmet/İSTANBUL.

Fatma YILDIZ, İstanbul Arkeoloji Müzeleri Müze Araştırmacısı Sultanahmet/İSTANBUL.

mation about the technique. A study was realized on a chunk of beads and a disc which can not be noticed by visual inspection, clustered together. The X-ray radiography of the cluster disclosed that the disc has cuneiform script on it which is assigned to the period of Assyrian King Shalmaneser I. The other two studies were realized on the metal artifacts an armour and latch. Furthermore, betagraphy was applied an armour cloth. X-ray radiography was applied on tablets in spite of the limitations of the technique. Further information were obtained about on enveloped letter tablets. Therefore, the radiographic evaluation can be easy and nondestructively which is impossible otherwise.

GİRİŞ

Bu çalışmada, radyografi tekniği kullanılarak, İstanbul Arkeoloji Müzelerinde bulunan, esas itibarıyle metal eserler üzerinde ve az sayıda da kilden yapılmış zarflı-mektup tabletler üzerinde çalışılmıştır.

Üzerinde çalışılan metal eserler, genellikle ya yanın geçirmiş, ya da gomulu kalmış eserlerdir. Bir başka deyişle, söz konusu eserler çevre şartlarından veya maruz kaldıkları şartlardan hayli etkilenmişlerdir. Bu nedenle, ya oksitlenmiş, ya da yakınlarında bulunan diğer eser veya malzemelerle kaynaşmış durumdaydılar.

Az sayıda olmakla birlikte, üzerinde çalışılan kil eserler ise zarflı - mektuplardır ve klasik yöntemlerle içteki mektuba ulaşmak, ancak kil zarfın kırılması ile mumkundur.

Aşağıda tanıtılan radyografi teknigi ile, söz konusu eserler herhangi bir tahripkar etkiye maruz bırakılmadan incelenememiş ve hakannda bazı ileri bilgiler edinilebilmigtir.

KULLANILAN YÖNTEMLER

«Radyografi», girici ışınlarla malzeme iç yapısına ilişkin film alma tekniğidir. Burada kullanılan ışınlar; gama ışınları veya beta ışınları olabilir. Kullanılan ışına bağlı olarak, radyografi işlemi ayrı bir isim alır. Şöyle ki; X-ışınları kullanılması halinde «X-ışını radyografisi», gama ışınları kullanılması halinde «gamagrafi» ve beta ışınları kullanılması halinde ise «betagrafi» adı verilir. Çalışmamızda, eserler üzerine X-ışını radyografisi ve betagrafi uygulanmıştır.¹⁻²⁻³

Radyografi işlemi sırasında, ışınların maddeyi katederek geçmesi söz konusudur. Ancak, ışın demeti maddeyi geçerken eksponansiyel olarak zayıflar. Fazla olarak, ışın demetinin zayıflaması, radyografisi alınan objenin kalınlığına, biçimsel iç yapısına ve malzemesine bağlı olarak farklılık gösterecektir. Böylelikle de obje hakkında bilgi edinilecektir.

X-ışını radyografisi için bir X-ışını radyografi cihazı kullanılmıştır. Böyle bir cihaz, bir tupe haizdir. Burada açığa çıkarılıp, hızlandırılan elektronların, aniden durdurulması sağlanır.

Bu amaçla, hızlandırılmış elektronlar ağır çekirdeklere haiz bir hedefe çarptırırlar. Burada elektronlar, hedef elemanın atomları ile etki-leşmeye girer ve frenlenirler. Frenleme esnasında ise X-ışınları uretilmez olur. Bu tip X-ışınlarına «Beyaz Radyasyon» veya «Frenleme Radyasyonu (Bremsstrahlung) adı verilir.

Betagrafide, beta radyasyon kaynağı olarak Stronsiyum-90 radyo-isotopu kullanılmıştır. Beta ışınları, X-ışınlarına göre daha az nufuz edici ışınlardır. Bu nedenle, radyografi amacıyla ince parçalar için kullanılması uygundur⁴.

Radyografi işlemi sırasında, obje radyasyon kaynağından yayılan radyasyona maruz kalacak şekilde yerleştirilir. X-ve beta ışınları, özel olarak hazırlanmış filmleri, radyasyon giddetine bağlı olmak üzere etkileyebilmektedir. Bu ozellikten yararlanılarak, obje arkasına yerleştirilen film üzerinde obje iç yapısına ait goruntu elde edilebilmektedir.

Radyografi çekimi sırasında dikkat edilecek birçok faktor mevcuttur. Bunlar arasında, çalışmamız açısından bilhassa önemli olan faktör «film faktörü»dür.

Radyografide kullanılan filmlerin radyasyona karşı duyarlılıklarını farklıdır. Film üzerine görüntü, nokta nokta kaydolur. Filmi olugtururan kristaller küçüldükçe, goruntuyu olugtururan noktalar da birbirinden ayırdedilemeyecek kadar küçük ve sık olacaktır. Ancak, ince taneli filmler, uzun poz süresi gerektirirler, dolayısıyla da «yavaş film» dirler.

Çalışmamız, Restorasyon ve Konservasyon Merkez Labaratuari'nda gerçekleştiği için poz süresinin, nükleer güvenlik açısından, olabildiğince kısa tutulmasına çalışılmıştır. Bu nedenle, metal malzemeler için iri taneli, bir başka deyişle «hızlı film» kullanılmıştır. Ancak kil eserler üzerinde yapılan çalışmamızda, söz konusu malzeme X-ışını uygulama sınırını zorlaması nedeni ile, yavaş film kullanılması zorunlu olmuştur.

Çalışmamız açısından önemli olan diğer bir faktör de «film ekranları»dır. X-ışını radyografi çekiminde, film kaseti içine, filmin hem önü hem de arka yuzune kurşun ekranlar konmuştur. Filmlerin radyasyon kaynağı tarafına bakan yüzüne konan ekran, gelen radyasyonu güçlendirmek ve film yüzeyinden geri saçılıan radyasyonu azaltmak amacıyla kullanılmıştır. Filmin arka yuzune konan ekran ise radyasyonun filmi daha çok etkilemesi ve çevreden saçılıan radyasyonun etkisini minimumda tutulmasını sağlamak üzere kullanılmıştır.

Betagrafide ise film on yuzeyine konan ekran kullanılmakla beraber, film on yiizune konan ekran kaldırılmıştır. Bunun nedeni, beta işinlerinin nüfuziyet kabiliyetlerinin az olmasıdır.

X-ışını radyografisinde film on yuzune konan kurgun ekran 0,125 mm gibi ince bir varaktır. Ancak bu kalınlıktaki kurşun bile, beta işinleri için ekran vazifesi gormekten çok, filtre etkisi yapmaktadır. Bu nedenle de betografi uygulaması sırasında film on yüzüne herhangi bir eleman konmamıştır.

ÇALIŞMANIN TANITIMI

Metaller üzerinde yapılan radyografik çalışmalarдан biri; toprak alında gömülü kaldığı sure içinde çevre şartlarının etkisi ile «Çok sayıda» boncuka kaynagmig halde bulunan ve gozle varlığı bile kesin olarak fark edilemeyen bir disk üzerinde gerçekleşmiştir. Resim : 1'de bu kutlenin fotoğrafı görülmektedir.

Soz konusu kutlenin X - ışını radyografisi alındığında, disk kesinlikle belirlenebilmig ve üzerinde civi yazısı ile yazılmış bir yazıtın bulunduğu tesbit edilmigtir. Resim : 2'de kutlenin radyografi görülmektedir.

Diskin küçük bir kısmı kırktır. Bununla beraber, radyograftan yazi okunabilmiig ve diskin, Asur Krali Salmanasar I'e (M. Ö. 1274-1245) ait olduğu anlaşılmıştır. Resim : 3'de diskin üzerindeki yazit görülmektedir.

Diskin bir benzeri, İstanbul Arkeoloji Miizeleri Hazine Daircsı'nde mevcuttur.⁴⁻⁵⁻⁶⁻⁷ Altın olan bu diskin fotoğrafı Resim: 4'de görülmektedir. Resim : 5'de ise altın diskin üzerindeki yazit ayrı olarak görülmektedir. Altın disk 5,5 cm çapta ve 0,5 cm kalınlıktadır. Radyograf üzeinden alınan ölçüm ile, üzerinde çalıştığımız diskin aynı boyutta olduğu anlaşılmıştır.

Yeni bulunan diskin yaziti (parantez içindeki kelimeler altın diskten anoloji ile tamamlanmış olarak) :

«[a-na Aš-šu]r bēli-šu m̄lŠūl-ma-nu ašarēdu iššak Aš-šur šá si-[qu-ri-te]».

Altın diskin yaziti : (Env. No : 5197)

«a-na Aš-šur bēli-šu m̄lŠūl-ma-nu ašarēdu iššak Aš-šur i-qīš šá si-qu-ri-te».

Manası ise :

«Assur'a, O'nun beyi, Salmanasar, Assur'un oncu, rahip krali, Zigmurat'a (tapınak arazisine) ithaf etti.»

Boncuklarla kaynaşmış olarak bulunan kutlenin, X-ışını radyografi tekniği ile incelenmesi sonucunda bulunan disk ile, hazinedeki altın diskin tek olmadığı, fazla olarak altından başka malzemenin de benzeri disk yapımında kullanıldığı anlaşılmıştır. Aynca, disk türerindeki yazıtın radyograftan okunması ile kutle için kesin tarihleme yapılabildiği gibi kutle ile birlikte bulunan diğer eeslerin de kesin tarihlemesi yapılabilecektir.

İkinci çalışma, Trakya bölgesinde Vize Tumuliisi'nden (**M.S. I. yüzyılın ilk yarısı**) zirhli elbiselerin üzerinde yapılmıştır. Zirh, mezara katlanarak konmuş ve bu haliyle kalmıştır⁸. Bugiin zirh, açılamamaktadır. Zirh, bronz zincirli bir zemin üzerinde zincire bağlanmış küçük dar-uzun gümüş, demir ve bronz pullarla kaplidir. Zincirli zeminin altında keten bir kumaş vardır.

Tipinin nadide örneklerinden olan bu zirhin arka kısmından öne gelen parçaları gevdeye birer buyuk gümüş raptiye ile tutturulmuştur. Resim : 6'da zirhin fotoğrafı, Resim : 7 ise çizimi görülmektedir⁹. Çizimde yan kısımlarda herhangi bir bağlantı elemanı görülmemektedir. Nitekim, zirh gözle incelendiginde, açılamadığından herhangi bir yan eleman görülmemektedir (Env. No : 5731).

X-ışını radyografi tekniği ile tum zirhin radyografisi alınmıştır. Bu çalışma sonunda, zirhin bir yanında dort raptiye tesbit edilmigtir. Resim : 8 zirhin raptiyelerin bulunduğu yanına ait radyografını göstermektedir. Boylelikle, zirhli elbise giyildikten sonra, radyograftan goriilen raptiyelerle birléstirildiği anlagılmigtir.

Zirhli elbiselerin keten kuması üzerine, ayrıca betografi uygulanmıştır. Resim : 9'da kumasın betografi-radyografi goriilmektedir. Radyograf'tan dikiş izleri farkedilebilmekte ve kumasın dokumasi görülebilmektedir.

Bir diğer çalışma, kilit aynası parçası üzerinde yapılmıştır. Bu eser de Vize Tümülüüsü'nden (M. S. I. yüzyılın ilk yarısı) çıkarılmıştır⁹. Parça, çevre şartlarından «hayli» etkilenmiş durumdaydi. Özellikle, kilit kısmı iyi gözlenememektedir. Resim : 10'da kilit aynasının bir fotoğrafı görülmektedir (Env. No : 5756).

Kilit aynası ağaç ve demir kisimlardan oluştuğundan X-ışını radyografisi iki ayn dozda uygulanmıştır. Her iki radyograph Resim : 11 ve Resim : 12'de goriilmektedir.

Resim : 11'deki radyograftan, ağaç üzerindeki aplike metal süsleme kesin hatlıyla ayirt edilebilmektedir. Resim : 12'de ise kilit mekanizması net olarak goriilmektedir. Radyograftan görüldüğü üzere, kilit dış mekanizması ile çalışan biri kilitir.

Bunlardan ayrı olarak, **X**-ışını radyografi tekniğinin uygulama sırasını zorlamakla birlikte, kilden pişirilmiş zarfli-mektuplar üzerinde çalışılmıştır. Diger çalışmalarımızda kullandığımız ve hayli iyi netice veren hızlı filmlerin, bu çalışma için yeteri kadar detay vermeyeceği düşüncelerek yavaş film kullanılmıştır. Resim : 13'de yavaş filmle alınan radyograf gorulmektektir. Boylelikle, içteki mektup kısmı belirlenebilmiştir.

Son grup radyografi çekimi yine metal buluntular üzerinde gerçekleştirmiştir. Bunlardan biri bir taki yumağı üzerinde gerçeklenmiştir. Bu taki yumağı Truva'dan bulunmuş olup, M. O. 3. binin sonlarına aittir. Resim : 14'de taki yumağının fotoğrafı, Resim : 15'de ise radyografi görülmektedir. ¹⁰⁻¹¹ (Env. No : 700)

Yangın geçirmiş olan bu taki yumağının Resim : 15'deki radyografından, içinde bir bilezik ve iki topuzlu iğne bulunduğu açıkça görülmektedir. Ne var ki, iğneler yanın sırasında olsa gerek eğilmişlerdir. Fazla olarak, gözle «az sayıda» görülen minik altın suslemelerin, görüldenden fazla olduğu radyograftan anlaşılmıştır.

Bir diğer çalışma, Vize Tumulusu'nden bulunan bir miğfer yanaklı üzerinde yapılmıştır. ⁹⁻¹¹ Restorasyon geçirmiş olan bu eserin Resim : 16'da fotoğrafı, Resim : 17'de de radyografi gorulmektektir. (Env. No : 5774.) (M. S. I. yy. in ilk yarısı.)

Radyograftan, miğfer yanaklıının üzerinde figürler bulunduğu anlaşılmıştır. Hemen farkedileceğ gibi, yanaklıın üst kısmında Nike bulunmaktadır, alt kısmında ise bir süvari figürü seçilmektedir. Nike, süvariyi taltif eder vaziyette tasvir edilmiştir.

SONUÇ

Üzerinde radyografi tekniği ile çalışılan metal içerikli eserlerin hepsi uzun süreler gomulu kalmış ve kimi de yanın geçirmiş eserlerdi. Çevre şartlarının etkisiyle, bu eserler ya birbirine kaynaşmış veya oksitlenmiş durumdaydilar. Bu nedenle de incelenmeleri zorluklar arzettirmektedir. Oysa, radyografi tekniklerinin uygulanmasıyla, bu eserler kolaylıkla ve hayli kısa bir surede incelenebilmiş ve değerlendirilebilmiştir.

Kilden yapılmış zarfli - mektuplar üzerinde uygulanan **X**-ışını radyografisiyle içte bulunan mektup tablet hakkında ileri bilgi edinilebilmiştir.

Boylelikle, diğer tekniklerle, tahribatsız olarak tesbit edilmesi mümkün olamayacak değerlendirmeler, radyografik tekniklerin uygulanmasıyla, esere hiçbir zarar vermeden, gerçekleştirilebilmiştir.

TEŞEKKÜR

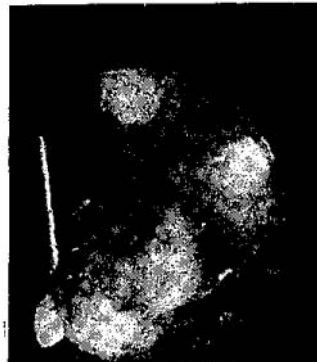
Çalışmalarımızda bize gösterdikleri ilgi ve yardımalar ile çalışmamızı gerçekleştirememiz için atolyelerini bize açan İstanbul Restorasyon ve Konservasyon Merkez Labaratuvarı Müdürlüğü'ne, eserler üzerinde çalışmamıza izin veren İstanbul Arkeoloji Muzeleri Mudurlugu'ne ve çalışmanın gerçekleşmesinde her turlu desteği sağlayan İstanbul Teknik Üniversitesi - Nukleer Enerji Enstitusu Müdürlüğü'ne teşekkürü bir borç biliriz.

REFERANSLAR

- (1) Halmshaw, R., «Industrial Radiology Techniques-». Wykeham Publications, London, (1971).
- (2) Schneeman, J. G., «Industrial X-Ray Interpretation., Intex Publishing Company. Evanston, Illinois. (1968).
- (3) «La Vie Mysterieuse Des Chefs-D'aevure», La Science Au Service De L'Art, La Reunion Des Musées Nationax, Paris, (1980).
- (4) Andrea, W., «Mitteilungen Der Deutshen Orient - Gesellschaft», (MDOG) 54, Berlin, P: 20, (1914).
- (5) Schwenzer, W.. «Archiv fur Orientforschung», (AfO) 9, P: 47. Berlin. (1933- 1934).
- (6) Grayson, A. K., «Assyrian Royal Inscription I», Wiesbaden. P: 79 - 100, (1972).
- (7) Ebeling, E. — Meissner, B.. «Reallexikon der Assyrologie», (RLA) I, P: 170. Berlin - Leibzig. (1932).
- (8) Onurkan, S., «Güney - Doğu Avrupa Araştırmaları Dergisi» 6 - 7, (Vize-A Tümiiliisiinden Bir Zırh Gomlek), İstanbul Üniversitesi Edebiyat Fakültesi, (1978), P: 47-55.
- (9) Mansel, A. M., «Trakya Hafriyatı», Belleten. Cilt: IV, Sayı 13, (19401, P: 89 - 114.
- (10) Schliemann, P: 621, (1885).
- (11) Tuğrul, B. — Sungur, F. — Meriçboyu, Y. — Yıldız, F., "Radiographic Studies On Ancient Metal Artifacts-. International Symposium On Archaeometry, Atina. (19 - 24 Mayıs 1986).



Resim: 1 — Kütlenin fotoğrafı



**Resim: 2 — Kütlenin
radyografı**



Resim: 3 — Diskin üzerindeki yazıt



Resim : 4 — Altın diskin fotoğrafı



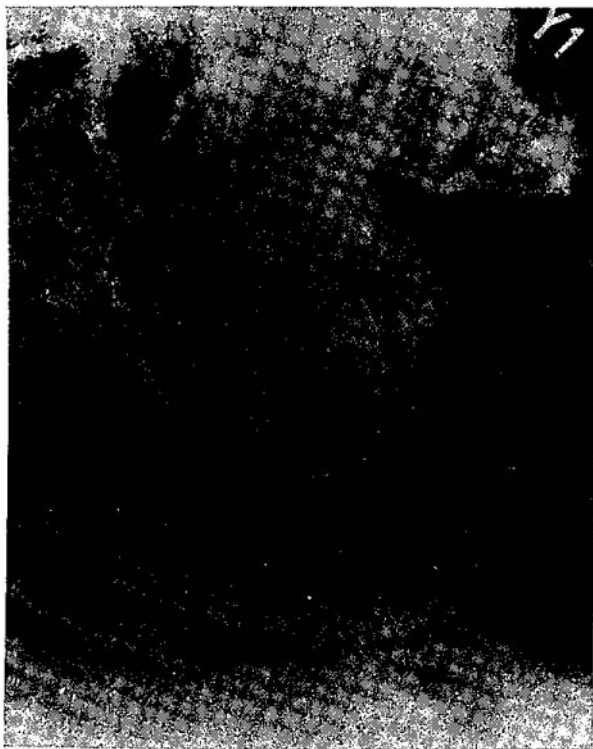
Resim: 5 — Altın diskin üzerindeki yazıt



Resim: 6 — Zırhın fotoğrafı



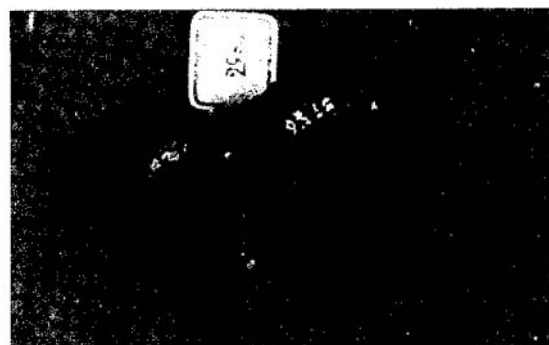
Resim : 7 — Zırhın çizimi



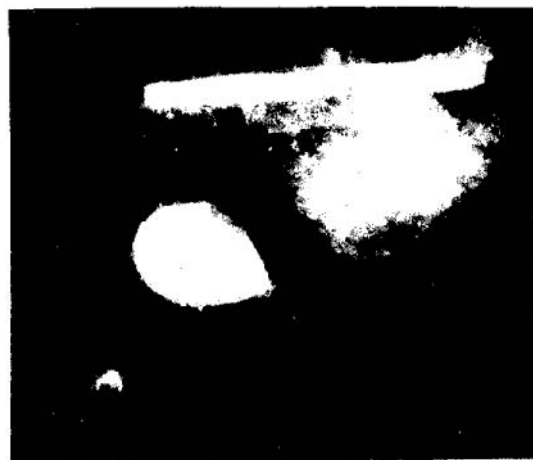
Resim: 8 — Zırhın raptiyelerin bulunduğu tarafının radyografi



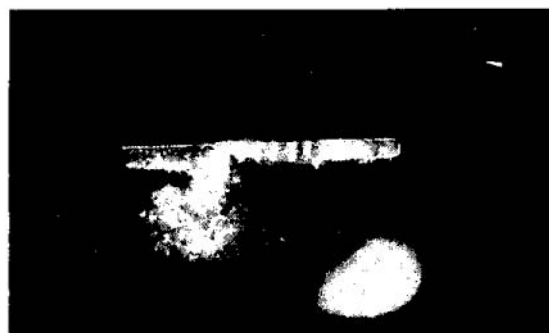
Resim: 9 — Zırh kumasının Betagrafi radyografi



Resim : 10 — Kilit aynası fotoğrafı



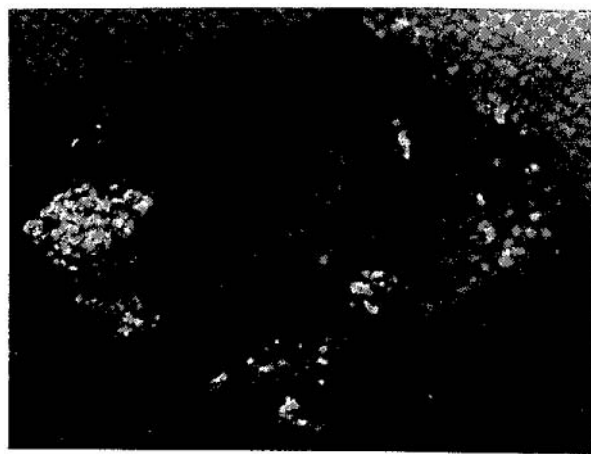
Resim : 11 — Kilit aynasının düşük dozda
çekilmiş radyografi



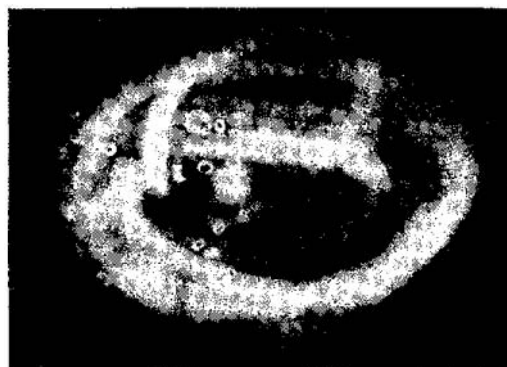
Resim : 12 — Kilit aynasının yüksek dozda
çekilmiş radyografi



Resim : 13 — Kilden
yapılmış
zarfli -
mektup-
ların rad-
yografi



Resim: 14 — Takı yumağının fotoğrafı



Resim: 15 — Takı yumağının radyografi



Resim : 16 — Migfer yanaklıının
fotoğrafı



Resim : 17 — Migfer yanaklıının
radyografi

CİZRE-MARDİN ULUCAMİ KAPISININ RESTORASYONUNDA RADYOGRAFİ TEKNİKLERİİNİN KULLANIMI

Beril TUĞRUL*
Filiz SUNGUR
Ayla GÖRKEM
Nazan ÖLÇER

ÖZET

Bu çalışmada, iki kanatlı Cizre - Mardin Ulucami kapı kanatlann- dan birinin restorasyonu sırasında pırıncı levhalann arka yüzlerinde rast- lanan motiflerin, ikinci kanatta da olup olmadığıının araştırılması, X-ış- ni radyografi tekniği ile gerçeklenmiştir. Kimi boyalı ve izler taşıyan parçalar tesbit edilmiş ve sokulup, temizlenerek görülmüştür. Çalışma- mızda, ikinci kapı kanadına ilaveten, birinci kapı kanadma ait temizlen- miş parçaların da onemli bir kısmının X-ışını radyografileri alınmıştır ve incelemesine gidilmigtir. Fazla olarak, bazı boyalı parçalara nötrografi tekniği uygulanarak, boyalı izi araştırması yapılmıştır.

ABSTRACT

In this study, one of the two sections of Cizre - Mardin Ulucami door is investigated by X-ray radiography technique whether it has some pat- terns similar to those which were discovered during the restoration of the first section of the door. Some painted and traced parts have been fixed and torn down, cleared and investigated. In the study, many pieces of the first part of the door including the second door have been inves- tigated by X-ray radiography technique and have been evaluated. Furt- hermore, neutrography has been applied on some painted parts for the investigation of traces of painting.

-
- (*) Dr. Beril TUĞRUL, İT Ü - Nükleer Enerji Enstitüsü, Ayazağa kampiisi
Maslak/İSTANBUL
Filiz SUNGUR, İstanbul Teknik Üniversitesi - Niikleer Enerji Enstitüsü, Ayazağa
Kampüsü Maslak/İSTANBUL.
Ayla GÖRKEM, Restorasyon ve Konservasyon Merkez Laboratuvarı.
Sultanahmet/İSTANBUL.
Nazan ÖLÇER, Türk - İslam Eserleri Müzesi Müdürü, Sultanahmet/İSTANBUL.

Cizre - Mardin Ulucami kapısı; her biri 300x120 cm²'lik iki kanatdan oluşmaktadır. Kapılar, ahşap üzerine kaplanmış pırıncı levhalar ile bunların üzerinde ayrı parçalardan oluşan kabartma pırıncı motiflerle bezmiş durumdadır. Bu kapı, Selçuklu dönemine ait (M. S. 13. yy) etnografik bir eser olup, tipinin nadide örneklerinden biridir'. Resim 1 ve 2'de kapının fotoğrafı goriilmektedir.

Kapı kanatlarından birinin restorasyon işlemi esnasında pırıncı motiflerin altındaki pırıncı levhaların alt yüzeylerinde motifler bulunduğu görülmüştür. Soz konusu bu motifler, pırıncı levhalar temizlenirken «tesadüf» eseri olarak ortaya çıkmıştır. Gözlenen odur ki; motifler her yerde bulunmamaktadır.

Çalışmamızda; henüz dokunulmamış olan 2. kapı kanadının X-ışını radyografi teknigi ile radyografisinin alınarak, bu kapıda kullanılan pırıncı levhalarda da, 1. kapı kanadında olduğu gibi motiflerin bulunup bulunmadığının tesbiti ve ozellikle boyalı motiflerin belirlenerek, restorasyonda dikkat edilecek yerlerin saptanmasına çalışılmıştır.

Ayrıca, 1. kapı kanadına ait parçaların üzerinde de çalışılarak ileri bazı bilgilerin elde edilmesi amaçlanmıştır. Fazla olarak, boyalı parçalar uzerine notrografi teknigi uygulanarak izler araştırılmıştır.

Çalışmanın gerçekleştirilebilmesi için İ. T. Ü. Nukleer Enerji Enstitüsü'ndeki, X-ışını radyografi cihazı, kapının restorasyon amacı ile bulunduğu Restorasyon ve Konservasyon Merkez Labaratuvar'na taşınmıştır. Nötrografi için ise, İ.T. Ü. Nukleer Enerji Enstitüsü'nde mevcut 250 KW gicundeki TRIGA Mark II Eğitim ve Araştırma Reaktörü kullanılmıştır.

KULLANILAN YÖNTEMLER

X-ışınları elektromagnetik radyasyon olup, dalgasal yapıya sahiptirler. Bu ışınların maddeyi katederek geçmesi soz konusudur. Ancak, ışın demeti maddeyi geçerken, eksponansiyel olarak zayıflar².

İşin demeti onune konan bir objeden, ışınların geçisi sırasında, obje içinde boşluk veya kanalcıklar var ise; obje kalınlığı soz konusu kesitte azalacağından, objeden çıkan işin demeti, diğer yerlerdekine oranla farklı olacaktır. Igte bu ozellikten yararlanılarak, objenin iç yapısına ait bilgi verecek görüntüyü elde etmek mümkün olur. Bu işleme «Radyografi», çekilen filme ise «Radyograf» denir. ³⁻⁴

Radyografin yeteri derecede iyi olması ve değerlendirmenin sağlıklı yapılabilmesi için dikkat edilecek önemli hususlar mevcuttur. Çalışma-

muzda önemli hususlardan birini «Geometri Faktörü» oluşturmuştur.²⁻³⁻⁴

Geometri faktorii; pratikte, ideal nokta kaynak kullanılamaması nedeniyle söz konusu olan bir faktordur. Kaynağın, tam nokta olmaması, film üzerinde elde edilen görüntüde bir «yarı - gölge» bolgesinin meydana gelmesine neden olur. Resim 3'de yan - golge teşekkürü şematik olarak gösterilmektedir.

Burada, obje kalınlığı ve biçimini ile objenin kaynaga (x_1) ve filme (x_2) uzaklıklarını onemlidir. Bu durumda, yan - golge kalınlığı (y); k genişliğindedeki bir kaynak için,

$$y = k \left(\frac{x_2}{x_1} \right) \quad (1)$$

olmaktadır. Buna göre, geometri faktörünün olabildigince elimine edilebilmesi için x_2 'nin olabildigince küçük tutulması gereklidir. Bunun içinde, obje, filmin üzerine yerleştirilir.

Objenin, filmin üzerine yerleştirilerek yapılan radyografik çalışmalarında, geometri faktoriinin ihmali edilebilecek mertebede olduğu kabul edilir. Ne var ki, çalışmamızda, radyografi çekimi; film, kapının arka yüzeyine yapıştırılarak gerçeklenmesine karşın, hakkında fikir sahibi olmayı amaçladığımız pirinç levhalara direkt olarak temas ettiğimizdir. Arada 4 cm. ile 9 cm. kalınlık arasında değişen bir ahşap malzeme daima bulunmuştur. Bu nedenle, gerçekleşen X-ışını radyografi çalışmasında geometri faktorii önem kazanmıştır.

Ancak, 1. kapiya ait tek parçalar, sökülmüş olduğundan film üzerine konularak çekim yapılmıştır. Dolayısıyla da bu parçalar için radyografi çekiminde geometri faktorii bir sorun teşkil etmemektir.

Çalışmamızda uygulanan bir ikinci radyografi teknigi «Nötrografi» dir. Notrografide goriintu, notron demeti içine oturtulmuş bir cismin içinde geçen notronlar yardımı ile oluşturulur.⁵⁻⁶

X-ışını radyografisinde kullanılan X-ışınları, atomun elektronları ile etkileşirler ve X-ışınlarının absorblanması, malzemenin atom numarasına bağlı olmaktadır. Bu durumda, X-ışını radyografisi ile, atom numaraların birbirlerine çok yakın elementleri ayirtetmek mümkün değildir.

Notronlar ise, yüksüz olduklarından, elektronlarla etkilegmezler buna karşılık çekirdekle etkilegirler. Bu durumda, X-ışını radyografisinin yetersiz kaldığı bazı durumlarda, notrografi iyi neticeler verebilir. Hafif elementler bu teknik için uygundur denilebilir.

Notrografide görüntü birkaç yöntem ile elde edilir. Çalışmamızda, bu yöntemlerden «transfer yöntemi» kullanılmıştır.

Bu yöntemde, cisim, nötron dcmcti içine arkasında uygun bir ekranla birlikte yerleştirilir. Ekran, iinundeki cismin geçirdiği kadar nötronadan etkilenerek, (n, γ) reaksiyonu ile gama aktif hale geçer. Işınlanmadan sonra ekran, film ile sıkı temas ettirilecek şekilde yerleştirilir ve bekletilir. Boylelikle film üzerinde görüntü elde edilir.

Çalışmamızda Disporsiyum - 164 ekran olarak kullanılmıştır. Objemiz ve disporsiyum ekran beraberce, TRIGA Mark II reaktörünün Tangent Işınlama tupunde, kolimatörsüz olarak, reaktör 100 KW'da çalışırken 15 dakika işınlanmıştır. Film olarak hızlı film kullanılmış ve işınlanan ekran film karşısında 1,5 yarı ömüür bekletilmiştir.

YAPILAN ÇALIŞMALAR

X-işını radyografi çekiminin kolaylıkla ger~eklenebilmesi için, Cizre - Mardin Ulucami kapısının 2. kanadı jeraskala asılmıştır. Bundan sonra, kendimizi denemek ve çekim parametrelerinin tayini amacı ile, 1. kanattaki motifli bir parça, çekim yapacağımız kapı üzerine yerleştirilecek X-işını radyografisi çekilmiştir. Resim 4'de böyle bir deneme radyografi görülmektedir. Boylelikle, bu tip bir motifin görülebileceği saptanarak, kapının kendisinin X-işını radyografi çekimine geçilmiştir.

X-işını radyografi çekiminin sağılıklı bir şekilde ve sistematik olarak ger~eklenebilmesi için kapı kanadının arkası, elimizde mevcut film boyutlarına ve kapının karkas yapısına uygun olarak markalanmış ve numaralanmıştır. Film yerleri söylelikle belirlendikten sonra, çekilecek her film için, o filmin oniine gelen bölgenin kapı ahşabı ve iistteki pırıç motifler incelenerek film çekim parametreleri tayin edilmiştir.

Çekimler sonucunda, kimi yerlerde pırıç kaplama levhaların çok karışık olarak üst üste bulunduğu, kimi yerlerde ise daha muntazam ve düzgün bir yerlestirmenin söz konusu olduğu gözlenmiştir. Resim 5 ve Resim 6'da karışık bölgelere örnekler görülmektedir. Resim 7'de ise düzgün bir yerleştirme yerine örnek verilmiştir.

Bu radyografların incelenmesinden, farklı yerleştirme usuluplannın söz konusu olduğu izlenimi edinilmiştir. Başka bir deyişle, kapının, bir den fazla restorasyon işlemi geçirdiği söylenebilir.

Ote yandan, radyografi çekimlerimiz sırasında, aynı kalınlıkta ve fakat farklı ahşaplara rastgelen yerlerde farklı çekim parametreleri ile çalışma zorunluluğu ortaya çıkmıştır. Fazla olarak bir filme iki farklı ah-

şabın girmesinin söz konusu olduğu kimi yerlerde bir ahşaba karşı gelen film yoresinde, film kontrasının, diğer ahşaba karşı gelen yöreye oranla farklı olduğu gözlenmiştir.

Bu ise, kullanılan ahşapların da farklılıklar gösterdiğinin delilidir. Daha önce de dephinliği gibi, radyografisi çekilen objenin farklı yoğunluktaki bolgelerinin radyograf üzerinde farklı kontrastlı görüntü vermesi beklenir. Bu husus da, kanaatimizce, kapının birden fazla restorasyon geçirdiğini gösteren bir başka kanittır.

Boyle durumlarla karşılaşılan yerlerde, once X-ışını radyografi filmlerinin bir on degerlendirmesi yapılmıştır. Bundan sonra, yeni çekim parametrelerinin tayin edilmesi ile, gereken yere gore X-ışını radyografi çekimleri tekrarlanmıştır.

Cizre - Mardin Ulucami kapısı 2. kanadının X-ışını radyografi tekniği ile yapılan çekimlerinden kimi izler tesbit edilebilmiştir. Resim 8 ve Resim 9'da bu izlerin görüldüğü radyograf örnekleri gorulmektedir. Resim 10'da ise, Resim 9'da tesbit edilen parçaların ayrı radyografi görülmektedir.

Resim 8 ve Resim 9'daki gibi yerlerde görülen izler, dövme izleridir. Nitekim, bu gibi parçaların sokiilmesinden sonra, bu durum aynen tesbit edilmiştir. Bu parçaların incelenmesi sonucunda, bunların önceden kabartma motifli elemanlardan alınan parçalar olduğu ve doviilmek sureti ile düzeltilerek kapı üzerinde kullanıldığı söylenebilir.

Kapının, daha sonra sökülmesi ile bazı ince motifli parçalara rastlanmıştır. Bunlar, X-ışını radyografi tekniği ile yeniden incelenmiştir. Resim: 11'de böyle bir parçanın fotoğrafı, Resim 12'de ayrı radyografi, Resim 13'de ise kapı üzerinde iken alınan radyografi gorulmektedir.

Bunlardan ayrı olarak, Resim 14'de ayrı radyografi görülen kimi boyali parçalar da tesbit edilmiştir. Ancak, bunlar astar boyali diyebileceğimiz parçalar idi ve herhangi bir motif seçilememekteydi. Bununla beraber, bu tip tiim parçalar X-ışını radyografi teknigi ile saptanmıştır.

Bu parçalara daha sonra, boyalı incelemesinin daha iyi gerçeklenebilmesi amacıyla notrografi de uygulanmıştır. Ne var ki, başka bir boyalı izine rastlanmamıştır.

Cizre - Mardin Ulucami kapısının 2. kanadından ayrı olarak, sökülmüş olan 1. kapı kanadına ait hemen biitiin parçaların X-ışını radyografları çekilmiştir. Resim 15 ve Resim 16'da bu parçalara ilişkin radyograf örnekleri görülmektedir.

Radyografların incelenmesi sonucunda, inotiflerin yapım tekniği net olarak görülebilmektedir. Bu motifler, Selçuklu dönemine ait nadide örneklerdir.

Kapının 1. kanadında tüm motif bulunan parçalar, Resim 15 ve Resim : 16'daki örnekler kadar iyi durumda değildir. Bununla beraber bazı boyalı motifli parçalar da bulunmaktadır.

1. kanada ait boyalı parçalardan birine notografi uygulanmış ve boyalı izleri saptanmıştır. Buradaki boyanın, astar gorunumunde olmakla beraber, organik kokenli olduğu söylenebilir. Bir başka deyişle kapının 1. kanadında rastlanan boyalı parçalar ile kapının 2. kanadında rastlanan boyalı parçalar birbirinin benzeri değildir. Fazla olarak, farklı kökenlidirler.

1. ve 2. kapı kanatlarındaki kimi parçalar üzerinde, radyografi tekniklerinden ayrı olarak, ultrasonografik kalınlık ölçüm tekniği de uygulanmıştır. Tablo : 1'de elde edilen sonuçlar bir araya toplanmıştır.

TABLO : 1 — Cizre - Mardin Ulucami Kapı Parçalarının Ultrasonografik Olarak Tayin Edilen Kalınlıkları

Kapı Kanadı	Parça No.	(mm)	Kalınlık	Açıklama
1	2	0,628	Boyalı Motifli	
1	7	0,612	Motifli	
1	19	0,420	Yıpranmış Motifli	
2	2	0,443		
2	17	0,260		
2	19	0,567		

Tablo : 1 incelenecək olursa, kapının 1. kanadında en kalın parçaların boyalı parçalar, orta kalınlıktakilerin boyasız, ancak net görülebilen motifleri olduğu, en ince parçaların ise silik motifli parçalar olduğu görülmektedir. Buna göre; yıpranarak incelmiş parçaların motiflerini kaybettigi, buna karşın az yıpranmış parçaların motiflerini ve hatta daha az yıpranmışların boyalarını da muhafaza edebildiği söylenebilir. İkinci kapı kanadındaki parçaların kalınlıklarının hayatı değişken ve 1. kapı parçalarına göre ince oldukları anlaşılmaktadır.

Bunlardan ayrı olarak, X-ışını radyografi tekniği ile kapı 1. kanadındaki yazı altı parçaları üzerinde ayrıca çalışılmıştır. Buradaki izler, yazının daha önce başka olduğu izlenimini vermektedir. Farklı çekim

parametreleri ile X - ışını radyografi çekimi yapılarak eski yazının okunması çalışmalarına yardımcı olunmuştur.

SONUÇ

Cizre- Mardin Ulucami kapisinin 2. kanadına ait restorasyon çalışmalannda, motif ve ozellikle boyali parçaların kapinin sökülmesinden önce tesbiti için X - ışını radyografi tekniği ile çalışılmış ve boyali parçalar belirlenmiştir. Aynca, kapinin 1. ve 2. kanatlarına ait çeşitli parçaların üzerinde. X - ışını radyografi, notrografi ve ultrasonografik kalinlik ölçüm teknikleriyle yapılan çalışmalarla, kapının etnografik değerlendirme yolundan yardım olunmuştur.

Butun bunlardan ayri olarak, hatta belki dahe onemli olarak, boyle bir çalışmanın gerçeklenmesi ile Universite ile kultur kuruluşları arasindaki radyografi çalışmalarının öncülügü yapılmıştır. Arkeolojik açıdan çok zengin olan ulkemizde, tumuyle Turk elemanların işbirliğinde gerçekleşen bu çalışma; belki de bu sahadaki çalışmaların artması ve gelişmesine «önemli» ölçüde yardımcı olacaktır.

TEŞEKKÜR

Bu çalışmanın gerçekleşmesinde, bildigimiz kadariyla, ulkemizde ilk kez Universite ve kültür kuruluşları arasında radyografi konusunda işbirliğinin yapılmasını sağlayan İstanbul Restorasyon ve Konservasyon Merkez Labarstuvari Müdürlüğü ve İstanbul Teknik Üniversitesi - Nükleer Enerji Enstitusu Müdürlüğü'ne ve bize yardımcı olan soz konusu bu iki kuruluşun ilgili elemanlarına teşekkür ederiz.

REFERANSLAR

- (1) Tapan, N., Aykoç, S., «Anadolu Medeniyetleri Sergisi III, Selçuk - Osmanlı - Bronz Bir Çift Kapı Kanadı», D. 95, Sayfa : 60, (1983).
- (2) Halmshaw, R., «Industrial Radiology Techniques», Wykeham Publications Ltd., London, (1971).
- (3) Bilge, A. N., «Nükleer Tekniklerin Endüstriye Uygulanması», Türkiye Atom Enerjisi Kurumu, Bilimsel Yayın No: 1, İstanbul, (1985).
- (4) Schneeman, J. G., =IndustrialX-Ray Interpretation.. Intex Publishing Company. Evanstone, Illinois, (1968).
- (5) Geçkinli, M., «Endüstriyel Notron Radyografisi ve Tomografi», Sinai Eğitim ve Geliştirme Merkezi Genel Müdürlüğü (SEGEM), İstanbul, (Kasım 1984).
- (6) Hasdt, P. von Der, Röttger, H., =NeutronRadiography Handbook», D. Reidel Publishing Company. (1981). ■

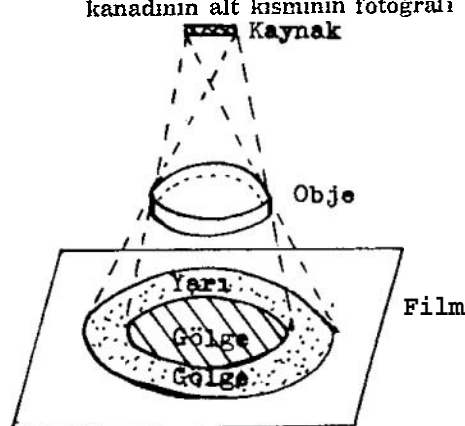


Resim: 1 — Cizre - Mardin Ulucami kapısı 2
kanadının üst kısmının fotoğrafı



Resim: 2 — Cizre - Mardin Ulucami kapısının 2
kanadının alt kısmının fotoğrafı

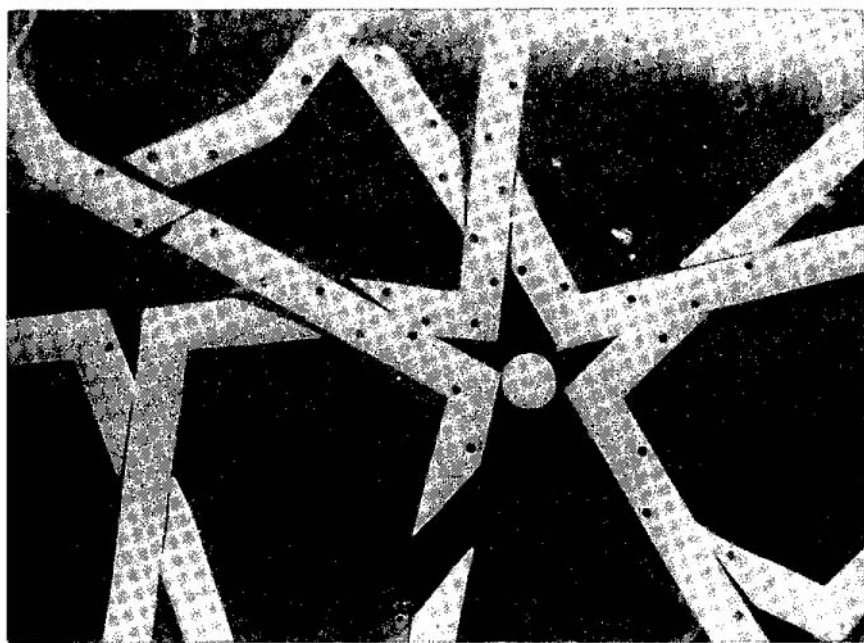
Kaynak



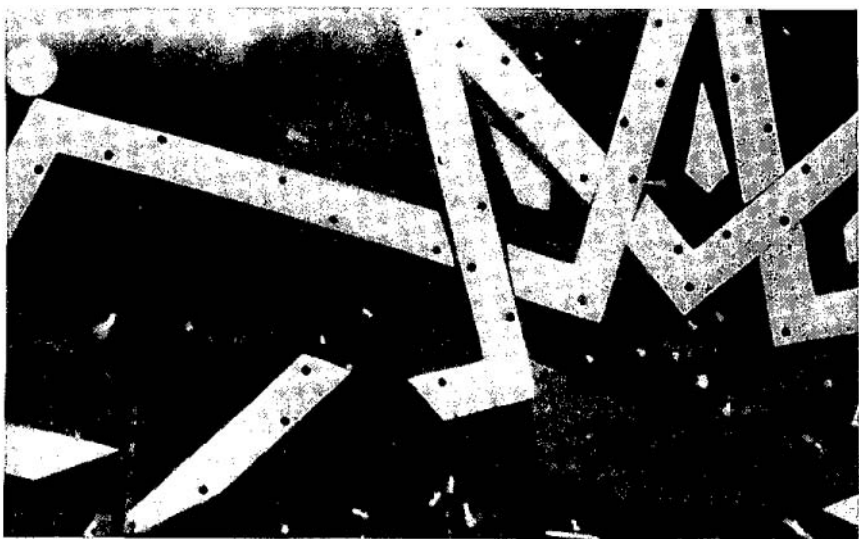
Resim: 3 — Yarı - gölge teşekkülü



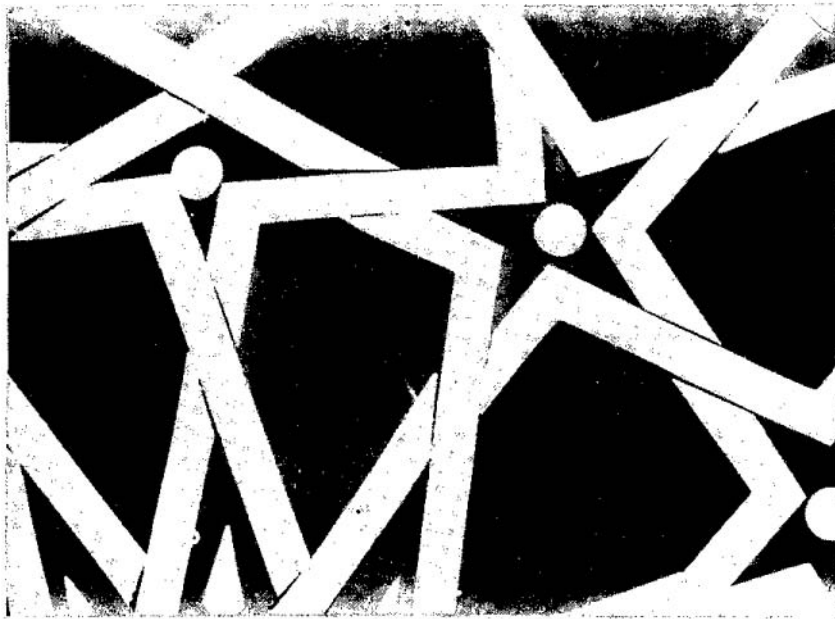
Resim: 4 — Deneme radyografi



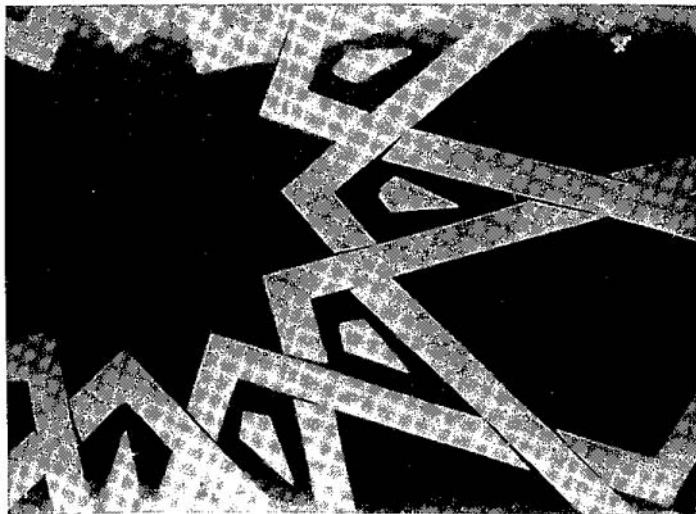
Resim: 5 — Karışık bölge radyografi



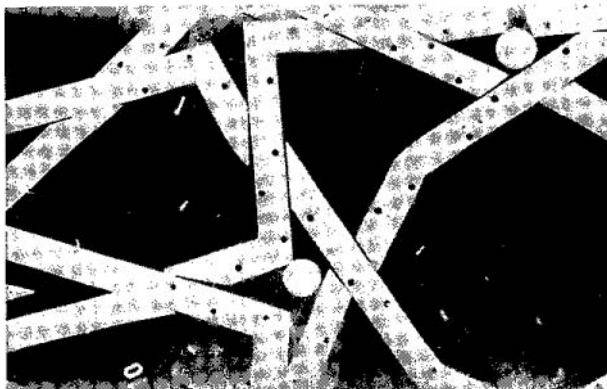
Resim: 6 — Karışık bölge radyografi



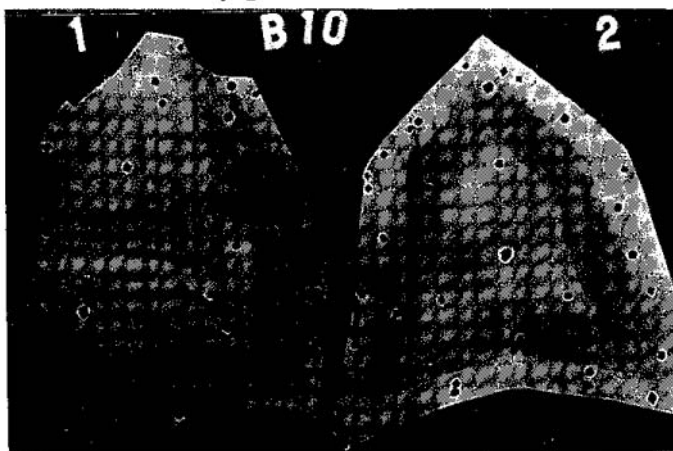
Resim: 7 — Düzgün bölge radyografi



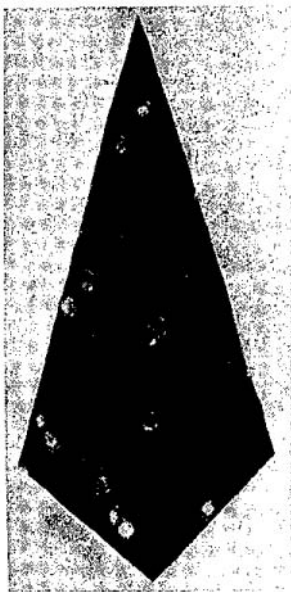
Resim: 8 — Dovme izlerinin görüldüğü bir radyograf



Resim: 9 — Diivme izlerinin görüldüğü bir diğer radyograf



Resim: 10 — Dövme izli parçaların ayrı radyografları



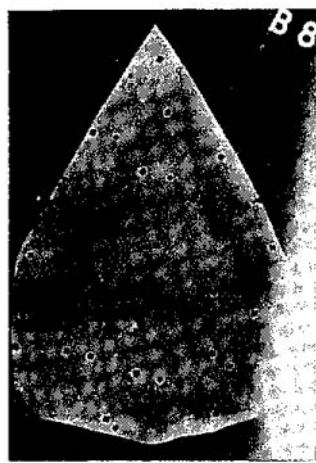
Resim: 11 — ince motifli bir parçanın ayrı fotoğrafı



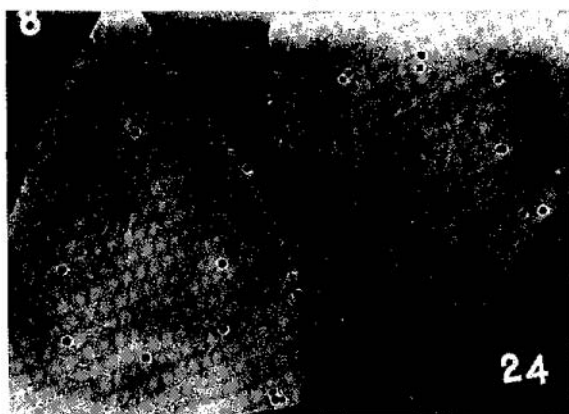
Resim: 12 — ince motifli parçanın ayrı radyografi



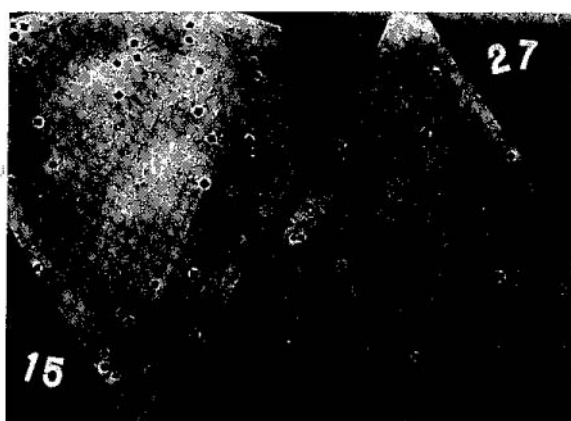
Resim: 13 — ince motifli parçanın kapı üzerinde iken alınan radyografi



Resim: 14 — Boyalı hir
parçanın
radyografi



Resim: 15 — Kapı kanadına ait parçaların
radyografları



Resim: 16 — Kapı kanadına ait parçaların
radyografları

KAZILARDAN ELDE EDİLEN YANMIŞ KEMİKLER ÜZERİNDE ARKEOBİYOLOJİK İNCELEMELER

Eşref DENİZ *

GİRİŞ

Olkemizde son onyıl içinde yapılan kazi çalışmalarında arkeologlar tarafından çıkartılan yanmış insan ve hayvansal kemik fosil materyalinin bir kesimi Arkeobiyoji laboratuvarında repertuarımıza alınarak medikal yönden incelenmiştir. Bu materyal :

- A - Olulerin yakilarak gomulmelerinde (ileri, orta ve duguk derecelerde),
- B - Yangınlarda (Combution) yanarak,
- C - Litosferin jeolojik katlarında yakici kimyasal maddelerle (kemikaller) birlikte, iç içe bulunarak fosillegmektedirler.

İncelenen materyal Sn. Prof. Dr. Baki Öğün'ün Patnos - Dedeli oda mezarlarda yaptığı Urartu, Aşağı Fırat Habibuşağı erken Demir Çağı kazıları ile ²⁻³ Sn. Prof. Dr. Refik Duru'nun gerçekleştirtiği Kuruçay Höyük kazi çalışmalarından sağlanmıştır⁴.

Genellikle insanların ölülerini gerçek bir hijyenizasyon amacıyla yakarak ortadan kaldırma adetleri bugiin biyogenetik yönden disposable soma olarak tanitilan vucudu çukura (Fossa), mezara gömme, ortup kapatma, bir çömlege (urne) koyma bicimleri ile farklı uygulama tipleri göstermektedir. Bu ayriciliklar, «yakarak olu gömme» adetinin hiçbir zaman etnik bir gruba, ozel bir topluma maledilemeyecek kadar yaygın olduğunu göstermektedir. Bu kemikler, yakarak yapılan gommelerde, krematoryurnlardan arda kalan kalıntırlarda, ulusal zenginliklerine göre yakılmış materyalin yerleştirildiği oda mezarlarda, urnelerde, küpçömlekler içinde, yada rastgele atılmış, terkedilmig (sporadic) vaziyette bulunmaktadirlar. Öte yandan yakilarak yapılan insan gommelerinin yanında mezara ya da ilgili urneye, çömlege o insanların hayvanlarının da yakilarak birlikte konuldukları da görülmektedir.

(*) Prof. Dr. Eşref DENİZ — A. Ü. Tip Fakültesi Tıbbi Biyoloji Anabilim Dalı Başkanı Sıhhiye/ANKARA.

Bittel' ölüyü yakarak gomme adetinin ilk kez Avrupa'da Neolitik Çağdan itibaren ortaya çıktığını, bu adetin daha sonraları Kafkasya, Kuzey Karadeniz, Balkanlar ve Önasya'ya doğru yayıldığını bildirmektedir.

Yanmış fosil kemiklerini ilk inceleyip degerlendirenler C. WELLS (1961-1964) ve N. - G. GEJWALL (1963) olmuştur. Daha sonra 1980 yılında yanmış fosil kemikler INGRID KÜHL tarafından tıbbi bir yaklaşımla yeniden ele alınmıştır⁵. KOHL, GRIMM'in 1977 de Arkeolojinin Antropoloji, Patoloji ve Medicina'ya katkılarını amaçlayan temel çalışmasından yararlanarak yanmış kemikleri komparatif incelemig, Arkeoloji, Human Biyoloji ve Tıp arasındaki ilginç ilgi ve bilgi akışını (interaction) pozitif bilim açısından birkez daha tesbit etmiş bulunmaktadır.

Morfolojik bütünlüğünü, formunu koruyacak şekilde yakılmış veya yanmış kemiklerde en çok dikkati çeken ozellilc HARRIS ÇİZGİLERİ-DİR (Harris's lines). Kul, toz, partikul haline geçmemiş kemiklerdeki bu Harris çizgileri, retrospektiv bir degerlendirme ile kişinin, bireyin içinde bulunduğu, zaman diliminde yaşadığı açlık, kıtlık, yokluk, yetersiz beslenme, çeşitli salgın-infeksiyon hastalıkları nedenleri ile kemiklerde oluşmuş nonnalden daha dar halkalar, yada daha geniş kemikleşme alanlarıdır (ossification biyopatolojisi). İşte bu çizgilenmeler adını, bunları ilk kez histolojik ve radyografik olarak inceleyen Harris'den almıştır⁵.

Bu çalışmanın amacı, özellikle yakma ile yiísek ısı karşısında ve zamanla belirgin hale gelen kemiklerdeki Harris çizgilerini ve çeşitli de recelerde yanmış kemiklerin stereomikroskopik ve radyografik inceleme lerini yaparak Anadolu materyalinin ait oldukları zaman periyodunda form verdikleri, biçimlendirdikleri bireyleri arkeobiyoloji ve tıbbi-eko loji açısından degerlendirmektir.

ARAŞTIRMA

1. Patnos - Dedeli Urartu oda mezarlarda bulunan yakılarak gömulmug bir kadın ve erkek iskeleti : İyice yakılarak (maximal) oda me zara yerleştirilmiş iskelet kemikleri adeta tebeşir halini almışlardır. Renkleri krembeyaz, sıkıştırılırsa hemen ezilip tozlanmaktadır⁴. Bu kemiklerin organik kesimi çoğunlukla yanmış, geriye kalan inorganik kesim apatit (alp) halini almış ve rutubetin, suyun etkisiyle, zamanla hidroksiapatit durumuna geçmiştir. Normal kemiklerdeki, hidroksiapatit kristal yapısı, fiziksel yönden bozulmuş, kemik sertliğinin son derecede azalmış olduğu saptanmıştır (Resim : 1-5).

2. Habibuşağu urneli mezarlığında bulunan şapka kapaklı bir urne'de taninabilen tüm kemik ve kink parçalardan oluşmuş ve iyice ya-

kılmış bir adolesens genç erkek iskelet kemikleri bulunmuştur³. Kemikler ince tozlarından temizlendikten sonra stereomikroskop altında incelenmiştir. Daha ileri degerlendirmeler için radyografileri alınmıştır. Gerek çıplak gozle makroskopik, gerekse stereomikroskobik ve radyografik incelemelerde, normal sağlıklı kemiklerde bulunmayan kemiklerde Harris ozel çizgileri tesbit edilmiştir.

Harris çizgilerinin en çok görüldüğü iskelet kemikleri ve bolgeleri sırası ile şöyledir : Femur'un distal, Tibia'nın proximalini kapsayan diz (Genu) bolgesiyle, Tibia'nın distali, Scapula'nın fossa articularis'i, ilium'un erista'si, ischium, carpal ve tarsal kemikler, cranium kemiklerinden Temporale, parietale, kemik orbitanın duvarları. Harris çizgileri ozellikle uzun kemiklerde bu kemiklerin diafizlerinde beliigindir. Çizgiler, uzun kemiklerde transversal uzanırken, yassi kemiklerde oblik (eyik) seyretmektedirler. Bu seyirler, kemiğin biyoarketektral yapısına bağlı olarak, kemiğin dokusunu oluşturan Osteon silindirleri, kemik trabecula, lamellerinin diziliş, bağlanış apları ile bu bolgeleri açıkta bırakılan organik ve anorganik madde eksiklikleri ve yüksek ısı karşısındaki genleşmelerle (expantion) ilgilidir. ⁶⁻⁷

Harris çizgileri gerçekte kompakt kemik dokusunda değil, spongios dokuda meydana gelmektedir. Kompakta ile kaplı iken kemik yüzeyinde gorulmeyen bu çizgiler ancak, yıpranmış, bozulmuş, yanmış kemiklerde ve ozellikle radyograflarda belirmektedir.

Bu çizgiler, prehistorik kemiklerde Calvin Wells ve Nisls-Gustav Gejwall tarafından araştırılmıştır.⁵⁻⁷ Uzun kemiklerde katılaşmış çatlaklar biçiminde goriilen Harris ~izgileri zamanın hastalık, ydkluk, kitlik, sıkıntı ve stress altında geçen, zor yaşamına, büyük ölçüde ışık tutmaktadır. Delikanlı iskeletimizde bu çizgi ve çatlaklar oldukça belirgin ve çarpıcı olarak bulunmuştur (Resim : 6-9).

3. Kuruçay Hoyuk kazlarında yakarak urne'ye koyma stili bulunamamıştır. Fakat dağınık biçimde, sporadic az çok kararmış, kömürleşmiş, karbonize kemik parçalarına rastlanmıştır. Kemiklerin çok hafif, yuzlek yandığı, kemik yuzeylerinde, kompakt substansta tesbit edilen yüzey yanmasından anlaşılmaktadır. (Minimal yanma). Kuruçay Hoyiik yanmış kemik materyeli «Yangın Katından» sağlanmıştır⁴.

SONUÇ

İskelet kemiklerinde yanmanın derecesine gore değişen karbonizasyon, renk kararması, sararma, kireçlenme, beyazlaşma ve Harris çizgileri adı verilen transversal, oblik yönlerdeki kemik çatlakları şeklinde beliren ve yanmış kazı fosil kemik materyalinde görülen bu abnormal

yapının incelenip değerlendirilmesi ile arkeoloji, arkeopatoloji ve tip arasında önemli bir kopru kurulabilmektedir.

Bu tip Harris çizgi ve çatlaklarını taşıyan kemikler kazı bölgelerinden kitle halinde çıkacak olursa ancient toplumda, geçmiş dönemlerde prehistorik ya da historik evrelerde besleme durumu, ekolojik ortamın yetersizliği, yetersiz beslemenin uzun surmesi, salgın hastalıkların uzun süre devam etmesi, kıtlık, açlık (starvation) captivitet (esaret, tutukluluk, hava kirliliği, oksijen yetersizliği (hypoxia) toksik gazların atmosferde artışı, kronik kurşun ve arsenik zehirlenmeleri (özellikle ortaçağın cam işletmelerinde) sonucu iskelet sistemlerinde olduğu anlaşılmaktadır. Bu qızgiler, sonradan yüksek ısı, ateşin kemik doku yüzeyindeki konservatif etkisi ile kemiğin apatide dönüşmesiyle daha dirençli hale gelmesi nedeniyle uzun süre sağlamayı başarmışlardır.

Göründüğü gibi kemik gelişimi (ossification) ile çok yakından ilişkili olan Harris çizgileri, geçmişin açlık, malnutrisyon, protein ve vitamin eksiklikleri (avitaminosis) kronik anemia, emosyonel depresyon, fatal hastalıklar sonucu ilk 2-3 yaşın kemik gelişimindeki hızlılık gibi değişiklerini bugüne yansıtımaktadır.

Bu nedenle ince Harris çizgileri kemikte büyümeye hızının azaldığını, yavaşladığını, sık ve kalın çizgiler büyümeyenin duraklığını ortaya koymaktadır. Öte yandan Harris çizgileri, yakarak oluşturma ve krematorium usullerinin tekniğini de açıklamaktadır.

Harris çizgilerinin bir uzun kemikdeki sayısı ve kalınlığı, bu gelişlerin köylü ve şehirliler arasındaki ayrılığı, koylulerde daha kalın, şehirlilerde daha ince oluşu şehirleşmenin (urbanisation) karakterini göstermektedir.

Araştırmada, en çarpıcı ölçülerde Harris çizgilerine Urartu buluntularında rastlanmış olması, M.Ö. 800-900 lerde yerleşim bulan Urartu halkında bir beslenme yetersizliği, kıtlıkla karışık zorlu bir hayat yaşamış olması ihtimalini düşündürmektedir.

Ayrıca bu vesile ile, yakarak ölü gömme adetinin Anadolu'da M.O. ikinci binde Hitit kültürleri, 1. binde de Urartu kiiltiirleri ile bağlantılı olduğu bildirimi de¹, bu araştırma ile bir kez daha desteklenmekte ve Habibuşağı tepesi urneli mezarlарının bu ilişkinin Erken Demir Çağ halkasını oluşturduğu sanılmaktadır.

Son olarak, yanmış fosil kemiklerde molekul düzeyinde, İyon düzeyinde ilerde yeni uygulamaya konulan Arkeolojik Mikroskoplarla yapılacak biyokimyasal incelemelerde, yakınmanın şeklinin ne olduğu, nasıl olduğu konularında daha ayrıntılı bilgiler çıkacağının anlaşılmaktadır.

ÖZET

Tiirkiye'de arkeologlar tarafından son 10 yıl içinde yapılan çeşitli bölge kazılarından elde edilen yanmış kemik fosil materyali arkeobiyo-lojik yönünden incelenmiştir. Yanmanın derecesine göre yanmış fosil kemikler 3 ana grup altında toplanmıştır. Özellikle, M. O. 800-900 yıllarında yaşamış Urartu kalıntılarından bir urne içinde bulunmuş genç bir delikanlı erkeğe ait iskelet kemiklerinde tesbit edilen özel ossifikasyon çizgileri (Harris's lines) arkeobiyoloji, arkeopatoloji ve tıp yönünden ayrintılı biçimde değerlendirilmiş ve bulgular literatür katkısıyla tartışılmıştır.

SUMMARY

Archaeobiological Studies of Some Ancient Burned Bones

Some ancient burned bones excavated from different archaeological sides of Turkey in the last ten years were investigated archaeobiologically. The burned bone material were classified in 3 subgroups according to the degress of burning.

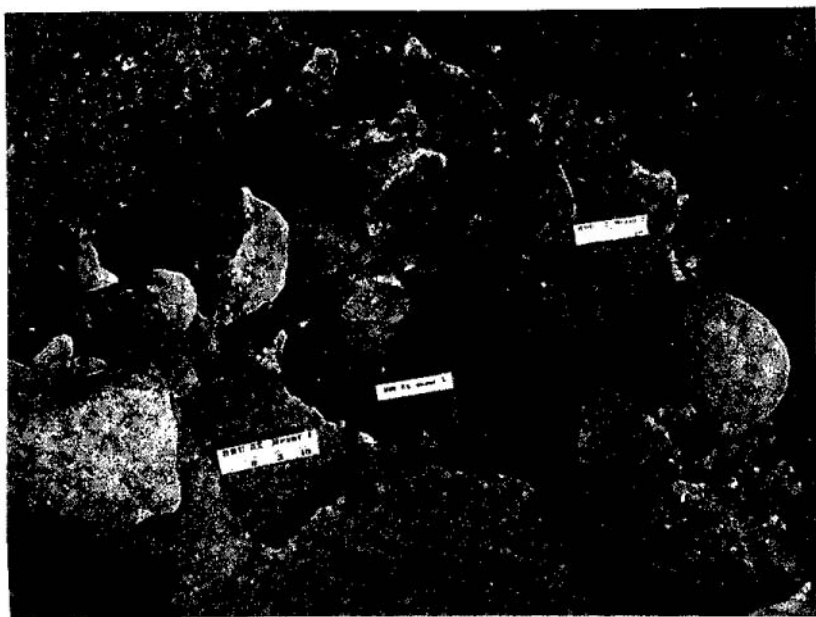
Especially the Harris's lines developed as malformed ossification lines of a urartu young man skeleton founds in a urn from 800-900 BC were described and discussed from the view points of archaeopathology and medicine.

KAYNAKÇA

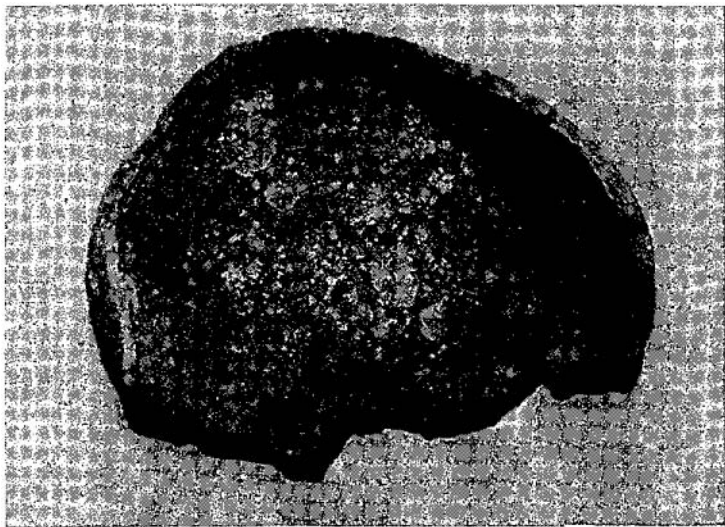
- (1) Bittel, 1958. 41.
- (2) Deniz, E.: Urartu Oda Mezarları Kemik Kalıntıları Üzerinde Arkeobiyolojik Araştırmalar. Ankara Tip Bülteni 2, 2, 102; 112. 1980.
- (3) Deniz, E.: Habibuşağı Yazılı Kaya Tepesi Erken Demir Çağrı UrneLİ Mezarlarında Arkeobiyolojik Değerlendirmeler. Anadolu Medeniyetleri Sempozyumu Araştırma Sonuçları Toplantısı Bildiri Özeti, 1983.
- (4) Deniz, E.: Kuruçay Höyük Kazı Buluntuları Üzerinde Arkeobiyolojik Araştırmalar. Anadolu Araştırmaları IX. Edebiyat Fak. Basımevi, İstanbul, 1983.
- (5) Kühl, I.: Harris's Lines and their Occurance also in bones of prohistoric cremations. Ossa, vol. 7, 129 - 171, 1980.
- (6) Singer, C.: A history of Biology. Abelard - Schuman. London and New York. 1959.
- (7) Well, C. and Cayton, H.: The Human Bones. East Anglican Archaeology, in Kühl, 1980.



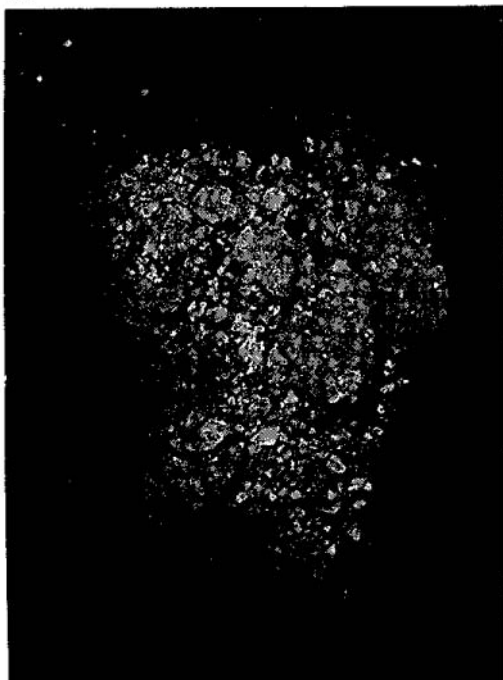
Resim: 1 — Patnos - Dedeli oda - mezardında bulunan iyice yakılmış bir erkek ve kadın iskelet kemik kalıntıları (Urartu M.O. 800 - 900).



Resim: 2 — Habibuşağı urneli mezarlığında bulunan ve içinde bir delikanının yakılmış kemiklerini saklayan şapka kapaklı urne



**Resim: 3 — Patnos - Dedeli materyalinin
iyice yanmis makromolekulerinin sol cranium boslugu
icinde demonstratif gorunumu**



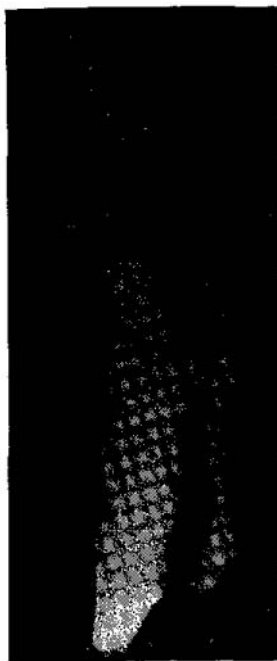
**Resim: 4 — Yanmis kemik makromolekllerinin (toz)
gorunumü.**



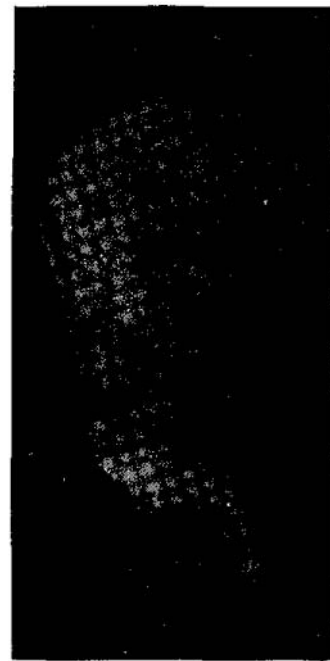
Resim: 5 — Çeşitli derecelerde yanmış (az, orta, ileri) fosil kemiklerin bir arada komparatif demonstrasyonu (Patnos, Habibuşağı, Kuruçay materyalil



Resim: 6 — Şapka kapaklı urnede bulunan delikanlı iskelet kemiklerinde yanma ile belirgin hale gelen transversal circuler, oblique Harris çizgileri (Temporale Humerus ve Tibia).



Resim: 7 — Tipik
Harris
çizgilerinin
Humerus'un
Substantia
spongiosa'
sında görü-
nümü



Resim: 8 — Calcaneus'da
değişik yön-
lerdeki Hams
çizgileri



Resim: 9 — Calcaneus ve olecranon'da
circuler ve oblique
Harris çizgileri

ÇAYÖNÜ KAN ANALİZLERİ İLE İLGİLİ İLK BULUNTULAR

Halet ÇAMBEL*

British Columbia'nm Victoria B. C kentinde British Columbia Provincial Museum uzmanlanndan Thomas H. Loy'un arkeolojik kazılarında ortaya çıkan taş ve kemik aletler üzerindeki kan ve doku gibi protein kalıntıları ile ilgili araştırmaları, geliştirdiği yöntemler ve bu yöntemlerle bilimsel yönden açılabilecek olası ufuklar konusunu gqen toplantıımızda ele almıştık¹.

Bu yöntemleri 1985 kazı döneminde Çayönü buluntulan iizerinde denemek ve uygulamak amacıyla, ekibimizden Andrée Robitaille Wood'un Thomas H. Loy'un laboratuvarında ozel programlı ozel bir kurs görmesi sağlanabildi. Gösterdiği yakın ilgi ve butun bilgileri paylaşmakta gösterdiği cömertliği için Thomas H. Loy'a teşekkür ederiz.

Çayönü insanların yararlandıkları, o çağlara ait türlere özgü hemoglobin kristal biçimlerini saptayabilmek için, ilk önce Çayönü'nde bulunmuş kerniklerden örneklerin alınması gerekti. Bu suretle sığır (*Bos primigenius*), keçi (*Capra*), koyun (*Ovis*), geyik (*Cervus*) ve insana ait hemoglobin kristal biçimleri saptanabildi. Ancak, keçi ile koyun arasındaki ayrılığın daima kesin olmaması nedeniyle, bunlar gerektiğinde *Ovis/Capra* şeklinde ele alındı. Ayrıca, örnekler seçildiği sırada bazı türlerin elde olmaması nedeniyle, domuz (*Sus*), atgiller (*Equus*), ceylan (*Gazella*) örnekleri Çayönü'ne yakın sayılabilcek Carmo'dan sağlandı.

Daha ilk analizler sonucunda pek ilginç sonuçlar elde edilebildi.

Mozaik ("terrazzo") dösemeli yapının² tabanından küçük bir parça iizerinde mikroskopla yapılan incelemede, insan, *Bos primigenius*, ve koyun/keçi hemoglobin kristallerine rastlandı.

(*) Prof. Dr. Halet ÇAMBEL, Birinci Cad. 212 Arnavutköy/İSTANBUL

(1) Halet ÇAMBEL, «Doğa ve Fen Bilimlerinde yeni Yöntemler: Kan ve Doku Analizleri», I. Arkeometri Sonuçları Toplantısı [Ankara 20 - 24, 5. 1985], Eski Eserler ve Müzeler Genel Müdürlüğü, 1986.

(2) H. ÇAMBEL, R. J. BRAIDWOOD, M. ÖZDOĞAN, «Çayönü Kazısı 1984 Yılı Çalışmaları», IV. Kazı Sonuçları Toplantısı [Ankara 8 - 12 2. 1982] Eski Eserler ve Müzeler Genel Müdürlüğü 1983, res. 10

Aynı yapının kuzeydoğu kogesinde yer alan, bir çeşit kum taşından yapılmış yarı yuvarlak yapıpta³ da insan ve **Bos primigenius** kanına özgü hemoglobin kristalleri izlendi.

Aynı yapı içersinde bulunan ve bir yan kenarında bir **insan yüzü** kabartması bulunan tag levhada da⁴ **insana** ait hemoglobin kristallerine rastlandı.

Kafataslarının depolandığı yapının on mekân ya da avlusunda bulunan kocaman tag levhada⁵ yapılan hemoglobin kristal testi ve immoglobulin leke testi sonucunda burada da **insan**, **Bos primigenius** ve **Ovis/Capra** kan izleri izlendi.

Evdan çok topluma hizmet eden bu anıtsal yapılarda rastlanan bu kan izleri her ne kadar arızı bir takım olguların sonuçları da olabilirlerse de, adak/kurban gibi bir takım işlevlerle ilgili olmaları da olasılık kazanmaktadır. Araştırmalar derinleştirikçe bu konularda daha kesin sonuçlara varılabileceğimizi umuyoruz.

(3) Ay. es. res. 9

(4) H. ÇAMBEL ve R. J. BRAIDWOOD der., **İstanbul ve Chicago Üniversiteleri Karma Projesi, Güneydoğu Anadolu Tarihöncesi Araştırmaları**, İstanbul, 1980, lev. 41.2

(5) H. ÇAMBEL, R. J. BRAIDWOOD, M. ÖZDOĞAN, W. SCHIRMER, «**1984 Yıl Çayönü Kazısı**», VII. Kazi Sonuçları Toplantısı (Ankara 20 - 24.5. 1985), Eski Eserler ve Müzeler Genel Müdürlüğü, 1986, res. 9

KARAİN 1985/1986 NATURWISSENSCHAFTLICHE UND TECHNOLOGISCHE UNTERSUCHUNGEN

Gerd ALBRECHT *
Hubert BERKE
Hansjurgen MÜLLER-BECK

Im Herbst 1985 war unter Gesamtleitung von Frau Dozentin Dr. Işın Yalçinkaya das Institut für Urgeschichte der Universität Tübingen mit Mitteln der DFG an der Ausgrabung der Universität Ankara in den Karain-Hohlen beteiligt. Es konnten in Tübingen auch erhebliche Teile der Auswertungen vorgenommen werden, um so eine Basis für die Planung weiterer Ausgrabungen in den als Fundstellen ausserordentlich bedeutsamen Hohlen zu schaffen. Gegraben wurde in den verfestigten Travertinen der Hohle E mit ihren durchweg älteren Horizonten, die schon von I. K. Kokten in langjährigen Arbeiten angeschnitten wurden und deren Artefakte I. Yalçinkaya in ihrer Habilitationsschrift kurzlich vorgelegt hat, aber auch in der Hohle B mit ihren lockeren Ablagerungen. Auch hier hatte bereits I. K. Kokten Grabungen ausgeführt, die Mittel- und Jungpaläolithikum ergeben hatten.

In E mussten die Travertine mit Meissel und Steinsäge angegangen werden, während in B im üblichen Verfahren der Einzeleinmessung gegraben werden konnte, soweit es sich um palaolithische Straten handelte, während die postpal'aolithischen, reiche Keramikfolgen bildenden Sedimente in relativen Horizonten abgebaut wurden, um zunächst Zeit zu sparen (Abb. 1). Die Lagerung ist bis hinunter zum Archäologischen Horizont (AH) 13 teilweise durch standige Störungen starker Aktivitäten des Menschen sehr unruhig, dennoch machen die zahlreichen Scherbenfunde eine Kekonstruktion der primären Abfolge möglich.

Unter einer durch Kalkausfällungen verfestigten Zone, deren endgültige Interpretation noch Sache der Sedimentologie sein wird, folgen die eher ruhiger wirkenden Straten mit palaolithischen Funden. Unter

(*) Dr. Gerd ALBRECHT — Hubert BERKE — Prof. Dr. Hansjürgen MÜLLER - BECK Universität Tübingen Institut für Urgeschichte (Jägerische Archäologie) Schloß D-7400 Tübingen 1 W. GERMANY

genauer Einmessung wurde der Quadratmeter F/4 bis zum AH 21, der Oberkante einer Knochenzone im Geologischen Horizont (GH) 6 ergraben. In E/4 wurden unter Beachtung der GH-Grenzen relative Horizonte von 5 cm Mächtigkeit ohne Einzeleinmessung ergraben, die das ganze Jungpaläolithikum (dort AH 15-30) durchfuhren und in AH 31 und 32 noch das Mittelpalaolithikum im Liegenden erreichten (Abb. 2). Es ist bereits von Interesse, die beiden Dokumentationsmethoden in ihren Ergebnissen zu vergleichen.

Die sedimentologische Bearbeitung erfolgt für beide Höhlen, die insgesamt erhebliche Teile des Jungpleistozans und das ganze Holozän abdecken, durch H. LAVILLE, Bordeaux, und M. HOYOS, Madrid, mit rund 100 Sedimentproben. Ergebnisse sind noch nicht verfügbar.

In Hohle E konnte wegen der Schwierigkeiten der Gesteinstrennung nur relativ grob ausgelesen werden, während in B alle Proben in zwei Stufen (4 mm und 1 mm Maschenweite) geschlämmt wurden. Dazu kam noch ein Aufspulen mit 0,6 mm Maschenweite («Floaten») durch das nicht nur Pflanzengrossreste, sondern auch zahlreiche unzerstörte Mollusken und weitere Kleinsaugerreste geborgen werden konnten.

Die Inventarisierung der Funde konnte mit 50 % des Zeitaufwandes schon auf der Grabung kontrolliert durchgeführt werden. Darin eingeschlossen war auch die Grundbestimmung von Artefakten und Tierresten.

Unter den Pflanzengrossresten sind bemerkenswert frühe Olivenkerne zu nennen. Die Pollenfloren erwiesen sich als hochinteressant, da sie neben eher gleichbleibenden oder wenig markant variierenden Baumpollenanteilen - die aber relativ gering sind - umfangreiche Steppenkrautpollen enthalten, die in der beobachteten Abfolge auch auf Umweltveränderungen merkbar reagieren sollten. Allerdings werden zur genaueren Bearbeitung hier eine Reihe von methodologischen Vorarbeiten bis hin zur rezenten Pollenbestimmung notwendig werden. Eine einfache Bestimmung nur der Pflanzengattungen diirften unzureichend und unter Umständen sogar irreführend sein. Es stehen aus der Sondage auch über 100 Pollenproben zur Verfügung. Auf die Kontrollbohrung im Vorland musste vorläufig verzichtet werden, da dazu erst Sedimenttiefenmessungen in größerer Fläche notwendig sind.

Besonders weit konnte die Bearbeitung der Grosssauger gefördert werden. Hier überwiegen im Jungpalaolithikum Wildschaf und Wildziege, die aber in sich in der Häufigkeit variieren. Von AH 29 bis 24 überwiegen eher die Ziegen und von AH 23 bis 20 die Schafe (Abb. 3). Interessant ist auch die Erhaltungsaussage der Knochen, die in AH 31 und AH 23 bis 21 deutlich besser erhalten sind als zwischen AH 29 bis AH 24

und AH 20 bis AH 16. Noch deutlicher ist die Korrosion in AH 15 unter Einfluss des Postglazials. Offenbar kommt in dieser Sequenz (Abb. 4) der Wechsel zwischen trockeneren und feuchteren Klimabedingungen sehr gut zum Ausdruck. Bereits im Chalkolithikum muss die Hohle teilweise als Ziegen- und Schafstall gedient haben.

Die Bestimmung der Mollusken bestätigt in etwa die Befunde der Knochenkorrosionsstatistik, da hiernach die trockenste Phase ebenfalls im Bereich von AH 23 liegt. Außerdem konnten eine ganze Reihe von bisher noch unbekannten Schneckenarten nachgewiesen werden, die erstmals beschrieben werden können (10 Arten). Ein für Archäologen unerwartetes Nebenergebnis.

Einige erste 14-C-Datierungen geben Anhaltspunkte für die Lage der jungpalaolithischen Horizonte: 14.160 ± 210 BP (HD 10557 - 10426) für Hnlzkohle aus AH 19 und 16.250 ± 790 BP (HD 9814 - 9698) für eine Holzkohlensammelprobe aus AH 21 bis 23.

Im Vordergrund der Auswertung steht auch die technologische Bearbeitung der Steingeräte. Dabei geht es einmal um die Grundproduktion (Herstellung von Abschlägen und zurückbleibende Kerne) mit seinen stärkeren Klingentendenzen im Jungpalaolithikum und deren Vorläuferverfahren im späten Mittelpalaolithikum. Zum anderen wird versucht, die Merkmale der modifizierten Stücke möglichst objektiv zu erfassen, ohne eine allzu summarische typologische Definition vorzunehmen, die das vorderasiatische Jungpaläolithikum in seinen Gerätbeständen schwer verständlich gemacht hat. Dabei ist erkennbar, dass in den tieferen Horizonten (ab AH 27) dreieckige Formen und Ruckenspitzen überhaupt fehlen, auch Knochennadeln fehlen dort. Dem entsprechen auch gröbere Werte für Länge x Breite: Dicke für AH 27 - 30 (= 4,5) gegenüber AH 16 - 26 (= 4,9). Dies konnte mit einem Wechsel der Jagdtechnik ab AH 26 zusammenhängen (Abb. 5).

Die Bearbeiter verteilen sich wie folgt:

Sedimente: H. LAVILLE, Bordeaux, M. HOYOS, Madrid

Pollen: B. ALBRECHT, Tübingen in Zusammenarbeit mit B. UR BAN - KÜTTEL, Lüneburg

Pflanzengrossreste: A. HAFNER, Freiburg

Großtiere: H. BERKE in Zusammenarbeit mit F. POPLIN, Paris

Kleinsauger: G. STORCH, Frankfurt

Mollusken: W. RAHLE, Tübingen

14-C-Datierungen: B. KROMER und M. MÜNNICH, Heidelberg; M. A. GEYH, Hannover

Steingeratetechnologie: G. ALBRECHT, E. ENGELHARDT, H. MÜLLER - BECK

Keramikszratigraphie: J. SEEHER

KARAIN B WESTPROFIL an Linie 5/6 – WESTERN PROFILE at 516

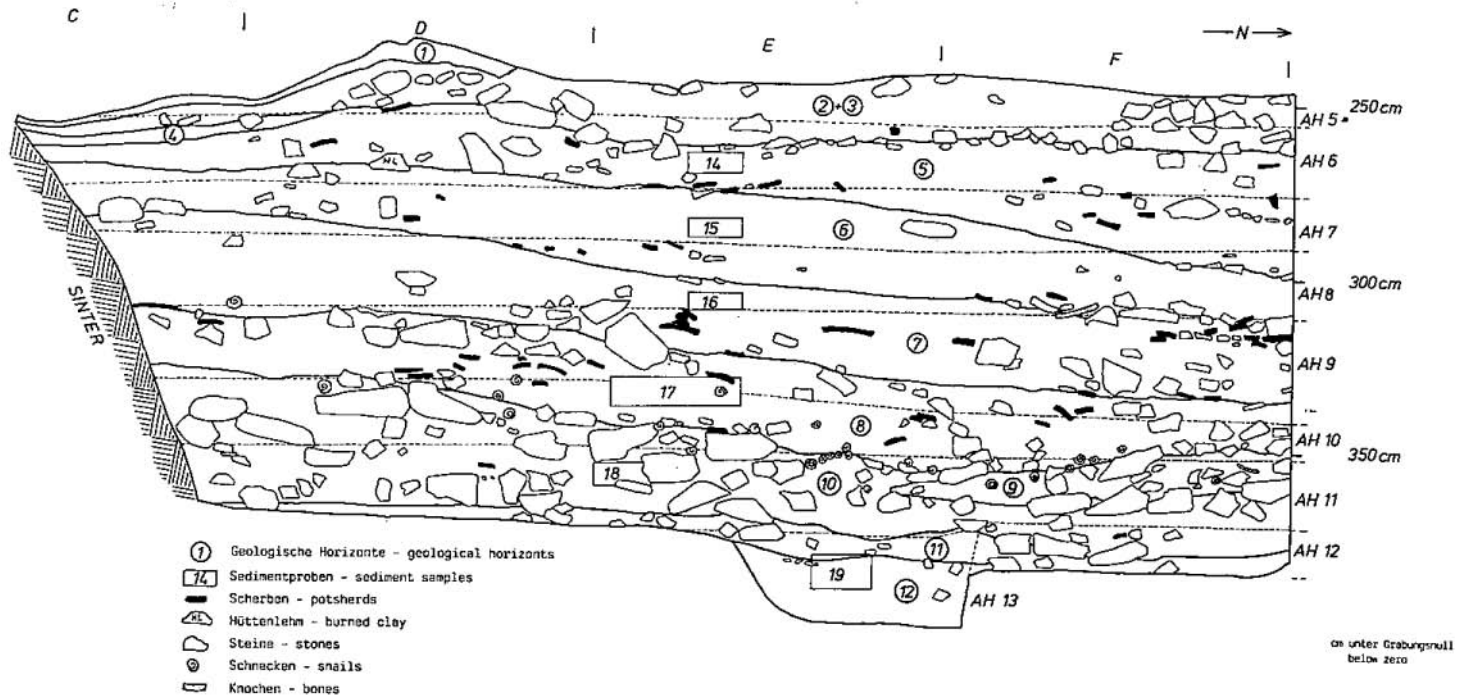
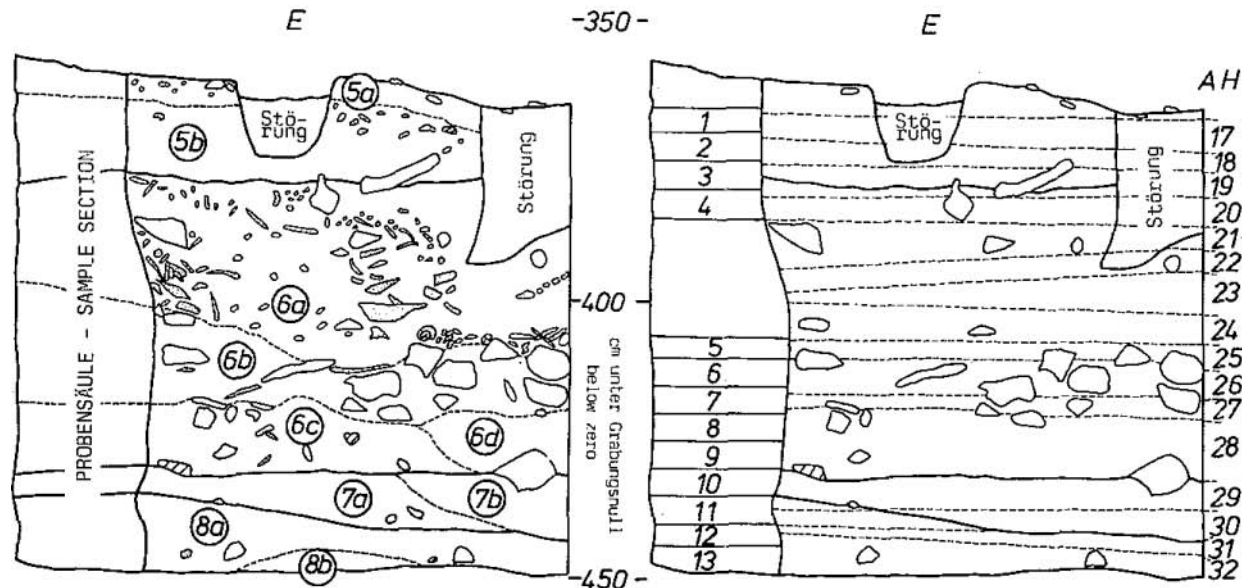


Abb.: 1 – Westprofil durch die Holozänstraten in Karain B

KARAIN B

WESTPROFIL an Linie 4/5 – WESTERN PROFILE at 4/5

$\rightarrow N \rightarrow$



-  Geologische Horizonte - geological horizons
 -  Sediment- und Pollenproben - sediment and pollen samples
 -  Steine - stones
 -  Silex - chert
 -  Knochen - bones
 -  Schnecken - snails

Abb. 2 — Westprofil der pleistozänen Straten mit 5 cm AH 17-32 in Karain B. Quadratmeter E/4

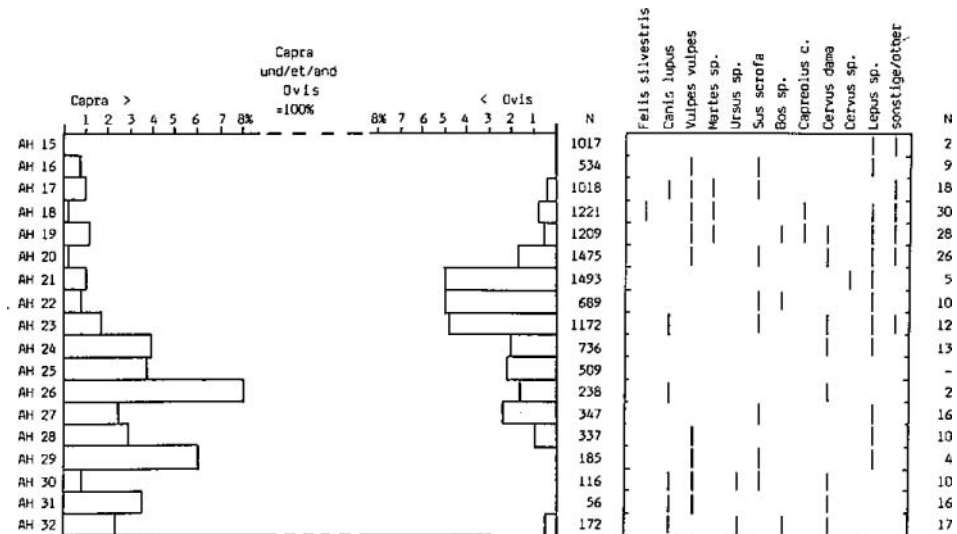


Abb.: 3 — Faunensequenz in Karain B, Verteilung der Arten in AH 15 bis 32

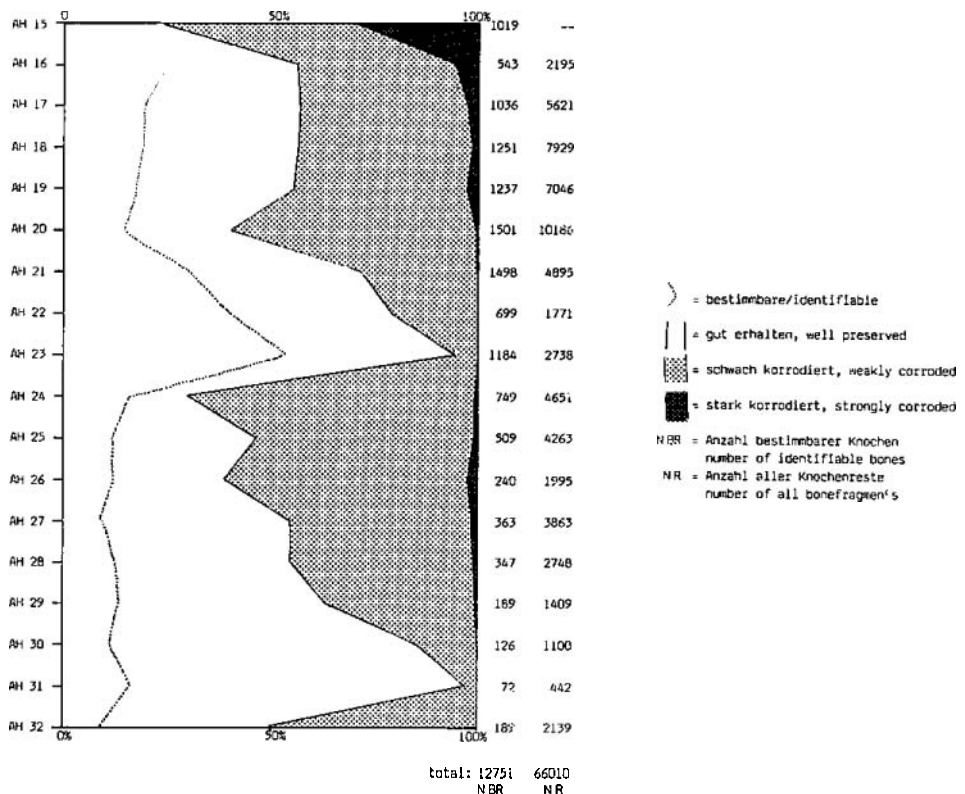


Abb.: 4 — Erhaltung der Tierknochen in Karain B von AH 15 bis 32

